

Réseaux de neurones

IFT 780

Réseaux à convolution

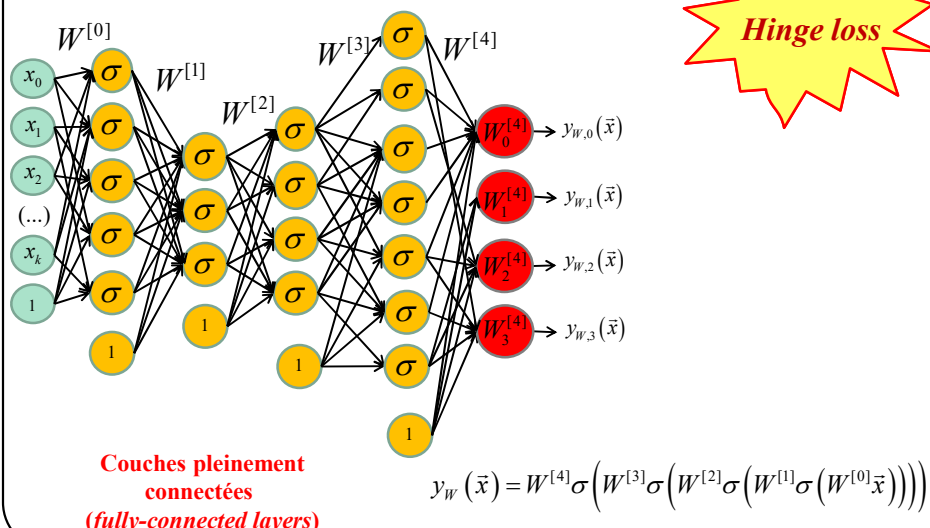
Par

Pierre-Marc Jodoin

1

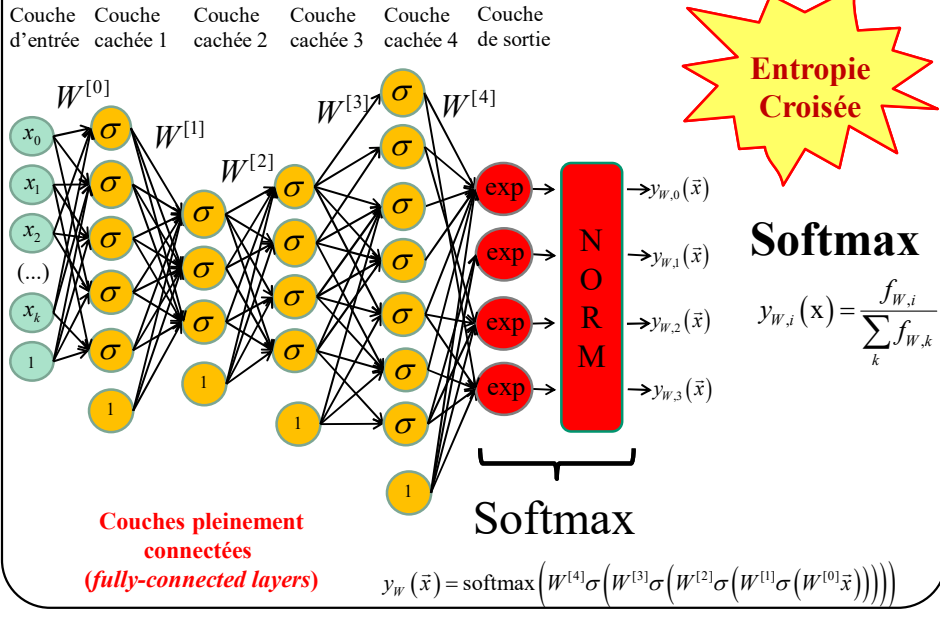
kD, 4 Classes, Réseau à 4 couches cachées

Couche d'entrée Couche cachée 1 Couche cachée 2 Couche cachée 3 Couche cachée 4 Couche de sortie



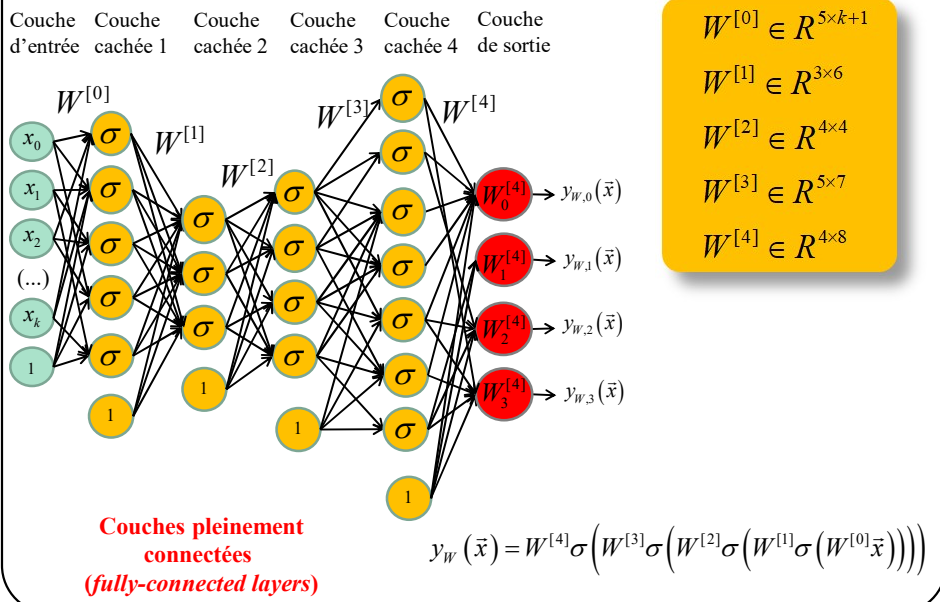
2

kD, 4 Classes, Réseau à 4 couches cachées



3

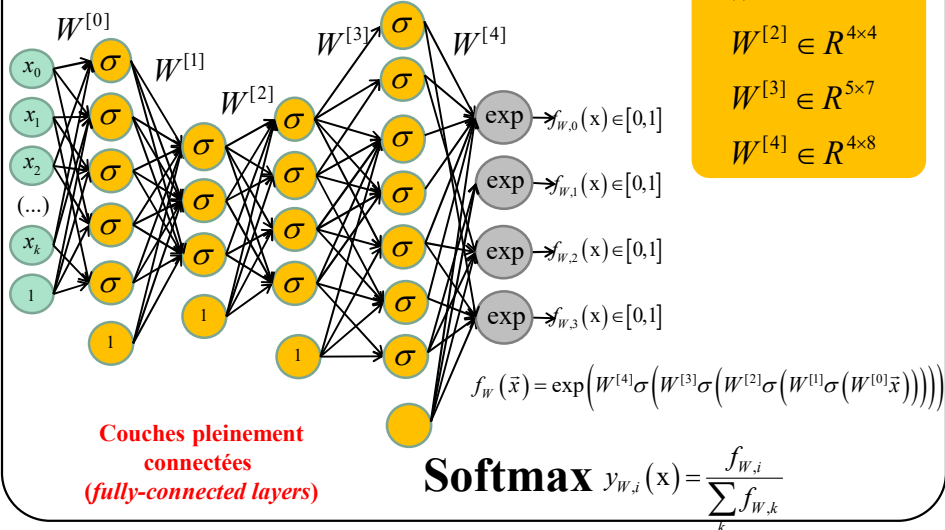
kD, 4 Classes, Réseau à 4 couches cachées



4

kD, 4 Classes, Réseau à 4 couches cachées

Couche d'entrée Couche cachée 1 Couche cachée 2 Couche cachée 3 Couche cachée 4 Couche de sortie



5

Optimisation

Descente de gradient

$$\mathbf{w}^{[k+1]} = \mathbf{w}^{[k]} - \eta^{[k]} \nabla E$$

Gradient de la fonction de coût
Taux d'apprentissage ou "learning rate".

Descente de gradient stochastique

```

Initialiser w
k=0
FAIRE k=k+1
FOR n = 1 to N
    w = w - η^{[k]} ∇E(̄x_n)
JUSQU'à ce que toutes les données
soient bien classées ou k== MAX_ITER

```

Optimisation par Batch

```

Initialiser w
k=0
FAIRE k=k+1
w = w - η^{[k]} ∑_i ∇E(̄x_i)
JUSQU'à ce que toutes les données
soient bien classées ou k== MAX_ITER

```

$$\text{Parfois } \eta^{[k]} = cst / k$$

6

Les bonnes pratiques

7

Optimisation

Descente de gradient

$$\mathbf{w}^{[k+1]} = \mathbf{w}^{[k]} - \eta^{[k]} \nabla E$$

→ Gradient de la fonction de coût
→ Taux d'apprentissage ou “learning rate”.

Essentiel
au TP4

Optimisation par **mini-batch**

Initialiser \mathbf{w}

$k=0$

FAIRE $k=k+1$

FAIRE $n=0$ à N par sauts de **MBS**/**Mini-batch size**/

$$\mathbf{w} = \mathbf{w} - \eta^{[k]} \sum_{i=n}^{n+MBS} \nabla E(\tilde{x}_i)$$

JUSQU'À ce que toutes les données soient bien classées ou
 $k==\text{MAX_ITER}$

} **Itération**

8

Optimisation

Descente de gradient

$$\mathbf{w}^{[k+1]} = \mathbf{w}^{[k]} - \eta^{[k]} \nabla E$$

Gradient de la fonction de coût

Taux d'apprentissage ou “learning rate”.

Optimisation par *mini-batch*

Initialiser \mathbf{w}

$k=0$

FAIRE $k=k+1$

FAIRE $n=0$ à N par sauts de *MBS* /**Mini-batch size**/

$$\mathbf{w} = \mathbf{w} - \eta^{[k]} \sum_{i=n}^{n+MBS} \nabla E(\vec{x}_i)$$

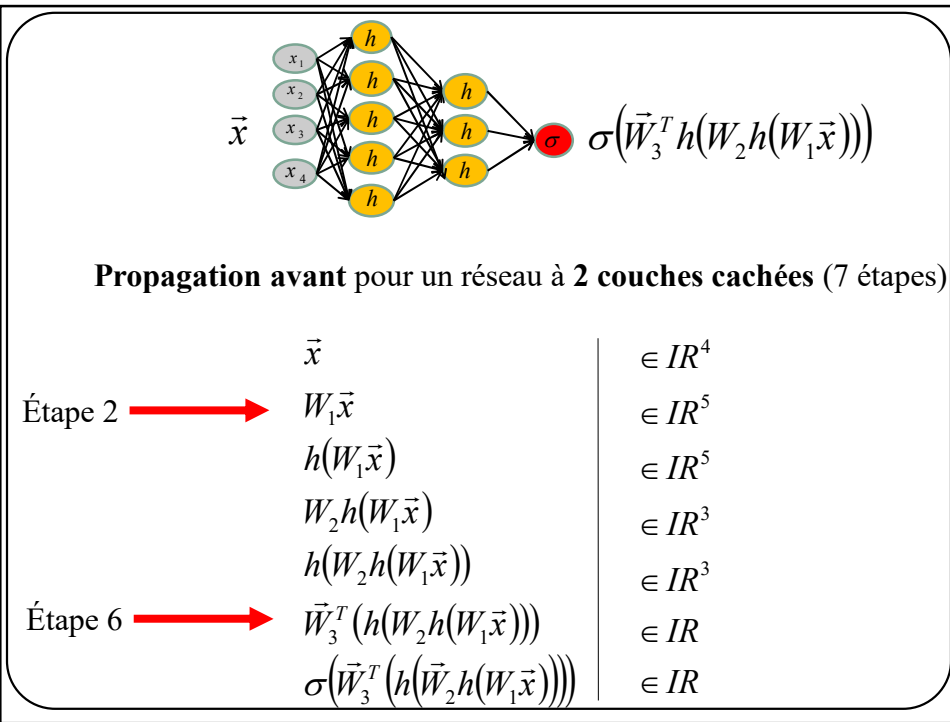
Epoch

JUSQU’À ce que toutes les données sont bien classées ou
 $k==\text{MAX_ITER}$

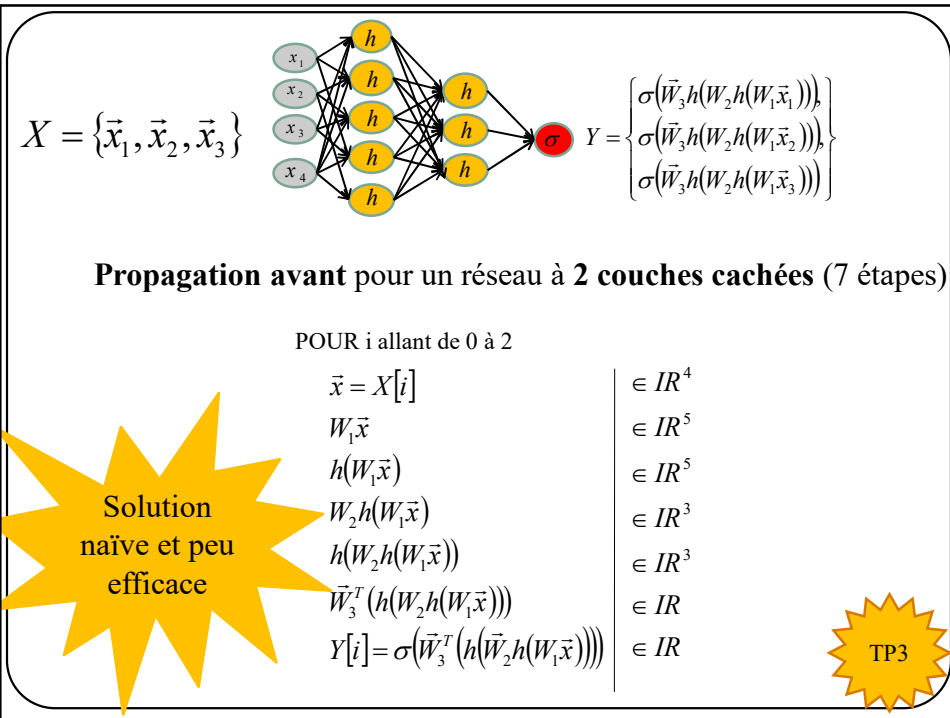
9

Mini-batch = **vectorisation** de la propagation avant et de la rétro-propagation

10



11



12

Solution

Il est plus efficace d'effectuer **UNE multiplication matricielle** que **PLUSIEURS multiplications matrice-vecteur** (exemple de la 2^e étape, batch de 3)

$$W_1 \vec{x}_1 = \begin{pmatrix} w_{11} & w_{12} & w_{13} & w_{14} \\ w_{21} & w_{22} & w_{23} & w_{24} \\ w_{31} & w_{32} & w_{33} & w_{34} \\ w_{41} & w_{42} & w_{43} & w_{44} \\ w_{51} & w_{52} & w_{53} & w_{54} \end{pmatrix} \begin{bmatrix} a \\ b \\ c \\ d \end{bmatrix} = \begin{bmatrix} u_1 \\ u_2 \\ u_3 \\ u_4 \\ u_5 \end{bmatrix}$$

$$W_1 \vec{x}_2 = \begin{pmatrix} w_{11} & w_{12} & w_{13} & w_{14} \\ w_{21} & w_{22} & w_{23} & w_{24} \\ w_{31} & w_{32} & w_{33} & w_{34} \\ w_{41} & w_{42} & w_{43} & w_{44} \\ w_{51} & w_{52} & w_{53} & w_{54} \end{pmatrix} \begin{bmatrix} d \\ e \\ f \\ g \end{bmatrix} = \begin{bmatrix} v_1 \\ v_2 \\ v_3 \\ v_4 \\ v_5 \end{bmatrix}$$

$$W_1 \vec{x}_3 = \begin{pmatrix} w_{11} & w_{12} & w_{13} & w_{14} \\ w_{21} & w_{22} & w_{23} & w_{24} \\ w_{31} & w_{32} & w_{33} & w_{34} \\ w_{41} & w_{42} & w_{43} & w_{44} \\ w_{51} & w_{52} & w_{53} & w_{54} \end{pmatrix} \begin{bmatrix} h \\ i \\ j \\ k \end{bmatrix} = \begin{bmatrix} z_1 \\ z_2 \\ z_3 \\ z_4 \\ z_5 \end{bmatrix}$$

13

Solution

Il est plus efficace d'effectuer **UNE multiplication matricielle** que **PLUSIEURS matrice-vecteur** (exemple de la 2^e étape, batch de 3)

$$W_1 X = \begin{pmatrix} w_{11} & w_{12} & w_{13} & w_{14} \\ w_{21} & w_{22} & w_{23} & w_{24} \\ w_{31} & w_{32} & w_{33} & w_{34} \\ w_{41} & w_{42} & w_{43} & w_{44} \\ w_{51} & w_{52} & w_{53} & w_{54} \end{pmatrix} \begin{bmatrix} a & d & h \\ b & e & i \\ c & f & j \\ d & g & k \end{bmatrix} = \begin{bmatrix} u_1 & v_1 & z_1 \\ u_2 & v_2 & z_2 \\ u_3 & v_3 & z_3 \\ u_4 & v_4 & z_4 \\ u_5 & v_5 & z_5 \end{bmatrix}$$

UNE
multiplication
matricielle

14

$$\vec{W}_3^T(h(W_2 h(W_1 \vec{x})))$$

Solution

Il est plus efficace d'effectuer UNE multiplication matricielle que **PLUSIEURS produits scalaires** (**exemple de la 6^e étape, batch de 3**)

$$\begin{aligned}
 \begin{pmatrix} w_1 & w_2 & w_3 \end{pmatrix} \begin{pmatrix} a \\ b \\ c \end{pmatrix} &= (w_1a + w_2b + w_3c) \\
 \begin{pmatrix} w_1 & w_2 & w_3 \end{pmatrix} \begin{pmatrix} d \\ e \\ f \end{pmatrix} &= (w_1d + w_2e + w_3f) \\
 \begin{pmatrix} w_1 & w_2 & w_3 \end{pmatrix} \begin{pmatrix} g \\ h \\ i \end{pmatrix} &= (w_1g + w_2h + w_3i)
 \end{aligned}$$



15

Solution

Il est plus efficace d'effectuer **UNE multiplication matricielle** que **PLUSIEURS produits scalaires** (**exemple de la 6^e étape, batch de 3**)

$$\begin{bmatrix} w_1 & w_2 & w_3 \end{bmatrix} \begin{pmatrix} a & d & g \\ b & e & h \\ c & f & i \end{pmatrix} = \begin{pmatrix} w_1a + w_2b + w_3c \\ w_1d + w_2e + w_3f \\ w_1g + w_2h + w_3i \end{pmatrix} = Y$$



16

Conclusion

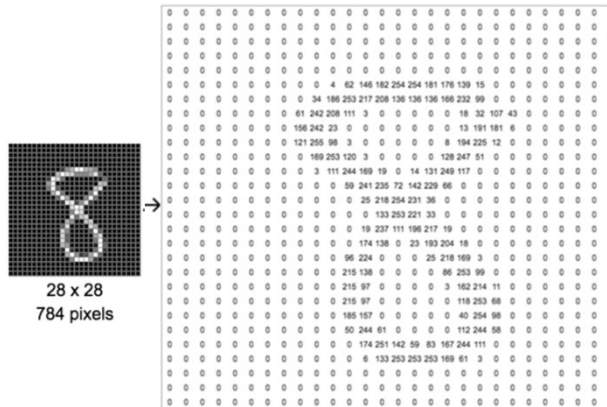
100% du temps, on combine ensemble les données
dans des **mini-batch** de 2 à 32 données.

17

Les réseaux à convolution

18

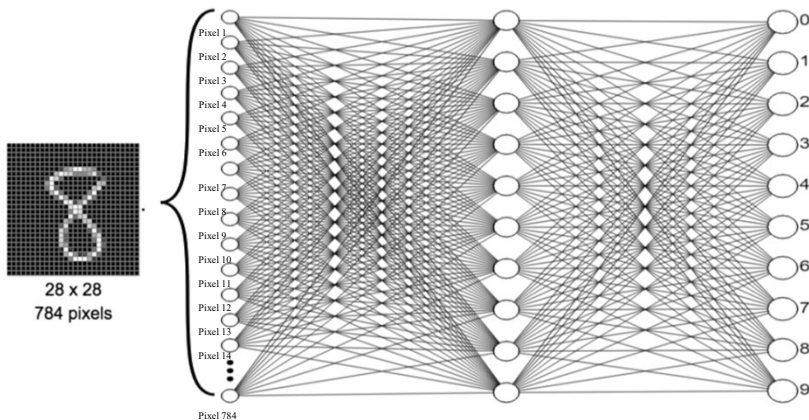
Comment classifier des images?



https://ml4a.github.io/ml4a/neural_networks/

19

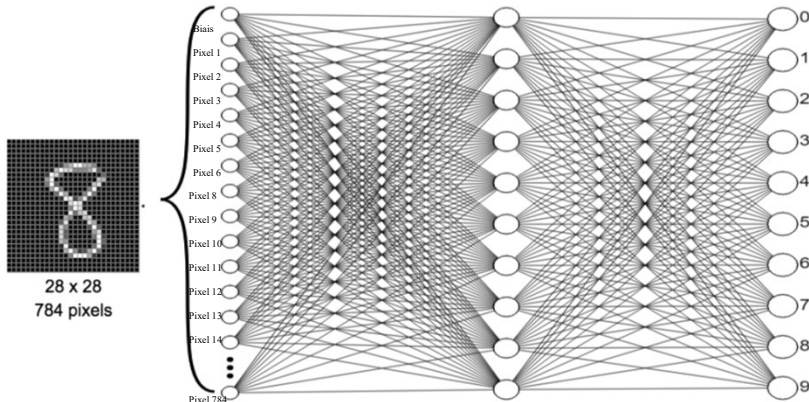
Comment classifier des images?



https://ml4a.github.io/ml4a/neural_networks/

20

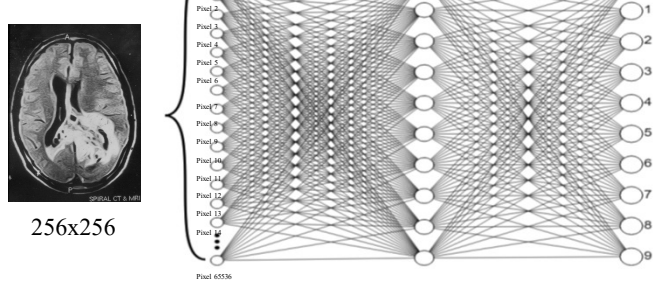
Beaucoup de paramètres (7850 dans la couche 1)



https://ml4a.github.io/ml4a/neural_networks/

21

Beaucoup trop de paramètres (655,370 dans la couche 1)



https://ml4a.github.io/ml4a/neural_networks/

Image médicale (IRM de cerveau)

22

Beaucoup **TROP** de paramètres (160M dans la couche 1)

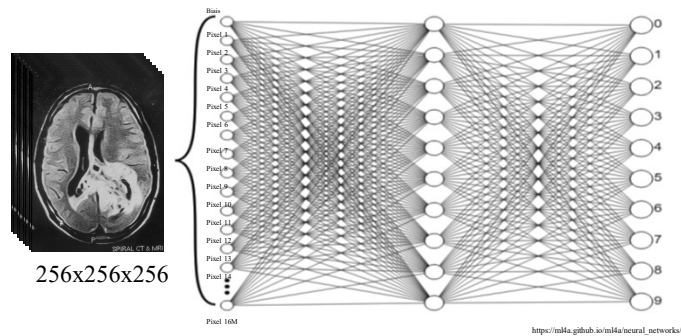


Image médicale 3D (IRM de cerveau)

23

Comment réduire le nombre de connections?

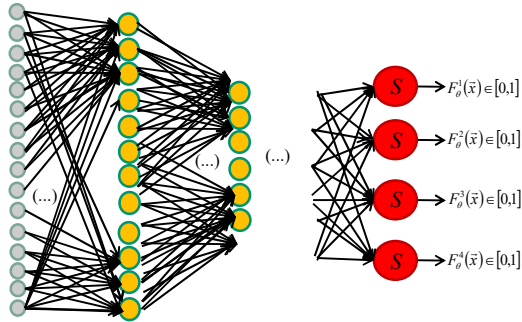


24

24

Comment réduire le nombre de connections?

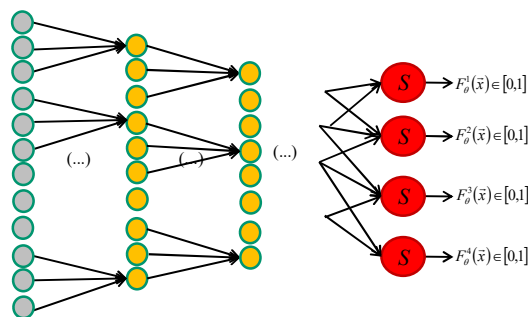
Les **couches pleinement connectées (fully-connected layers)** sont problématiques lorsque le **nombre de neurones** est élevé.



150-D en entrée avec 150 neurones dans la 1ère couche => 22,200 paramètres dans la couche d'entrée!!

25

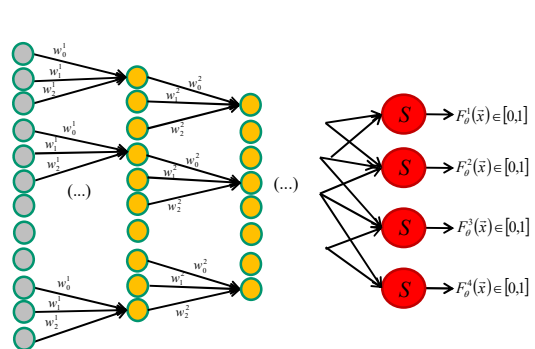
Solution : connexions partielles



150-D en entrée avec 148 neurones dans la 1ère couche => 444 paramètres dans la première couche!!

26

Paramètres partagés : **les neurones de la couche 1 partagent les mêmes poids**



Convolution

150-D en entrée avec 148 neurones dans la 1ère couche => **3 paramètres dans la couche d'entrée!!**

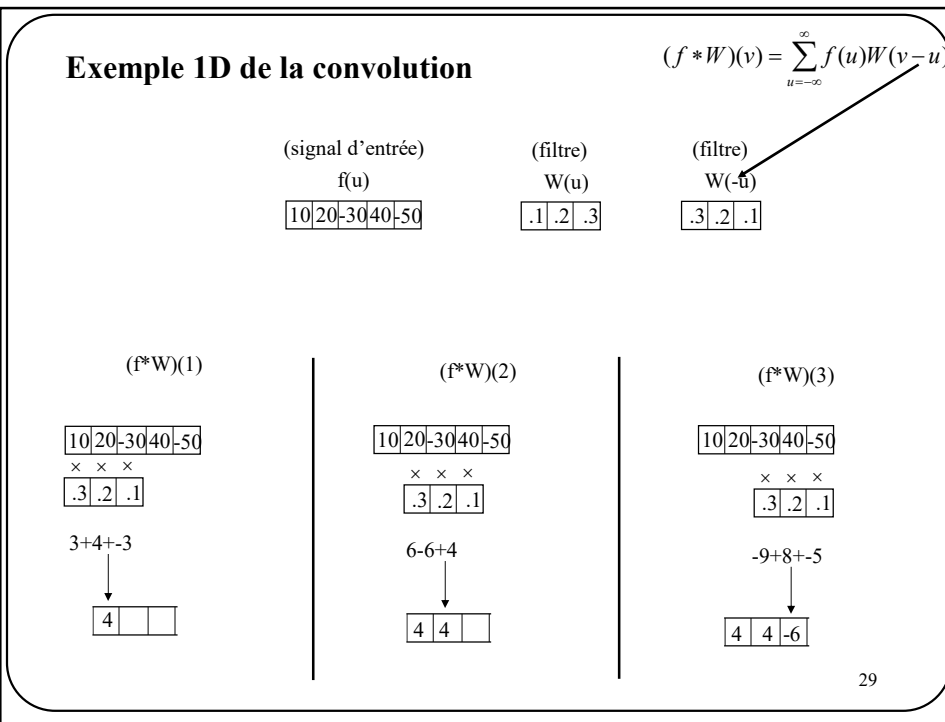
Faible nombre de paramètres = on peut augmenter la profondeur!

27

Convolution
et
couche convolutionnelle
1D

28

14



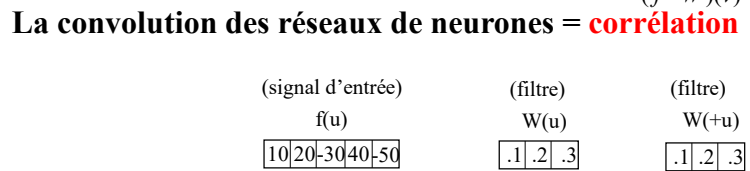
29

En gros

convolution = produit scalaire + translation

30

$$(f * W)(v) = \sum_{u=-\infty}^{\infty} f(u)W(v+u)$$

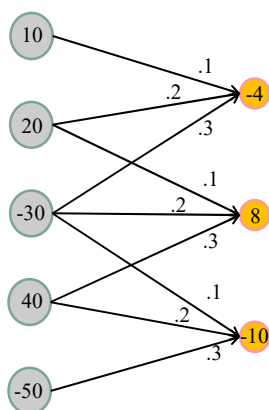


| | | | | | | | | | | | | | | | | | | | | | | | | | | | | | | | | | | | |
|--|----------|----------|-----|-----|-----|----|----|----|----|--|--|---|----|----|-----|----|-----|----|----|----|---|---|--|--|----|----|-----|----|-----|----|----|----|----|---|-----|
| (f*W)(1) | (f*W)(2) | (f*W)(3) | | | | | | | | | | | | | | | | | | | | | | | | | | | | | | | | | |
| <table border="1" style="display: inline-table; vertical-align: middle;"><tr><td>10</td><td>20</td><td>-30</td><td>40</td><td>-50</td></tr></table> $\times \quad \times \quad \times$ <table border="1" style="display: inline-table; vertical-align: middle;"><tr><td>.1</td><td>.2</td><td>.3</td></tr></table> $1+4+9$ \downarrow <table border="1" style="display: inline-table; vertical-align: middle;"><tr><td>-4</td><td></td><td></td></tr></table> | 10 | 20 | -30 | 40 | -50 | .1 | .2 | .3 | -4 | | | <table border="1" style="display: inline-table; vertical-align: middle;"><tr><td>10</td><td>20</td><td>-30</td><td>40</td><td>-50</td></tr></table> $\times \quad \times \quad \times$ <table border="1" style="display: inline-table; vertical-align: middle;"><tr><td>.1</td><td>.2</td><td>.3</td></tr></table> $2-6+12$ \downarrow <table border="1" style="display: inline-table; vertical-align: middle;"><tr><td>4</td><td>8</td><td></td></tr></table> | 10 | 20 | -30 | 40 | -50 | .1 | .2 | .3 | 4 | 8 | | <table border="1" style="display: inline-table; vertical-align: middle;"><tr><td>10</td><td>20</td><td>-30</td><td>40</td><td>-50</td></tr></table> $\times \quad \times \quad \times$ <table border="1" style="display: inline-table; vertical-align: middle;"><tr><td>.1</td><td>.2</td><td>.3</td></tr></table> $-3+8-15$ \downarrow <table border="1" style="display: inline-table; vertical-align: middle;"><tr><td>-4</td><td>8</td><td>-10</td></tr></table> | 10 | 20 | -30 | 40 | -50 | .1 | .2 | .3 | -4 | 8 | -10 |
| 10 | 20 | -30 | 40 | -50 | | | | | | | | | | | | | | | | | | | | | | | | | | | | | | | |
| .1 | .2 | .3 | | | | | | | | | | | | | | | | | | | | | | | | | | | | | | | | | |
| -4 | | | | | | | | | | | | | | | | | | | | | | | | | | | | | | | | | | | |
| 10 | 20 | -30 | 40 | -50 | | | | | | | | | | | | | | | | | | | | | | | | | | | | | | | |
| .1 | .2 | .3 | | | | | | | | | | | | | | | | | | | | | | | | | | | | | | | | | |
| 4 | 8 | | | | | | | | | | | | | | | | | | | | | | | | | | | | | | | | | | |
| 10 | 20 | -30 | 40 | -50 | | | | | | | | | | | | | | | | | | | | | | | | | | | | | | | |
| .1 | .2 | .3 | | | | | | | | | | | | | | | | | | | | | | | | | | | | | | | | | |
| -4 | 8 | -10 | | | | | | | | | | | | | | | | | | | | | | | | | | | | | | | | | |

31

31

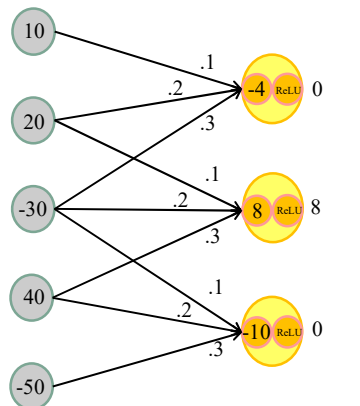
L'opération de la page précédente est équivalente à



32

32

L'opération de la page précédente est équivalente à

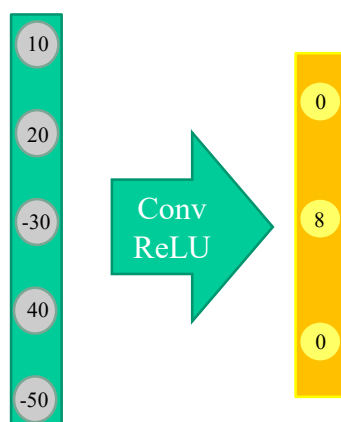


Fonction
d'activation
(ex. ReLU)

33

33

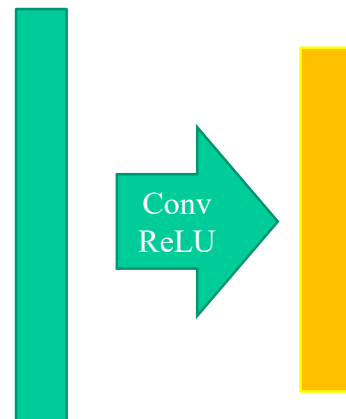
Représentation graphique courante (simple)



34

34

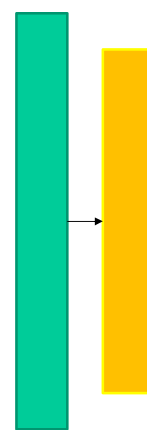
Représentation graphique courante (encore plus simple)



35

35

Représentation graphique courante (vraiment ultra simple)



36

36

Représentation graphique courante (eehhh...)

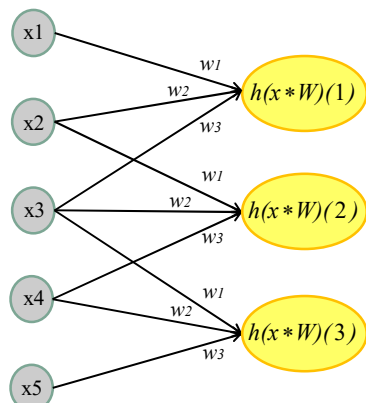
Vecteur d'entrée

Carte d'activation
(*feature map*)

37

37

Apprentissage = apprendre les **poids w_i** des filtres convolutifs



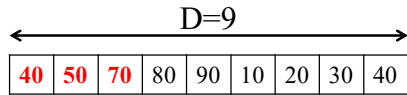
h : fonction d'activation
(tanh, ReLU, elu, etc.)

38

38

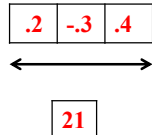
19

Stride et calcul de la taille de la carte d'activation



prod. scal.

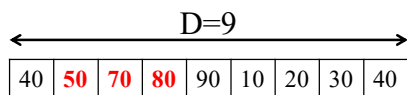
$F=3$



39

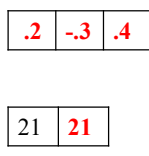
39

Stride et calcul de la taille de la carte d'activation



prod. scal.

$F=3$

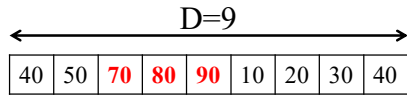


Stride = 1

40

40

Stride et calcul de la taille de la carte d'activation



prod. scal.

$F=3$

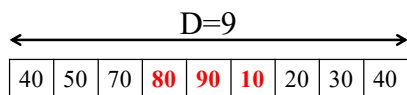
| | | |
|-----------|-----------|-----------|
| .2 | -3 | .4 |
|-----------|-----------|-----------|

| | | |
|----|----|-----------|
| 21 | 21 | 26 |
|----|----|-----------|

41

41

Stride et calcul de la taille de la carte d'activation



prod. scal.

$F=3$

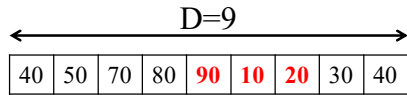
| | | |
|-----------|-----------|-----------|
| .2 | -3 | .4 |
|-----------|-----------|-----------|

| | | | |
|----|----|----|-----------|
| 21 | 21 | 26 | -7 |
|----|----|----|-----------|

42

42

Stride et calcul de la taille de la carte d'activation



prod. scal.

$F=3$

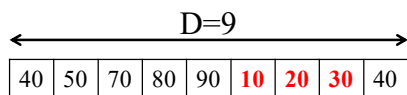
| | | |
|----|-----|----|
| .2 | -.3 | .4 |
|----|-----|----|

| | | | | |
|----|----|----|----|----|
| 21 | 21 | 26 | -7 | 23 |
|----|----|----|----|----|

43

43

Stride et calcul de la taille de la carte d'activation



prod. scal.

$F=3$

| | | |
|----|-----|----|
| .2 | -.3 | .4 |
|----|-----|----|

| | | | | | |
|----|----|----|----|----|---|
| 21 | 21 | 26 | -7 | 23 | 8 |
|----|----|----|----|----|---|

44

44

Stride et calcul de la taille de la carte d'activation

| D=9 | | | | | | | | |
|-----|----|----|----|----|----|----|----|----|
| 40 | 50 | 70 | 80 | 90 | 10 | 20 | 30 | 40 |

prod. scal.

F=3

| | | |
|----|-----|----|
| .2 | -.3 | .4 |
|----|-----|----|

| | | | | | | |
|----|----|----|----|----|---|----|
| 21 | 21 | 26 | -7 | 23 | 8 | 11 |
|----|----|----|----|----|---|----|

Taille de la carte d'activation = 7

45

45

Stride et calcul de la taille de la carte d'activation

| D=9 | | | | | | | | | |
|-----|----|----|----|----|----|----|----|----|--|
| 40 | 50 | 70 | 80 | 90 | 10 | 20 | 30 | 40 | |

prod. scal.

F=5

| | | | | |
|----|-----|----|-----|----|
| .2 | -.3 | .4 | -.5 | .6 |
|----|-----|----|-----|----|

| |
|----|
| 35 |
|----|

46

46

Stride et calcul de la taille de la carte d'activation

| D=9 | | | | | | | | | |
|-----|----|----|----|----|----|----|----|----|--|
| 40 | 50 | 70 | 80 | 90 | 10 | 20 | 30 | 40 | |

prod. scal.

F=5

| | | | | |
|----|----|----|----|----|
| .2 | -3 | .4 | -5 | .6 |
|----|----|----|----|----|

| | |
|----|-----|
| 35 | -18 |
|----|-----|

Stride = 1

47

47

Stride et calcul de la taille de la carte d'activation

| D=9 | | | | | | | | | |
|-----|----|----|----|----|----|----|----|----|--|
| 40 | 50 | 70 | 80 | 90 | 10 | 20 | 30 | 40 | |

prod. scal.

F=5

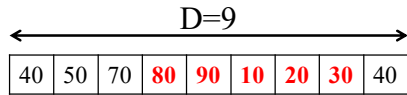
| | | | | |
|----|----|----|----|----|
| .2 | -3 | .4 | -5 | .6 |
|----|----|----|----|----|

| | | |
|----|-----|----|
| 35 | -18 | 33 |
|----|-----|----|

48

48

Stride et calcul de la taille de la carte d'activation



prod. scal.

$F=5$

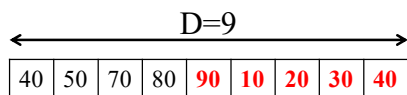
| | | | | |
|----|-----|----|-----|----|
| .2 | -.3 | .4 | -.5 | .6 |
|----|-----|----|-----|----|

| | | | |
|----|-----|----|---|
| 35 | -18 | 33 | 1 |
|----|-----|----|---|

49

49

Stride et calcul de la taille de la carte d'activation



prod. scal.

$F=5$

| | | | | |
|----|-----|----|-----|----|
| .2 | -.3 | .4 | -.5 | .6 |
|----|-----|----|-----|----|

| | | | | |
|----|-----|----|---|----|
| 35 | -18 | 33 | 1 | 32 |
|----|-----|----|---|----|

Taille de la carte d'activation = **5**

50

50

Stride et calcul de la taille de la carte d'activation

| D=9 | | | | | | | | |
|-----|----|----|----|----|----|----|----|----|
| 40 | 50 | 70 | 80 | 90 | 10 | 20 | 30 | 40 |

prod. scal.

F=7

| | | | | | | |
|----|-----|----|-----|----|-----|----|
| .2 | -.3 | .4 | -.5 | .6 | -.7 | .8 |
|----|-----|----|-----|----|-----|----|

44

51

51

Stride et calcul de la taille de la carte d'activation

| D=9 | | | | | | | | |
|-----|----|----|----|----|----|----|----|----|
| 40 | 50 | 70 | 80 | 90 | 10 | 20 | 30 | 40 |

prod. scal.

F=7

| | | | | | | |
|----|-----|----|-----|----|-----|----|
| .2 | -.3 | .4 | -.5 | .6 | -.7 | .8 |
|----|-----|----|-----|----|-----|----|

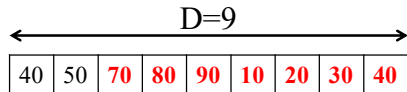
44 -8

Stride = 1

52

52

Stride et calcul de la taille de la carte d'activation



prod. scal.

$F=7$

| | | | | | | |
|----|-----|----|-----|----|-----|----|
| .2 | -.3 | .4 | -.5 | .6 | -.7 | .8 |
|----|-----|----|-----|----|-----|----|

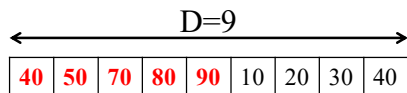
| | | |
|----|----|----|
| 44 | -8 | 44 |
|----|----|----|

Taille de la carte d'activation = **3**

53

53

Stride et calcul de la taille de la carte d'activation



prod. scal.

$F=5$

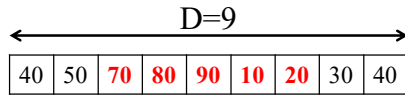
| | | | | |
|----|-----|----|-----|----|
| .2 | -.3 | .4 | -.5 | .6 |
|----|-----|----|-----|----|

| |
|----|
| 35 |
|----|

54

54

Stride et calcul de la taille de la carte d'activation



prod. scal.

$F=5$

| | | | | |
|----|-----|----|-----|----|
| .2 | -.3 | .4 | -.5 | .6 |
|----|-----|----|-----|----|

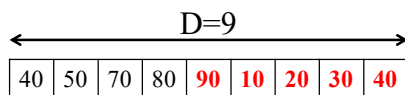
| | |
|----|-----------|
| 35 | 33 |
|----|-----------|

Stride = 2

55

55

Stride et calcul de la taille de la carte d'activation



prod. scal.

$F=5$

| | | | | |
|----|-----|----|-----|----|
| .2 | -.3 | .4 | -.5 | .6 |
|----|-----|----|-----|----|

| | | |
|----|----|-----------|
| 35 | 33 | 32 |
|----|----|-----------|

Taille de la carte d'activation = **3**

56

56

Stride et calcul de la taille de la carte d'activation

| D=9 | | | | | | | | | |
|-----|----|----|----|----|----|----|----|----|--|
| 40 | 50 | 70 | 80 | 90 | 10 | 20 | 30 | 40 | |

prod. scal.

F=5

| | | | | |
|----|-----|----|-----|----|
| .2 | -.3 | .4 | -.5 | .6 |
|----|-----|----|-----|----|

35

57

57

Stride et calcul de la taille de la carte d'activation

| D=9 | | | | | | | | | |
|-----|----|----|----|----|----|----|----|----|--|
| 40 | 50 | 70 | 80 | 90 | 10 | 20 | 30 | 40 | |

prod. scal.

F=5

| | | | | |
|----|-----|----|-----|----|
| .2 | -.3 | .4 | -.5 | .6 |
|----|-----|----|-----|----|

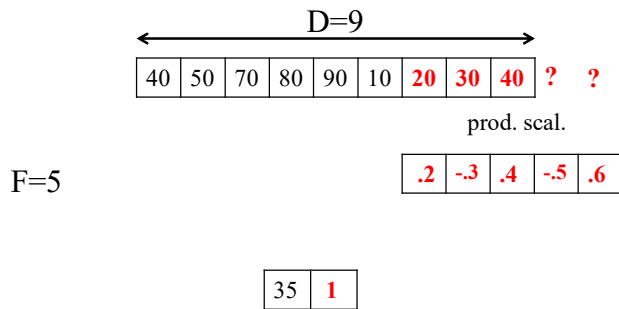
35 1

Stride = 3

58

58

Stride et calcul de la taille de la carte d'activation



ERREUR! Combinaison D-F-S invalide

59

59

Stride et calcul de la taille de la carte d'activation

Taille de la carte d'activation = **(D-F)/S+1**



60

60

Parfois on souhaite que le **nombre de neurones** dans la carte d'activation soit **le même** que la couche précédente

$$? \boxed{10|20|30|40|50} \\ \times \quad \times \quad \times$$

Comment gérer les bords?

$$\boxed{.1|.2|.3}$$

Option 1 : Ajout de zéros (« *zero padding* » remplacer ? par 0)

$$\begin{array}{c} f(u) \\ \hline \boxed{0|10|20|30|40|50|0} \end{array}$$

$$\begin{array}{c} (f^*W)(u) \\ \hline \boxed{8|-4|8|10|-6} \end{array}$$

Option 2 : Réflexion (« *reflexion padding* »)

$$\begin{array}{c} f(u) \\ \hline \boxed{20|10|20|30|40|50|40} \end{array}$$

$$\begin{array}{c} (f^*W)(u) \\ \hline \boxed{10|-4|8|10|2} \end{array}$$

Option 3 : Étirement (« *stretching padding* »)

$$\begin{array}{c} f(u) \\ \hline \boxed{10|10|20|30|40|50|50} \end{array}$$

$$\begin{array}{c} (f^*W)(u) \\ \hline \boxed{9|-4|8|10|-21} \end{array}$$

61

61

Parfois on souhaite que le **nombre de neurones** dans la carte d'activation soit **le même** que la couche précédente

$$? \boxed{10|20|30|40|50} \\ \times \quad \times \quad \times$$

Comment gérer les bords?

$$\boxed{.1|.2|.3}$$

Option 1 : Ajout de zéros (« *zero padding* » remplacer ? par 0)

$$\begin{array}{c} f(u) \\ \hline \boxed{0|10|20|30|40|50|0} \end{array}$$

$$\begin{array}{c} (f^*W)(u) \\ \hline \boxed{8|-4|8|10|-6} \end{array}$$

Option 2 : Réflexion (« *reflexion padding* »)

De loin l'option la plus utilisée

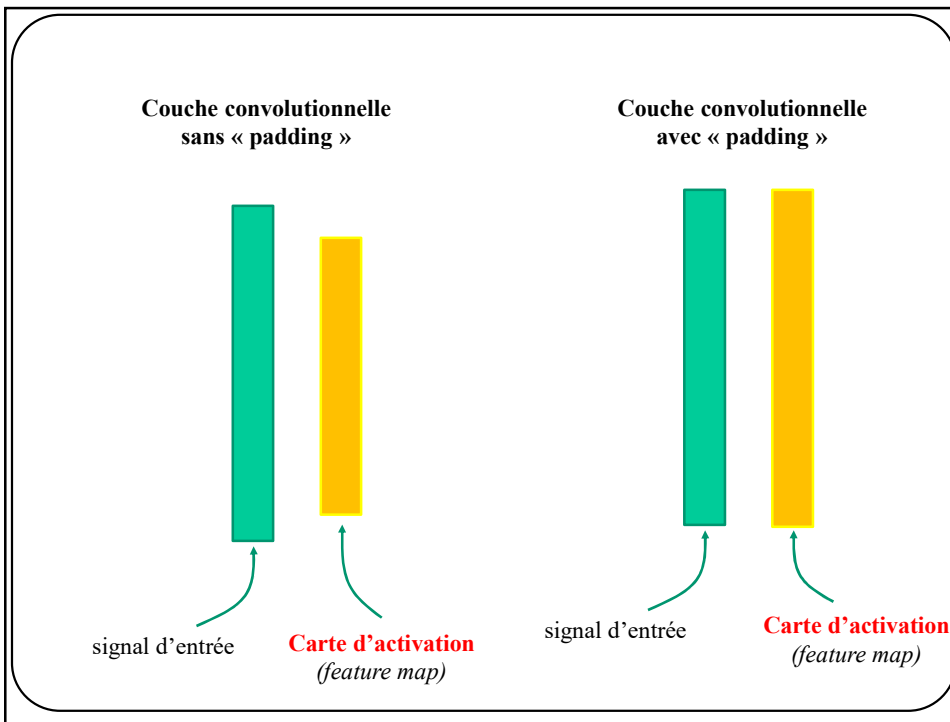
$$\begin{array}{c} (f^*W)(u) \\ \hline \boxed{-10|2} \end{array}$$

$$\begin{array}{c} f(u) \\ \hline \boxed{10|10|20|30|40|50|50} \end{array}$$

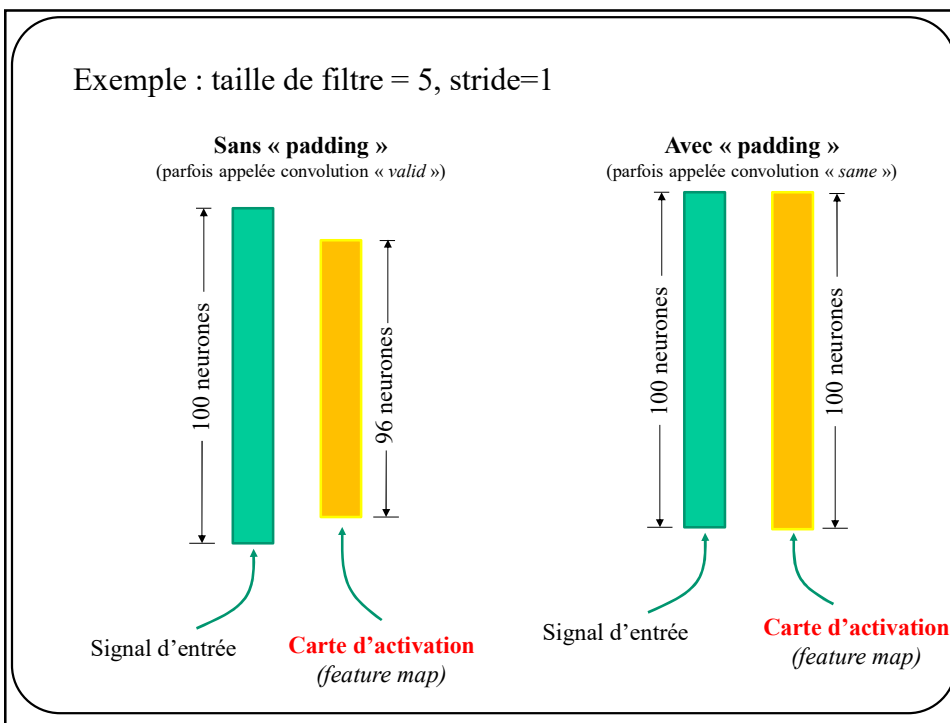
$$\begin{array}{c} (f^*W)(u) \\ \hline \boxed{9|-4|8|10|-21} \end{array}$$

62

62



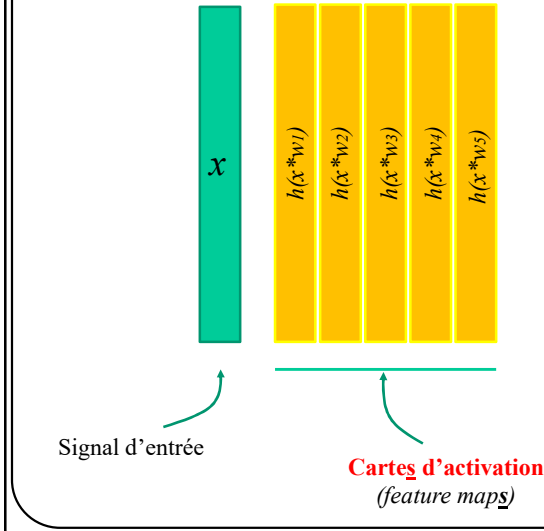
63



64

Il est possible d'apprendre **plusieurs filtres par couche**

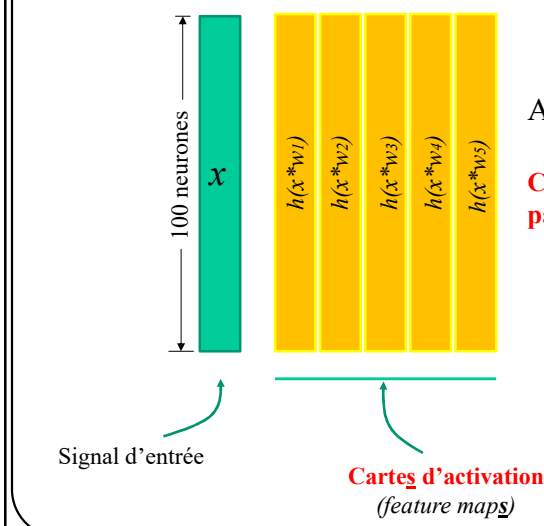
(ex. 5 filtres donnant 5 cartes d'activation)



65

Taille de filtre = 5

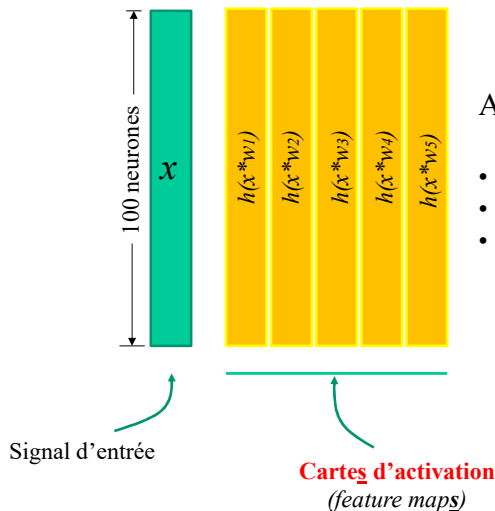
(ex. 5 filtres donnant 5 cartes d'activation)



66

Taille de filtre = 5

(ex. 5 filtres donnant 5 cartes d'activation)



Avec « *padding* »

- 100 neurones par carte d'activation
- 500 neurones au total
- 25 (5×5) paramètres au total

67

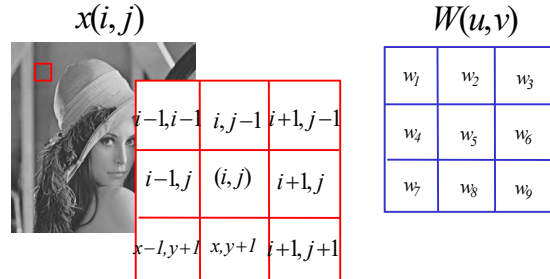
Convolution et couche convolutionnelle 2D

68

Filtage 2D

(sans flip de filtre)

$$(x * W)(i, j) = \sum_u \sum_v f(i+u, j+v)W(u, v)$$

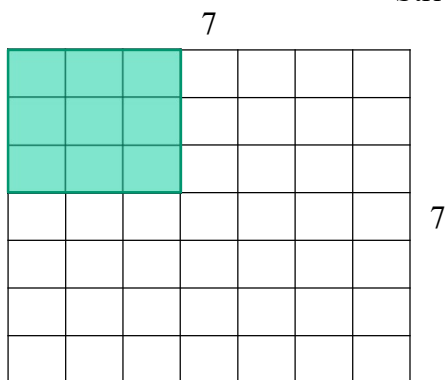


$$\begin{aligned} (x * W)(i, j) = & w_1 x(i-1, j-1) + w_2 x(i, j-1) + w_3 x(i+1, j-1) \\ & + w_4 x(i-1, j) + w_5 x(i, j) + w_6 x(i+1, j) \\ & + w_7 x(i-1, j+1) + w_8 x(i, j+1) + w_9 x(i+1, j+1) \end{aligned}$$

69

Convolution 2D

Filtre = 3x3
Stride = 1

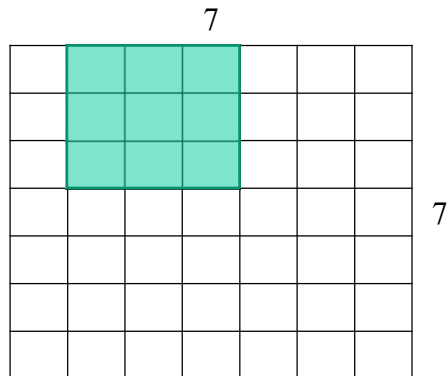


70

Convolution 2D

Filtre = 3x3

Stride = 1

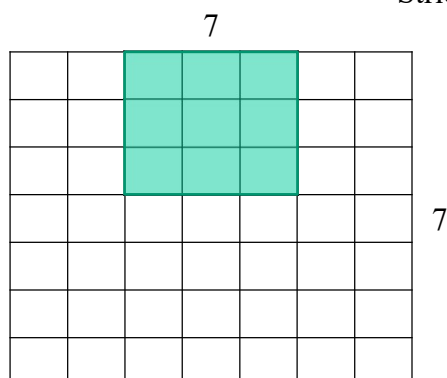


71

Convolution 2D

Filtre = 3x3

Stride = 1

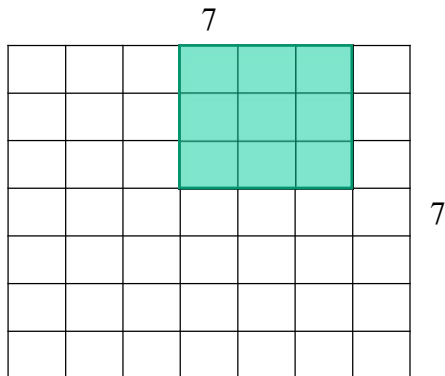


72

Convolution 2D

Filtre = 3x3

Stride = 1

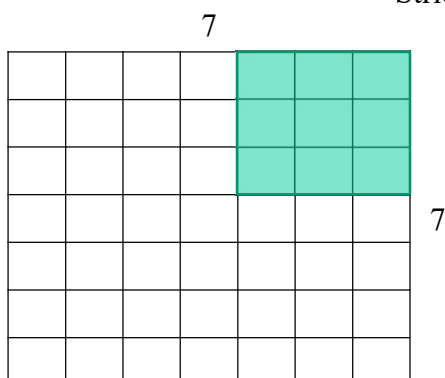


73

Convolution 2D

Filtre = 3x3

Stride = 1



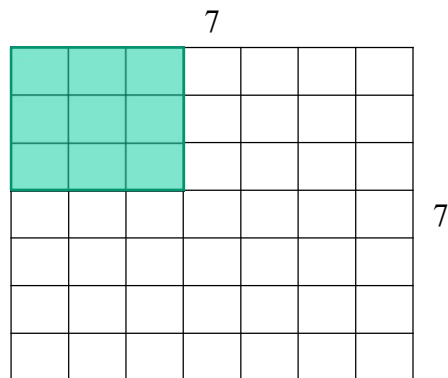
Taille de la carte d'activation (pour stride 1) = **5x5**

74

Convolution 2D

Filtre = 3x3

Stride = 2

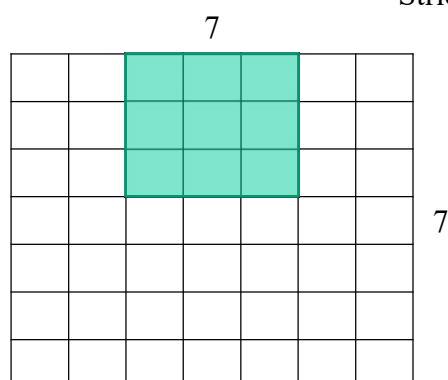


75

Convolution 2D

Filtre = 3x3

Stride = 2

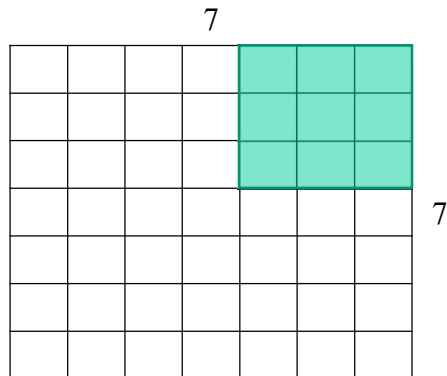


76

Convolution 2D

Filtre = 3x3

Stride = 2



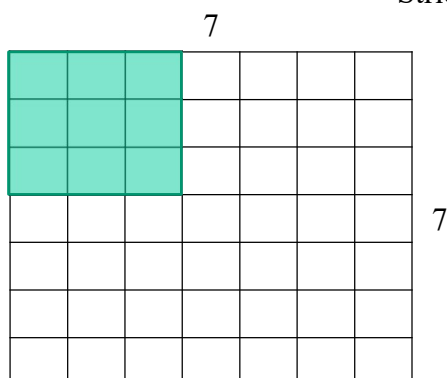
Taille de la carte d'activation (pour stride 2) = **3x3**

77

Convolution 2D

Filtre = 3x3

Stride = 3

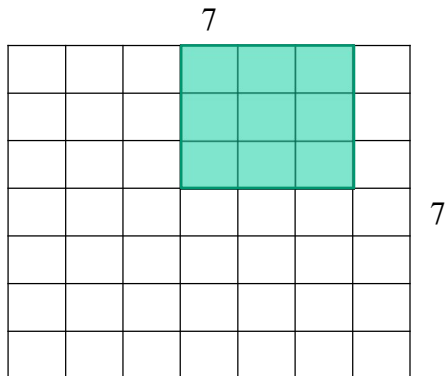


78

Convolution 2D

Filtre = 3x3

Stride = 3

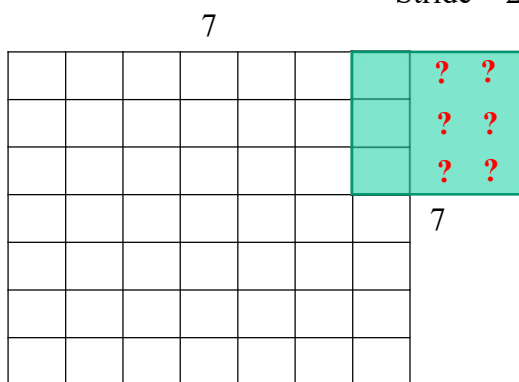


79

Convolution 2D

Filtre = 3x3

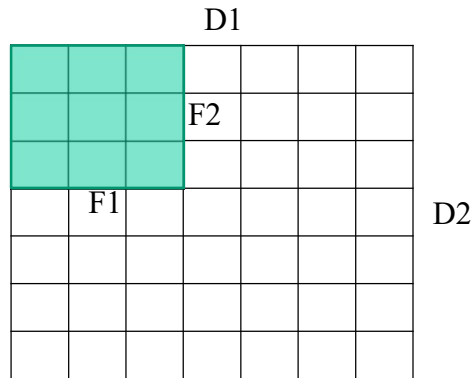
Stride = 2



Combinaison D-F-S invalide!

80

Convolution 2D

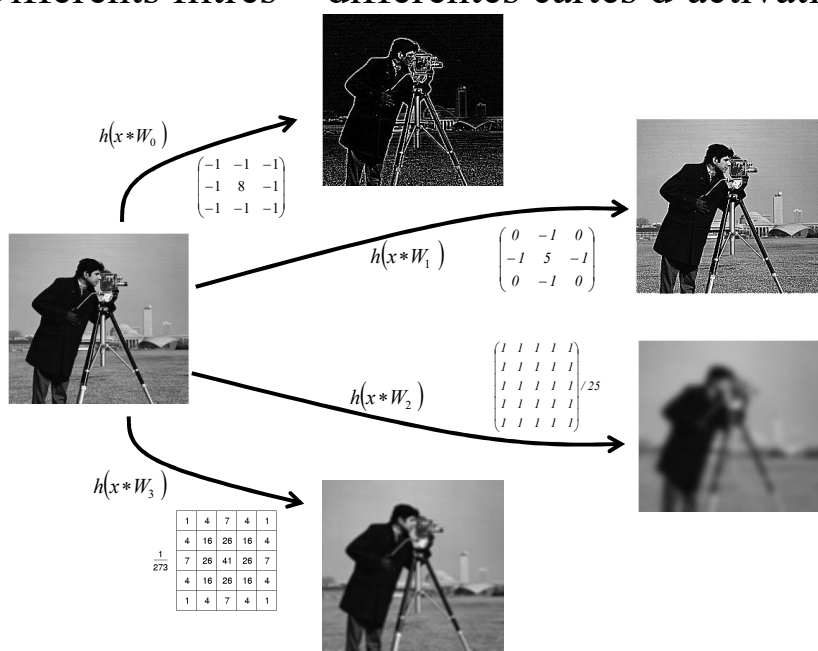


Taille de la carte d'activation :

$$(D1-F1)/S+1 \times (D2-F2)/S+1$$

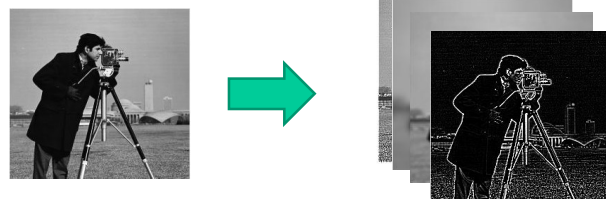
81

Différents filtres = différentes cartes d'activation



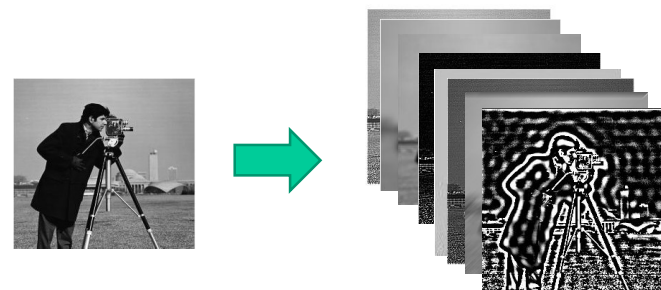
82

4 filtres = Couche convulsive avec 4 cartes d'activation



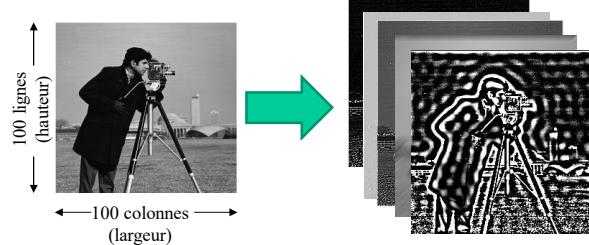
83

K filtres = Couche convulsive avec K cartes d'activation



84

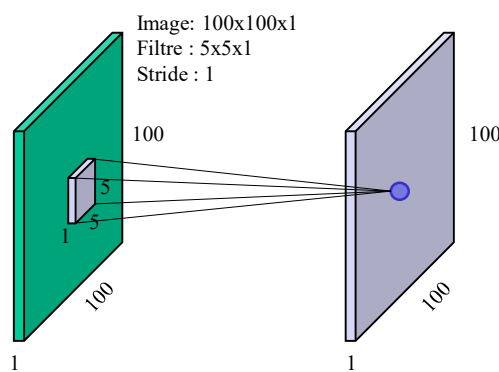
Ex.: taille de filtre : 5x5, 5 cartes d'activation, convolution « same »



- 10,000 neurones par carte d'activation
- 50,000 neurones au total
- $5 \times 5 \times 5 = 125$ paramètres au total

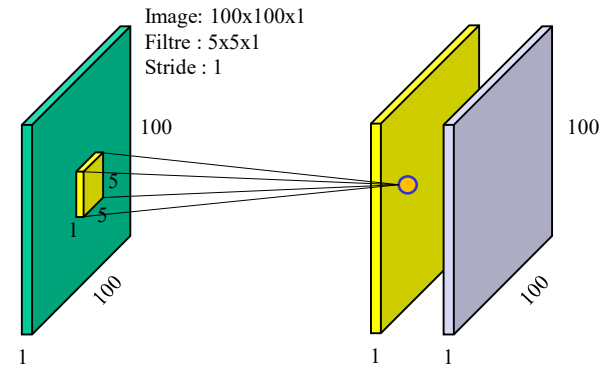
85

Représentation schématique
(1 filtre et 1 carte d'activation, convolution « same »)



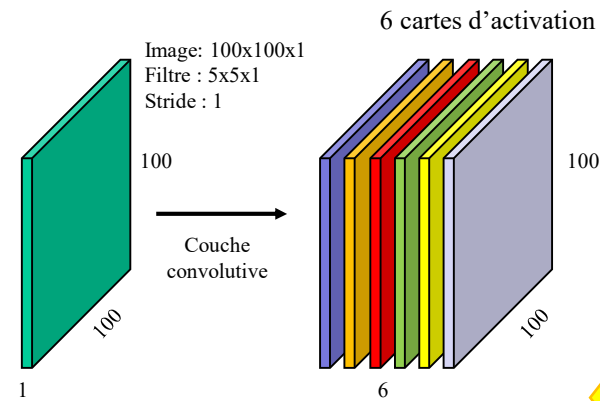
86

Représentation schématique
(2 filtres et 2 cartes d'activation, convolution « *same* »)



87

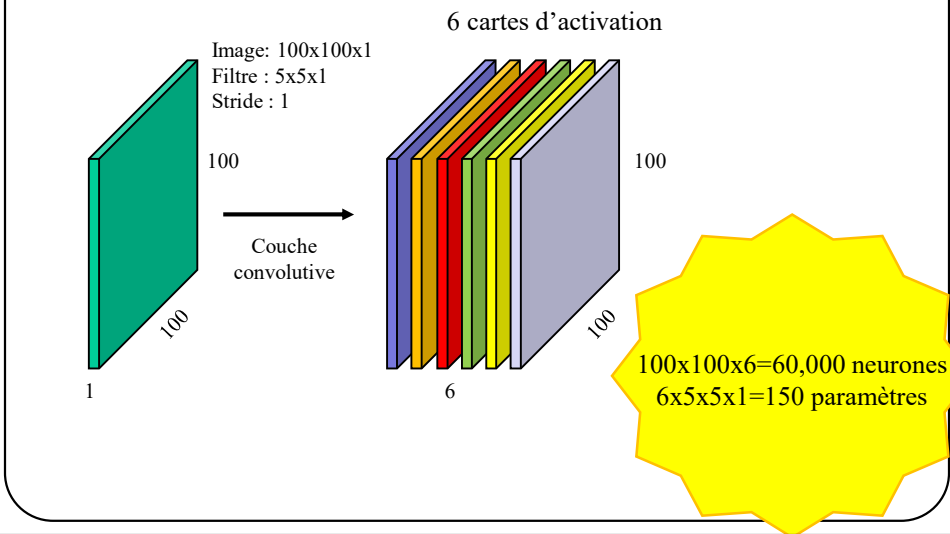
Représentation schématique
(6 filtres et 6 cartes d'activation, convolution « *same* »)



Combien de neurones
et de paramètres
au total?

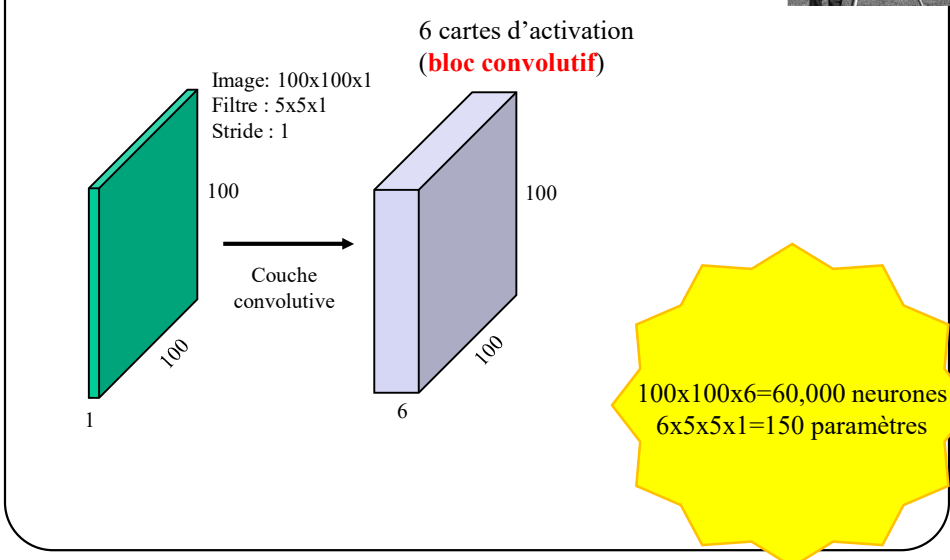
88

Représentation schématique
(6 filtres et 6 cartes d'activation, convolution « *same* »)



89

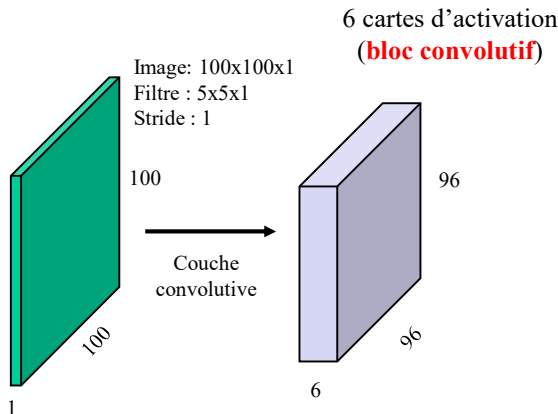
Représentation schématique simplifiée
(6 filtres et 6 cartes d'activation, convolution « *same* »)



90



Représentation schématique simplifiée
(6 filtres et 6 cartes d'activation, convolution « valid »)

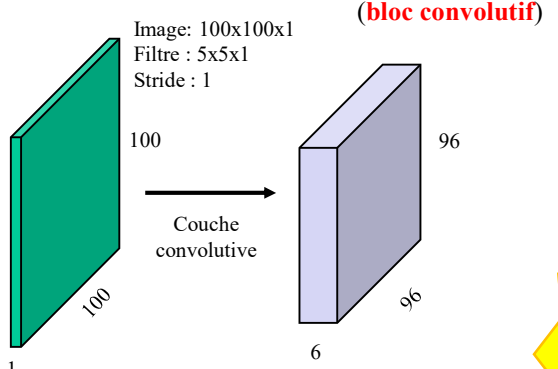


Combien de neurones
et de paramètres
au total?

91



Représentation schématique simplifiée
(6 filtres et 6 cartes d'activation, convolution « valid »)



$$96 \times 96 \times 6 = 55,296 \text{ neurones}$$

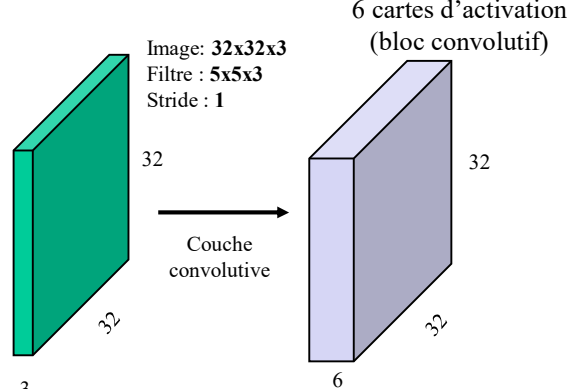
$$6 \times 5 \times 5 \times 1 = 150 \text{ paramètres}$$

92

Représentation schématique **images couleur**
(ex.: images RGB de CIFAR10
convolution « same »)



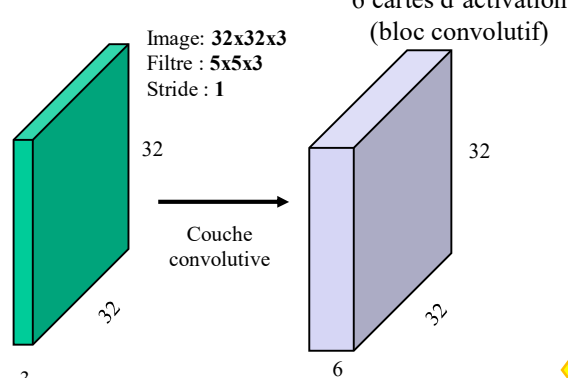
Exemples cifar10



Combien de neurones et de paramètres au total?

93

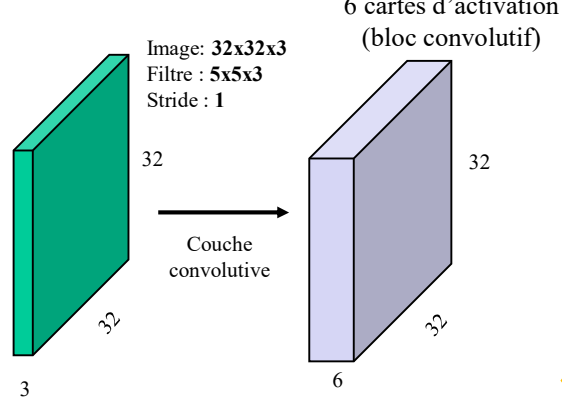
Représentation schématique **images couleur**
(ex.: images RGB de CIFAR10
convolution « same »)



$32 \times 32 \times 6 = 6,144$ neurones
 $6 \times 5 \times 5 \times 3 = 450$ paramètres

94

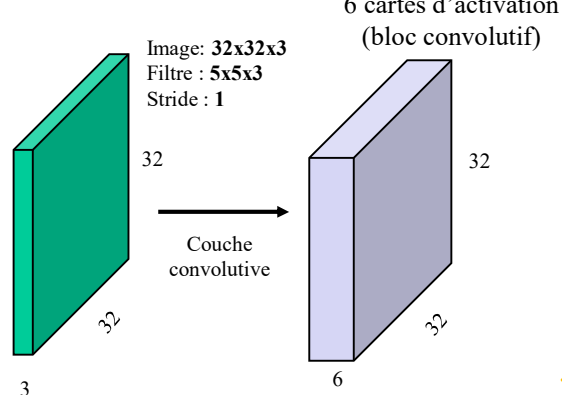
Représentation schématique **images couleur**
(ex.: images RGB de CIFAR10
convolution « same »)



Qu'arrivera-t-il si on utilise une stride de 3?

95

Représentation schématique **images couleur**
(ex.: images RGB de CIFAR10
convolution « same »)



$$\begin{aligned} & (D-F)/S+1 \\ & = \\ & (32-5)/3+1=10 \end{aligned}$$

96

Représentation schématique **images couleur**
(ex.: images RGB de CIFAR10
convolution « valid »)

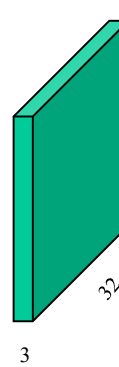
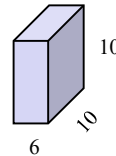


Image: $32 \times 32 \times 3$
Filtre : $5 \times 5 \times 3$
Stride : 3

32

Couche convulsive

6 cartes d'activation
(bloc convolutif)

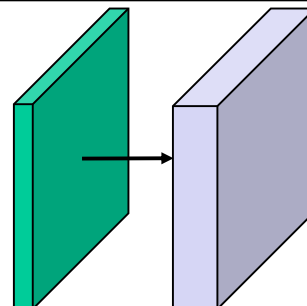


$10 \times 10 \times 6 = 600$ neurones
 $6 \times 5 \times 5 \times 3 = 450$ paramètres

97

Exemple

Volume en entrée : $32 \times 32 \times 3$
10 filtres 5×5 avec stride = 1
et convolution « **same** »



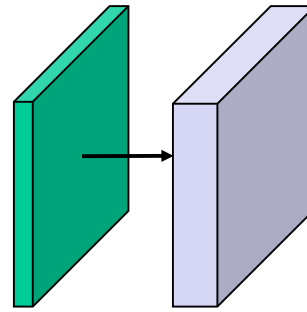
Combien y a-t-il de paramètres dans cette couche?

98

Exemple

Volume en entrée : $32 \times 32 \times 3$

10 filtres 5x5 avec stride = 1
et convolution « *same* »



Combien y a-t-il de paramètres dans cette couche?

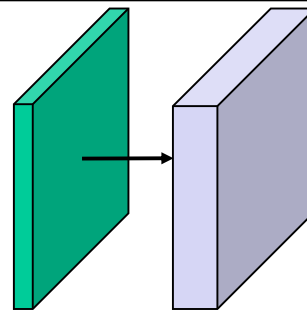
Chaque filtre a $5 \times 5 \times 3 = 75$ paramètres
Comme il y a **10 filtres** : **750** paramètres

99

Exemple

Volume en entrée : $32 \times 32 \times 3$

10 filtres 5x5 avec stride = 1
et convolution « *same* ».



Combien y a-t-il de paramètres dans cette couche **si on ajoute un biais**?

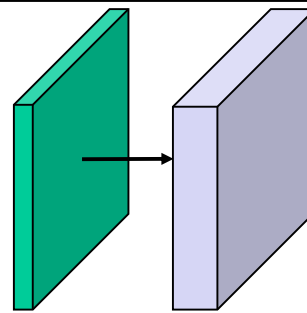
Chaque filtre a $5 \times 5 \times 3 + 1 = 76$ paramètres (+1 pour le biais)
Comme il y a **10 filtres** : **760** paramètres

100

Exemple

Volume en entrée : $32 \times 32 \times 3$

10 filtres 5x5 avec stride = 1
et convolution « *valid* »



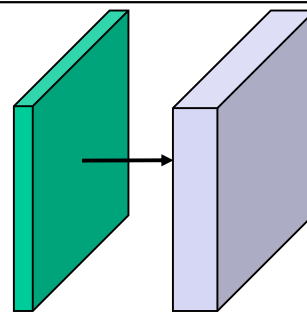
Combien de paramètres dans cette couche?

101

Exemple

Volume en entrée : $32 \times 32 \times 3$

10 filtres 5x5 avec stride = 1
et convolution « *valid* »



Combien de paramètres dans cette couche?

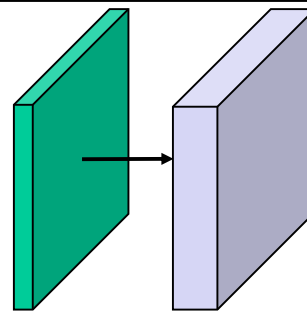
Même chose, cela ne change pas la conformité des filtres

102

Exemple

Volume en entrée : $32 \times 32 \times 3$

10 filtres 5x5 avec stride = 1
et convolution « *valid* »



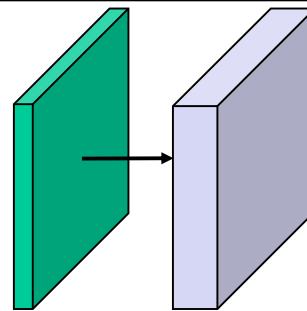
Combien de **neurones** dans les cartes d'activations?

103

Exemple

Volume en entrée : $32 \times 32 \times 3$

10 filtres 5x5 avec stride = 1
et convolution « *valid* »

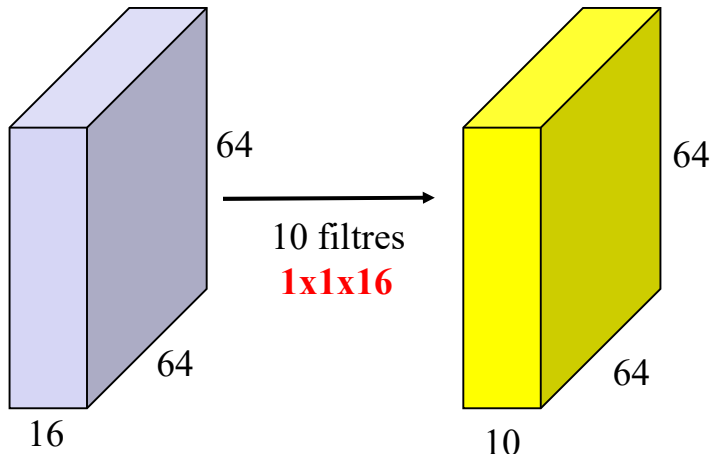


Combien de **neurones** dans les cartes d'activations?

$$(32-5+1) \times (32-5+1) \times 10 = 7,840$$

104

Des filtres 1x1? Oui ça marche



105

Exemple simple d'un filtre 1x1



$$\left[\frac{1}{3}, \frac{1}{3}, \frac{1}{3} \right]$$

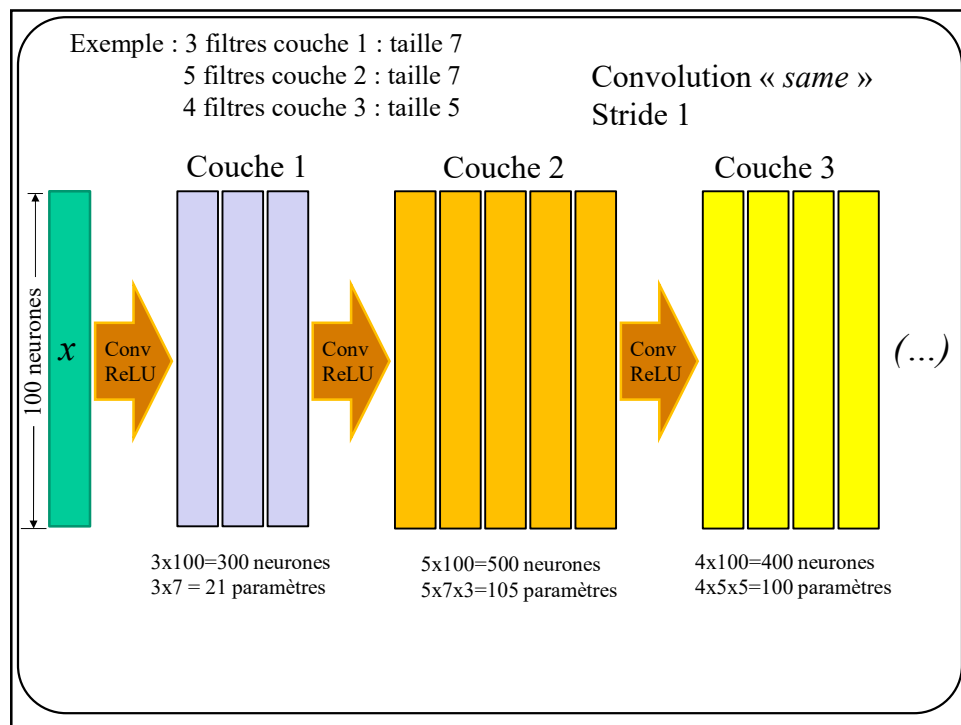


Filtre moyennant les canaux **rouge**, **vert**, **bleu** d'une image couleur.
Résultat, une image en **niveau de gris**.

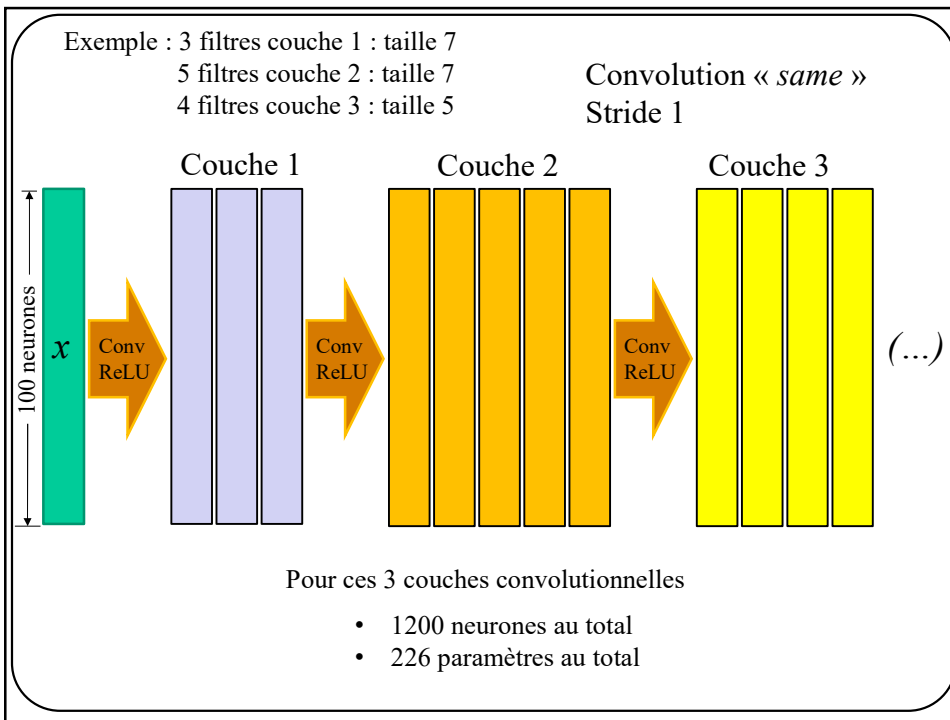
106

Tout comme un Perceptron multi-couches, un réseau à convolution contient **plusieurs couches consécutives**

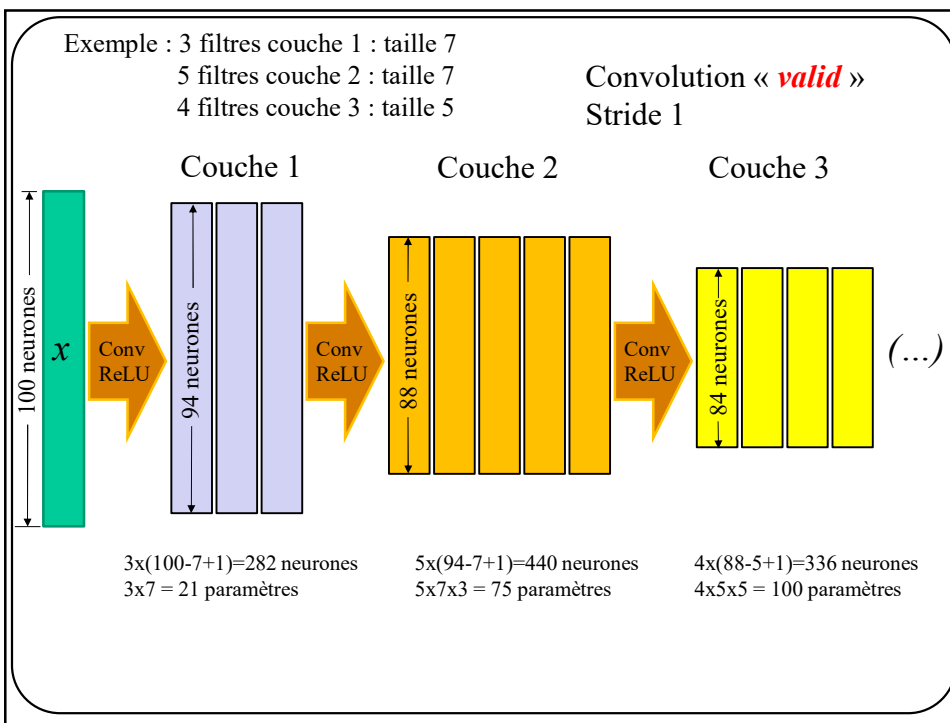
107



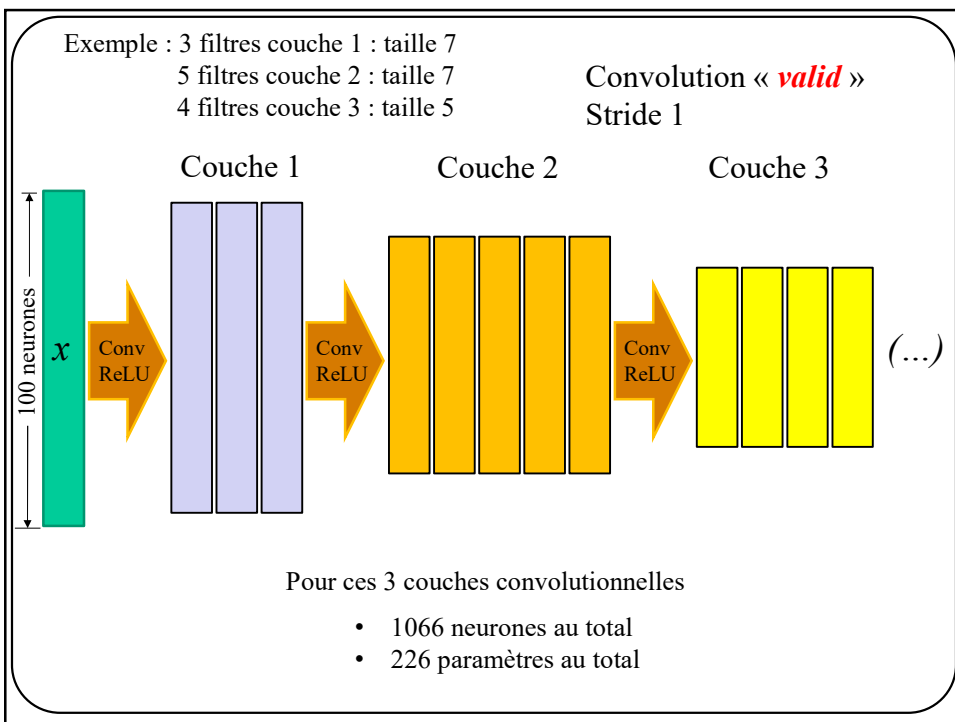
108



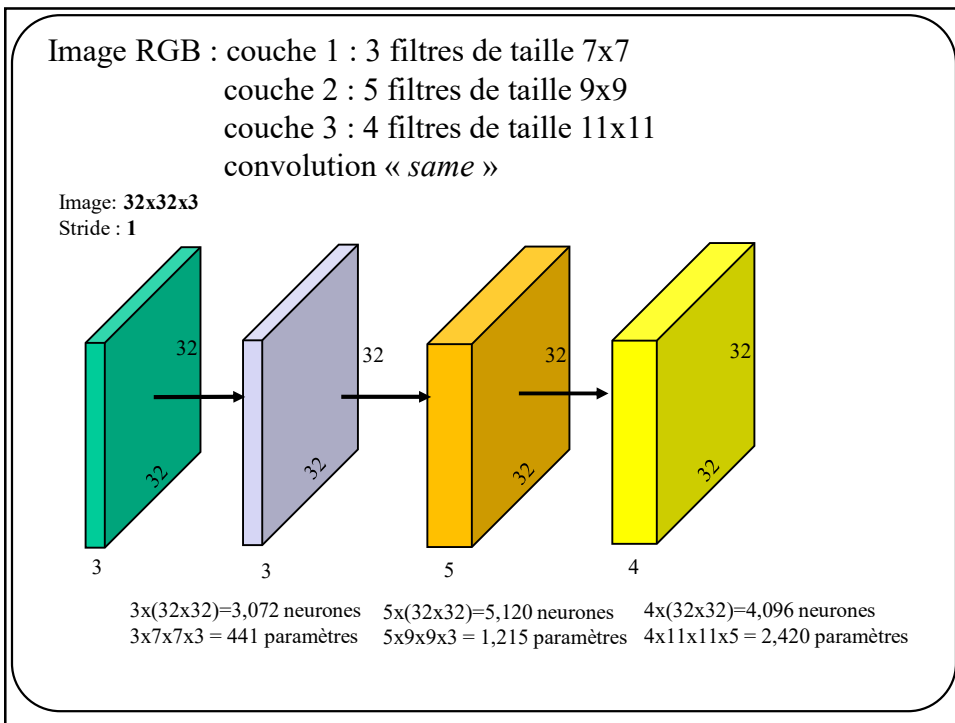
109



110



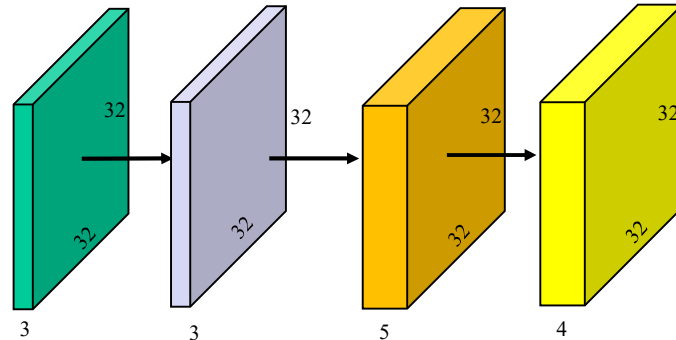
111



112

Image RGB : couche 1 : 3 filtres de taille 7x7
couche 2 : 5 filtres de taille 9x9
couche 3 : 4 filtres de taille 11x11
convolution « *same* »

Image: 32x32x3
Stride : 1

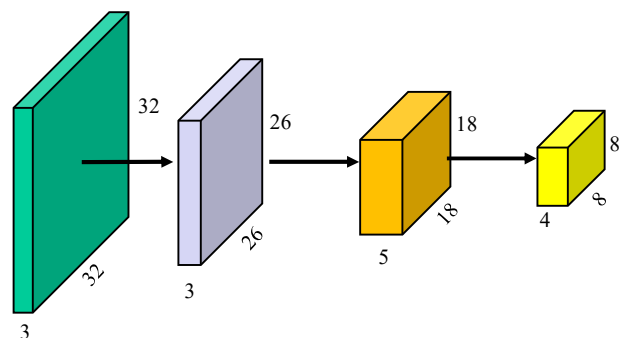


12,288 neurones au total
4,076 paramètres au total

113

Image RGB : couche 1 : 3 filtres de taille 7x7
couche 2 : 5 filtres de taille 9x9
couche 3 : 4 filtres de taille 11x11
convolution « *valid* »

Image: 32x32x3
Stride : 1

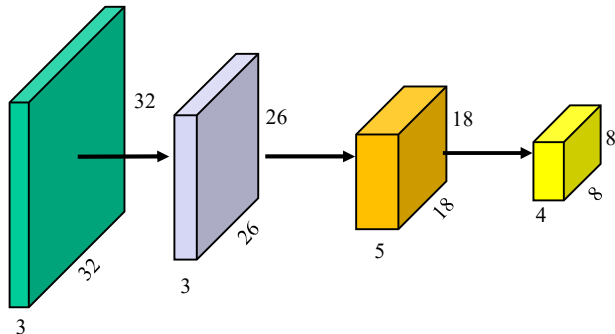


$3 \times (26 \times 26) = 2,028$ neurones $5 \times (18 \times 18) = 1,620$ neurones $4 \times (8 \times 8) = 256$ neurones
 $3 \times 7 \times 7 \times 3 = 441$ paramètres $5 \times 9 \times 9 \times 3 = 1,215$ paramètres $4 \times 11 \times 11 \times 5 = 2,420$ paramètres

114

Image RGB : couche 1 : 3 filtres de taille 7x7
couche 2 : 5 filtres de taille 9x9
couche 3 : 4 filtres de taille 11x11
convolution « valid »

Image: 32x32x3
Stride : 1

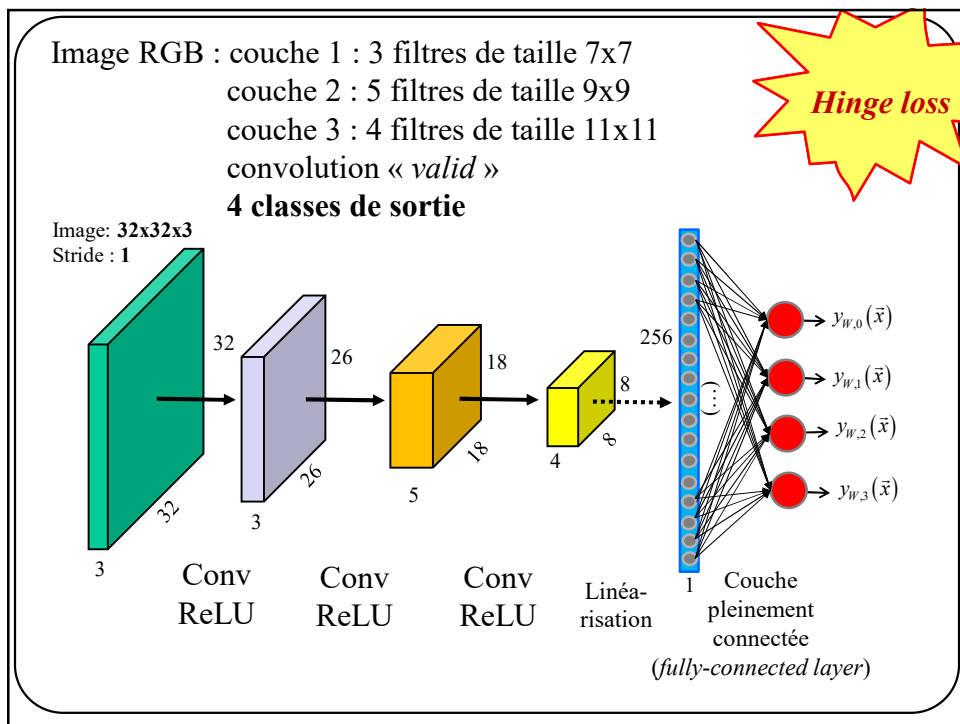


3,904 neurones au total
4,076 paramètres au total

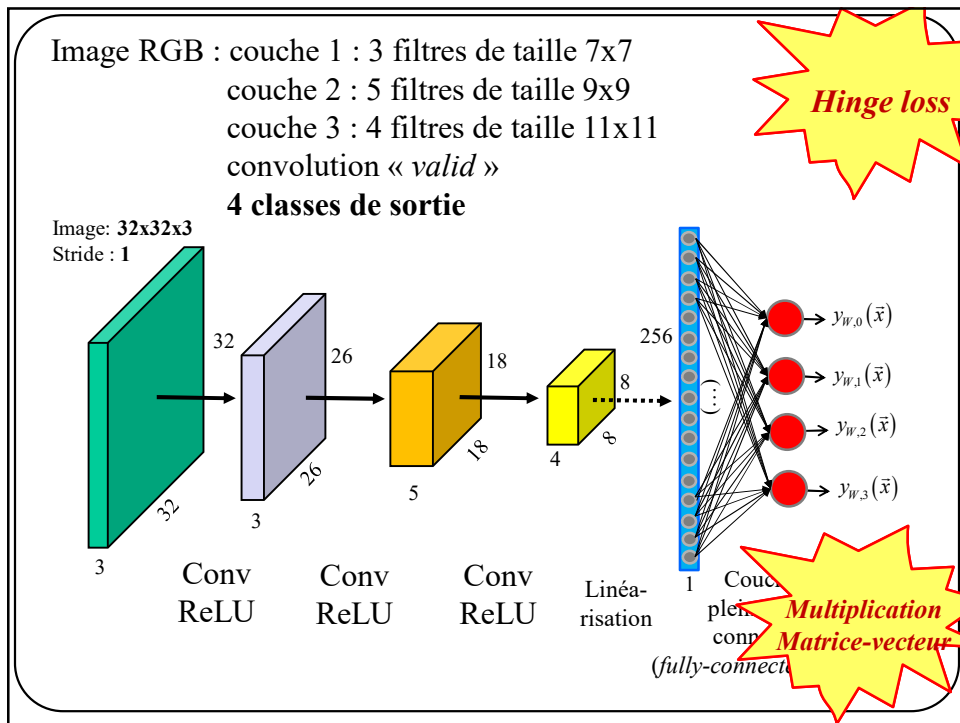
115

Tout comme un perceptron multi-couches, un réseau à convolution se termine par une **couche de sortie** avec **1 neurone par variable prédictive**

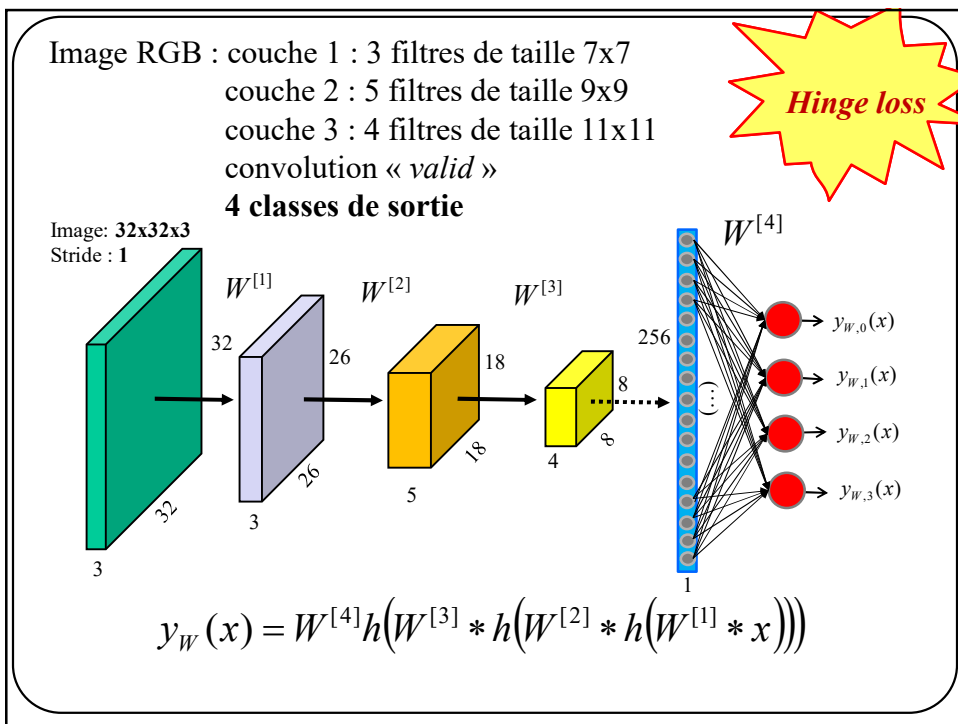
116



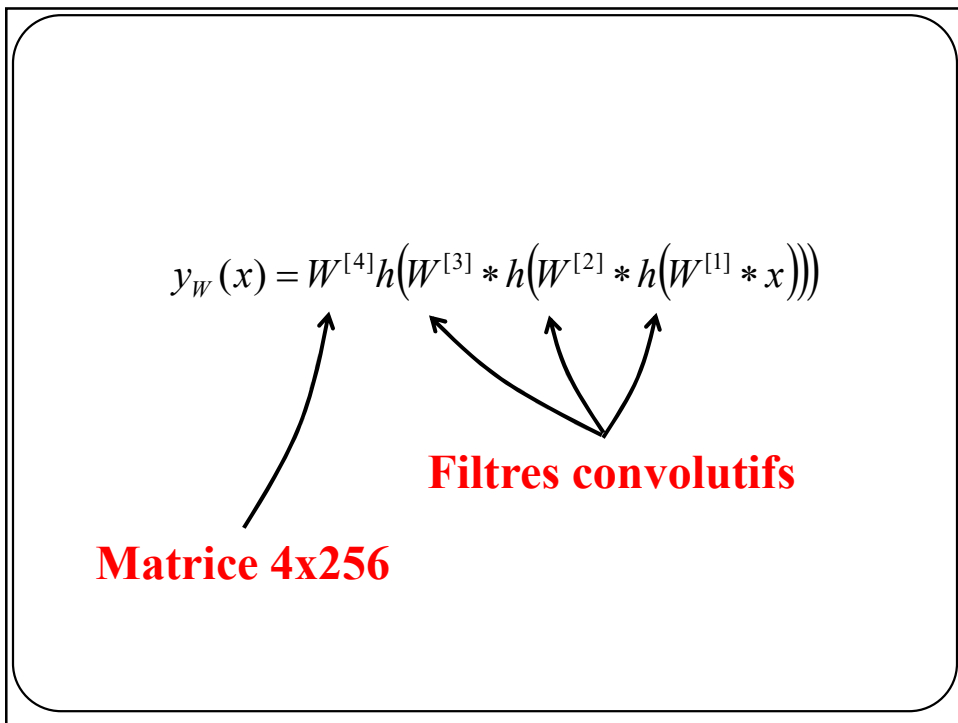
117



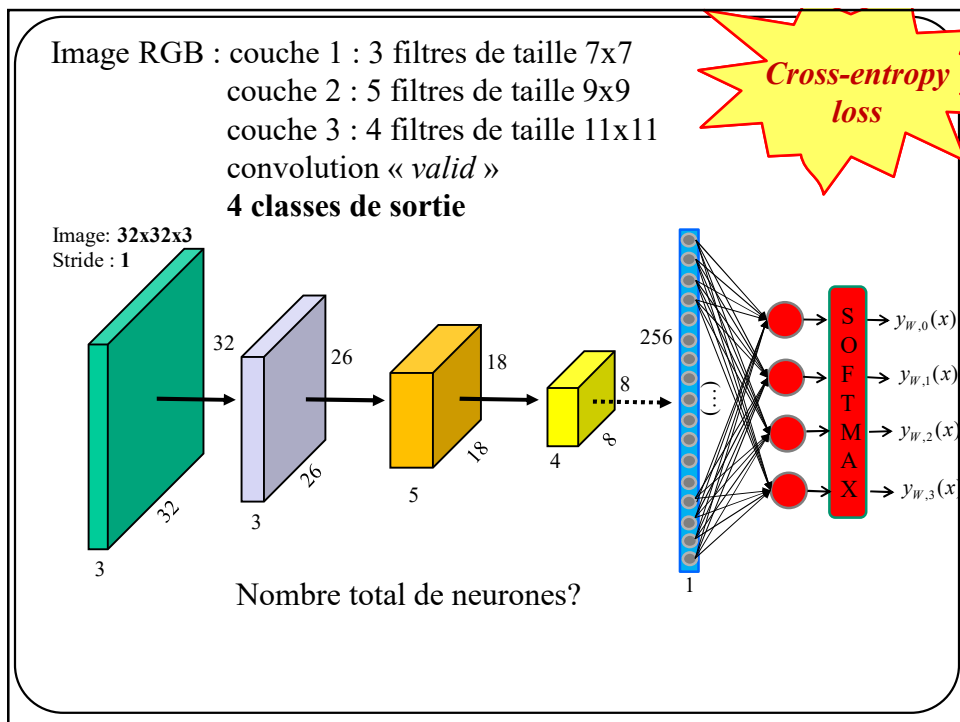
118



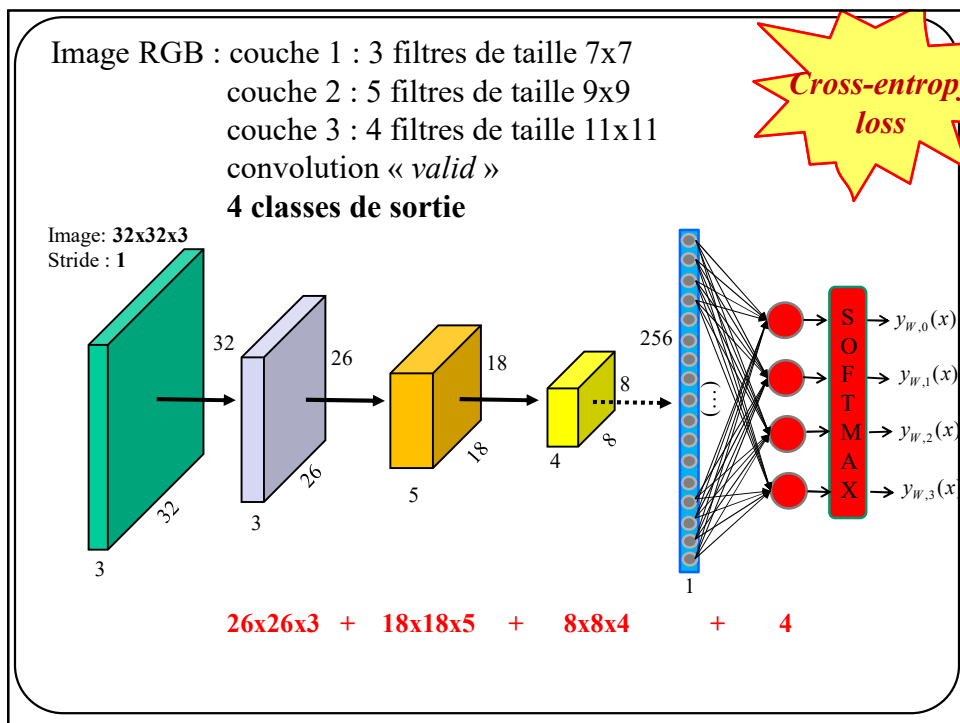
119



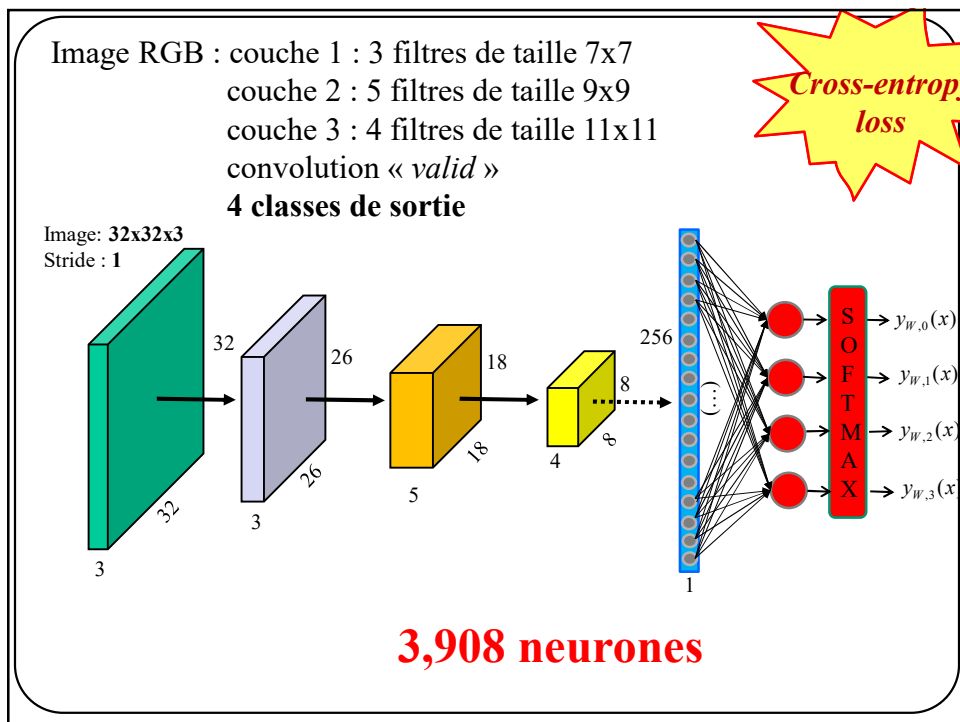
120



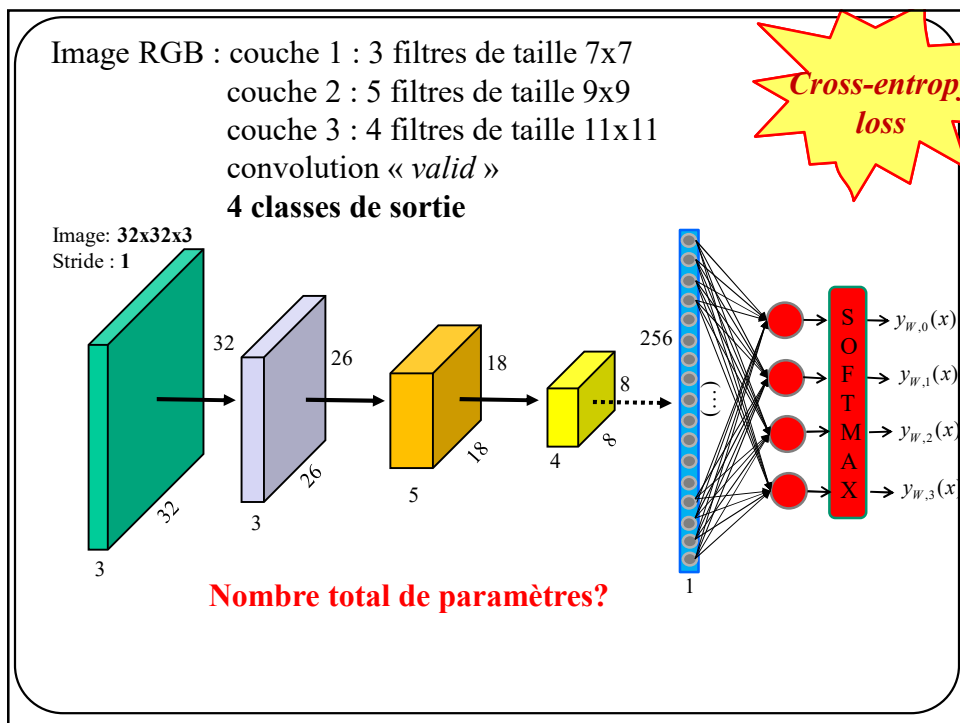
121



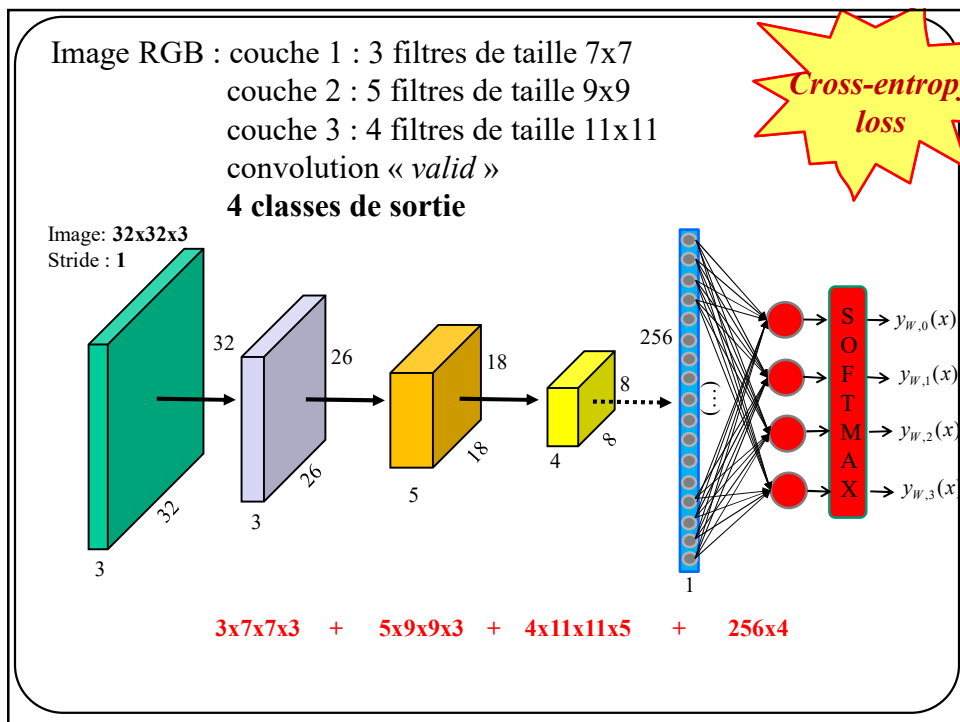
122



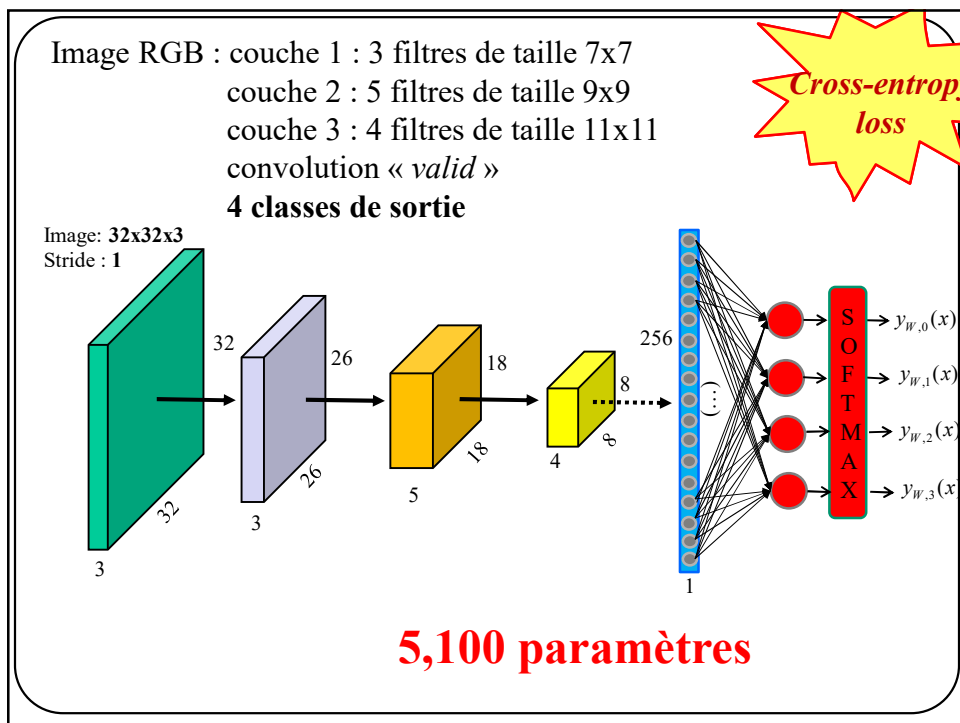
123



124



125



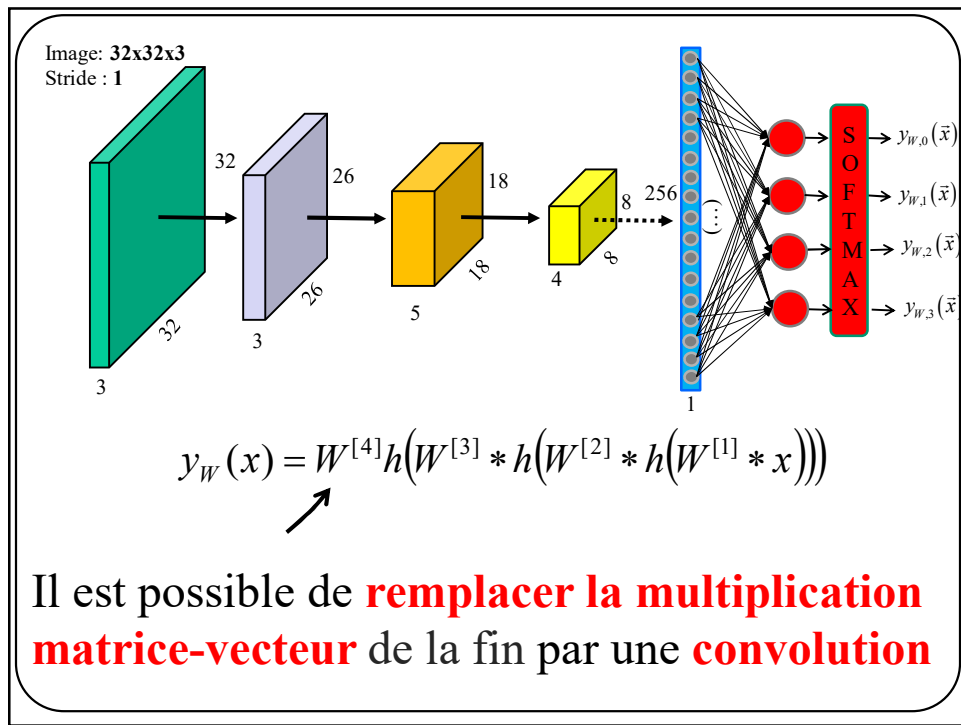
126

Réseaux à convolution

VS

Réseaux **pleinement** convolutifs

127



128

Exemple 1d (convolution « valid »)

$$\begin{array}{ccccccc} & \xrightarrow{9} & & \xrightarrow{3} & & \xrightarrow{7} & \\ \hline 40 & 50 & 70 & 80 & 90 & 10 & 20 & 30 & 40 & * & \begin{bmatrix} .2 & -.3 & .4 \end{bmatrix} & = & \begin{bmatrix} 21 & 21 & 26 & -7 & 23 & 8 & 11 \end{bmatrix} \end{array}$$

129

Exemple 1d (convolution « valid »)

$$\begin{array}{ccccccc} & \xrightarrow{9} & & \xrightarrow{5} & & \xrightarrow{5} & \\ \hline 40 & 50 & 70 & 80 & 90 & 10 & 20 & 30 & 40 & * & \begin{bmatrix} .2 & -.3 & .4 & -.5 & .6 \end{bmatrix} & = & \begin{bmatrix} 35 & -18 & 33 & 1 & 32 \end{bmatrix} \end{array}$$

130

Exemple 1d (convolution « valid »)

$$\begin{array}{ccccccc} & \xrightarrow{9} & & \xrightarrow{7} & & \xrightarrow{3} & \\ \hline 40 & 50 & 70 & 80 & 90 & 10 & 20 & 30 & 40 & * & [.2 & -.3 & .4 & -.5 & .6 & -.7 & .8] & = & [44 & -8 & 44] \end{array}$$

131

Taille filtre = nb de neurones couche précédente

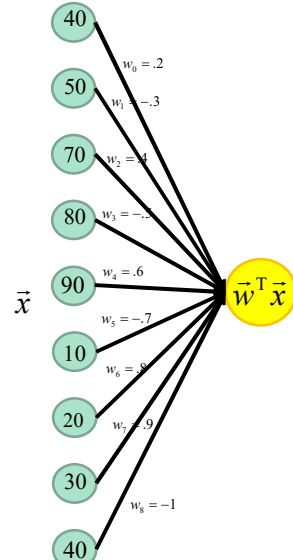
$$\begin{array}{ccccccc} & \xrightarrow{9} & & \xrightarrow{9} & & \xrightarrow{1} & \\ \hline 40 & 50 & 70 & 80 & 90 & 10 & 20 & 30 & 40 & * & [.2 & -.3 & .4 & -.5 & .6 & -.7 & .8 & .9 & -.1] & = & [31] \end{array}$$

132

Signal d'entrée de **taille 9** convolué avec un filtre « same » de **taille 9** correspond à une **couche pleinement connectée**

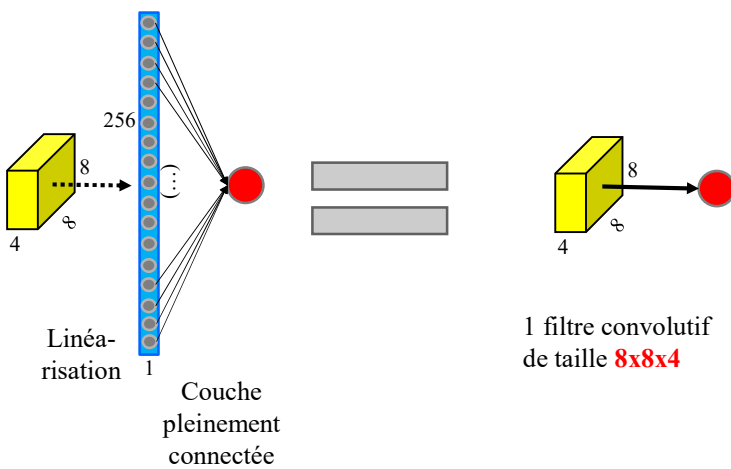
Convolution

| | | | | | | | | |
|----------|----------|----------|----------|----------|----------|----------|----------|----------|
| 40 | 50 | 70 | 80 | 90 | 10 | 20 | 30 | 40 |
| \times |
| .2 | -.3 | .4 | -.5 | .6 | -.7 | .8 | .9 | -.1 |



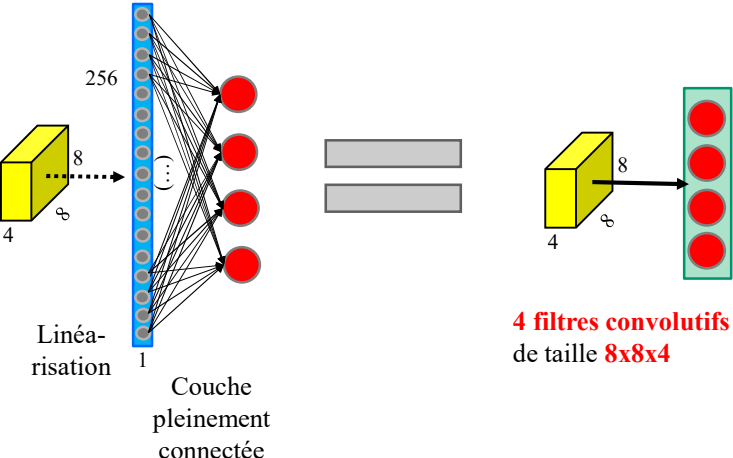
133

Même chose pour une **convolution 2D**

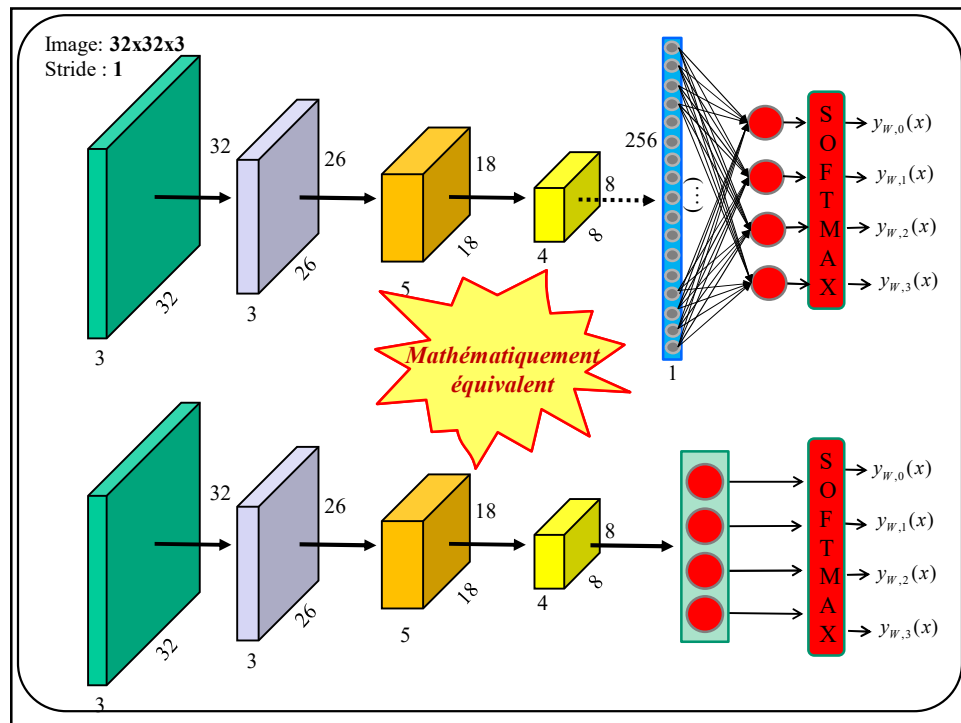


134

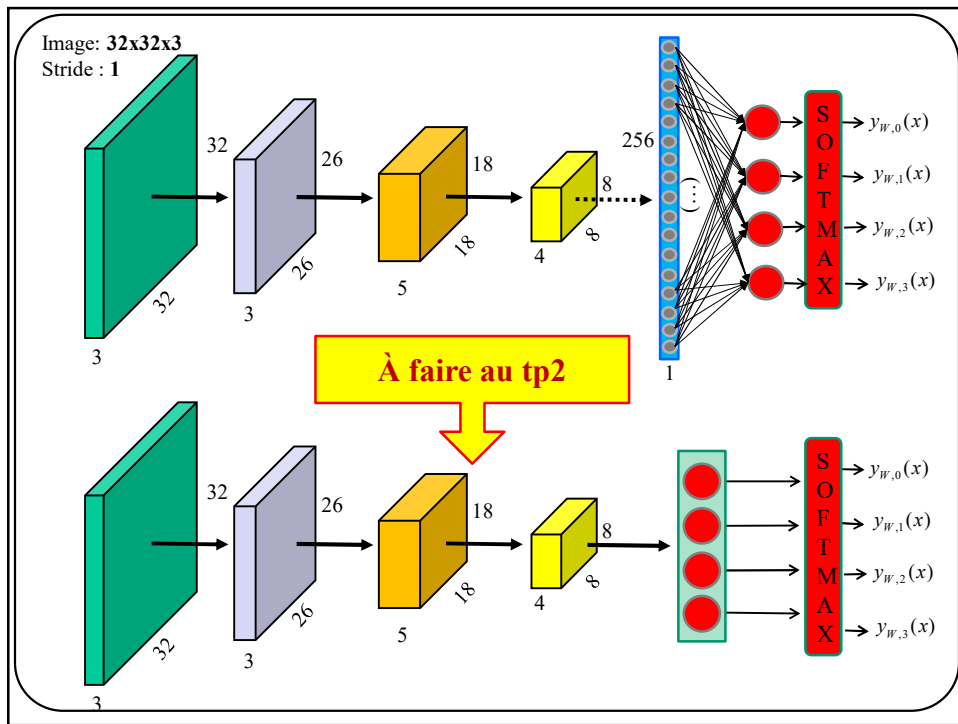
Même chose pour une **convolution 2D**



135



136



137

Configurations équivalentes

couche 1 : 3 filtres de taille 7x7
 couche 2 : 5 filtres de taille 9x9
 couche 3 : 4 filtres de taille 11x11
couche 4 pleinement connectée 256x4
 Softmax

couche 1 : 3 filtres de taille 7x7
 couche 2 : 5 filtres de taille 9x9
 couche 3 : 4 filtres de taille 11x11
couche 4 : 4 filtres de taille 8x8
 Softmax

En fait, presque équivalent ...

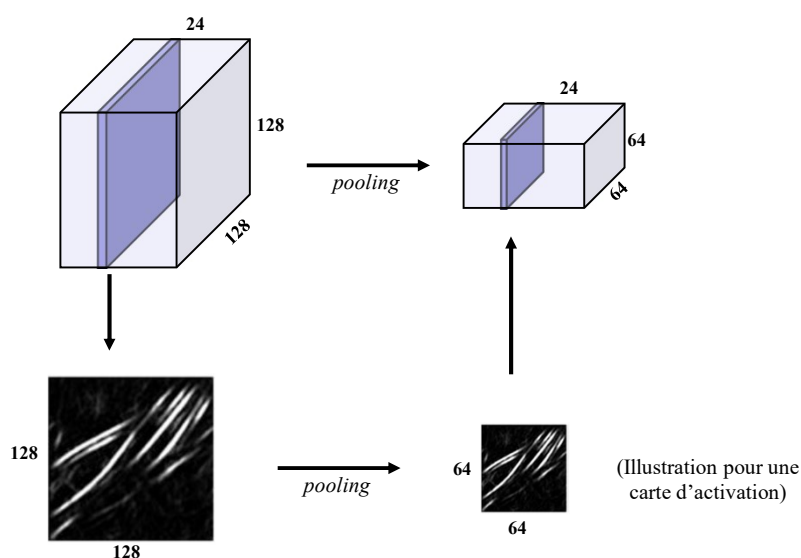
Question : qu'arrive-t-il si on remplace l'image 32x32x3 par une image 64x64x3?

138

Pooling

139

Réduction de la taille des cartes d'activation



140

Max pooling

Max pool par filtre « valid » 2x2 avec stride =2

| | | | | | | | |
|----|----|----|----|----|----|----|----|
| 1 | 2 | 4 | 4 | 9 | 3 | 1 | 2 |
| 6 | 7 | 8 | 4 | -3 | -3 | 6 | 3 |
| 9 | -9 | 8 | -4 | 5 | 5 | 3 | 0 |
| 8 | -8 | 9 | -9 | 5 | 5 | 0 | 1 |
| 0 | 0 | 1 | 2 | 7 | 9 | 7 | 8 |
| -1 | -3 | 3 | 6 | 8 | 8 | 7 | 6 |
| 9 | 9 | 8 | 2 | 1 | 5 | -1 | -1 |
| 1 | 1 | -2 | 8 | 3 | 7 | 4 | -2 |

| | | | |
|---|---|---|---|
| 7 | 8 | 9 | 6 |
| 9 | 9 | 5 | 3 |
| 0 | 6 | 9 | 8 |
| 9 | 8 | 7 | 4 |

141

Mean pooling

Moyenne par filtre « valid » 2x2 avec stride =2

| | | | | | | | |
|----|----|----|----|----|----|----|----|
| 1 | 2 | 4 | 4 | 9 | 3 | 1 | 2 |
| 6 | 7 | 8 | 4 | -3 | -3 | 6 | 3 |
| 9 | -9 | 8 | -4 | 5 | 5 | 3 | 0 |
| 8 | -8 | 9 | -9 | 5 | 5 | 0 | 1 |
| 0 | 0 | 1 | 2 | 7 | 9 | 7 | 8 |
| -1 | -3 | 3 | 6 | 8 | 8 | 7 | 6 |
| 9 | 9 | 8 | 2 | 1 | 5 | -1 | -1 |
| 1 | 1 | -2 | 8 | 3 | 7 | 4 | -2 |

| | | | |
|----|---|---|---|
| 4 | 5 | 3 | 4 |
| 0 | 1 | 5 | 1 |
| -1 | 8 | 8 | 7 |
| 5 | 4 | 4 | 1 |

142

Max pooling

| | | | | | | | |
|----|----|----|----|----|----|----|----|
| 1 | 2 | 4 | 4 | 9 | 3 | 1 | 2 |
| 6 | 7 | 8 | 4 | -3 | -3 | 6 | 3 |
| 9 | -9 | 8 | -4 | 5 | 5 | 3 | 0 |
| 8 | -8 | 9 | -9 | 5 | 5 | 0 | 1 |
| 0 | 0 | 1 | 2 | 7 | 9 | 7 | 8 |
| -1 | -3 | 3 | 6 | 8 | 8 | 7 | 6 |
| 9 | 9 | 8 | 2 | 1 | 5 | -1 | -1 |
| 1 | 1 | -2 | 8 | 3 | 7 | 4 | -2 |

Max pooling 2x2
avec stride =1



143

Max pooling

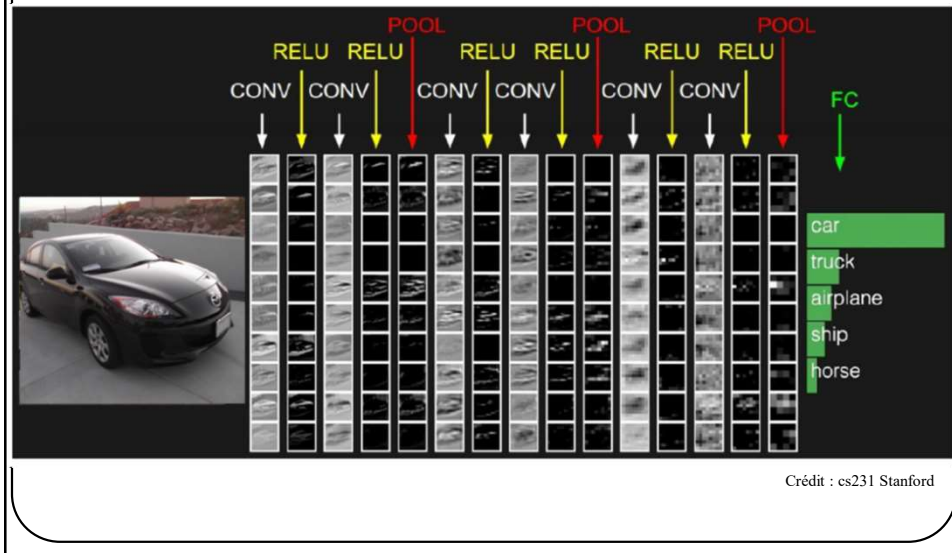
| | | | | | | | |
|----|----|----|----|----|----|----|----|
| 1 | 2 | 4 | 4 | 9 | 3 | 1 | 2 |
| 6 | 7 | 8 | 4 | -3 | -3 | 6 | 3 |
| 9 | -9 | 8 | -4 | 5 | 5 | 3 | 0 |
| 8 | -8 | 9 | -9 | 5 | 5 | 0 | 1 |
| 0 | 0 | 1 | 2 | 7 | 9 | 7 | 8 |
| -1 | -3 | 3 | 6 | 8 | 8 | 7 | 6 |
| 9 | 9 | 8 | 2 | 1 | 5 | -1 | -1 |
| 1 | 1 | -2 | 8 | 3 | 7 | 4 | -2 |

Max pooling 3x3
avec stride =2



144

Illustration d'un CNN complet



145

Multiplication matricielle parcimonieuse

<https://towardsdatascience.com/a-comprehensive-introduction-to-different-types-of-convolutions-in-deep-learning-669281e58215>

147

Il est **plus rapide** de multiplier des matrices que de les convoluer.

Ex.: convolution « *valid* », un canal d'entrée et une carte d'activation, filtre 3x3

Entrée

| | | | |
|-----|-----|-----|-----|
| X0 | X1 | X2 | X3 |
| X4 | X5 | X6 | X7 |
| X8 | X9 | X10 | X11 |
| X12 | X13 | X14 | X15 |

Filtre

| | | |
|----|----|----|
| W0 | W1 | W2 |
| W3 | W4 | W5 |
| W6 | W7 | W8 |

*

=

| | |
|----|----|
| Y1 | Y2 |
| Y3 | Y4 |

148

Il est **plus rapide** de multiplier des matrices que de les convoluer.

Ex.: convolution « *valid* », un canal d'entrée et une carte d'activation, filtre 3x3

Entrée

| | | | |
|-----|-----|-----|-----|
| X0 | X1 | X2 | X3 |
| X4 | X5 | X6 | X7 |
| X8 | X9 | X10 | X11 |
| X12 | X13 | X14 | X15 |

Filtre

| | | |
|----|----|----|
| W0 | W1 | W2 |
| W3 | W4 | W5 |
| W6 | W7 | W8 |

*

=

| | |
|----|----|
| Y0 | Y1 |
| Y2 | Y3 |

On peut **remplacer** une **convolution** par une **multiplication matrice-matrice** ou **matrice-vecteur**

en **linéarisant** le filtre et en « **matriçant** » l'entrée

149

Rappel

Ex.: convolution « *valid* », un canal d'entrée et une carte d'activation, filtre 3x3

| | | | |
|-----|-----|-----|-----|
| W0 | W1 | W2 | X3 |
| W3 | W4 | W5 | X7 |
| W6 | W7 | W8 | X11 |
| X12 | X13 | X14 | X15 |

| | |
|----|----|
| Y0 | Y1 |
| Y2 | Y3 |

$$\mathbf{Y0} = W0.X0 + W1.X1 + W2.X2 + W3.X4 + W4.X5 + W5.X6 + W6.X8 + W7.X9 + W8.X10$$

150

Rappel

Ex.: convolution « *valid* », un canal d'entrée et une carte d'activation, filtre 3x3

| | | | |
|-----|-----|-----|-----|
| X0 | W0 | W1 | W2 |
| X4 | W3 | W4 | W5 |
| X8 | W6 | W7 | W8 |
| X12 | X13 | X14 | X15 |

| | |
|----|----|
| Y0 | Y1 |
| Y2 | Y3 |

$$\mathbf{Y1} = W0.X1 + W1.X2 + W2.X3 + W3.X5 + W4.X6 + W5.X7 + W6.X9 + W7.X10 + W8.X11$$

151

Rappel

Ex.: convolution « *valid* », un canal d'entrée et une carte d'activation, filtre 3x3

| | | | |
|----|----|----|-----|
| X0 | X1 | X2 | X3 |
| W0 | W1 | W2 | X7 |
| W3 | W4 | W5 | X11 |
| W6 | W7 | W8 | X15 |

| | |
|----|----|
| Y0 | Y1 |
| Y2 | Y3 |

$$Y2 = W0.X4 + W1.X5 + W2.X6 + W3.X8 + W4.X9 + W5.X10 + W6.X12 + W7.X13 + W8.X14$$

152

Rappel

Ex.: convolution « *valid* », un canal d'entrée et une carte d'activation, filtre 3x3

| | | | |
|-----|----|----|----|
| X0 | X1 | X2 | X3 |
| X4 | W0 | W1 | W2 |
| X8 | W3 | W4 | W5 |
| X12 | W6 | W7 | W8 |

| | |
|----|----|
| Y0 | Y1 |
| Y2 | Y3 |

$$Y3 = W0.X5 + W1.X6 + W2.X7 + W3.X9 + W4.X10 + W5.X11 + W6.X13 + W7.X14 + W8.X15$$

153

Autrement dit...

| | | | |
|-----|-----|-----|-----|
| W0 | W1 | W2 | X3 |
| W3 | W4 | W5 | X7 |
| W6 | W7 | W8 | X11 |
| X12 | X13 | X14 | X15 |

| |
|-----|
| X0 |
| X1 |
| X2 |
| X4 |
| X5 |
| X6 |
| X8 |
| X9 |
| X10 |

Y0

154

Autrement dit...

| | | | |
|-----|-----|-----|-----|
| X0 | W0 | W1 | W2 |
| X4 | W3 | W4 | W5 |
| X8 | W6 | W7 | W8 |
| X12 | X13 | X14 | X15 |

| | |
|-----|-----|
| X0 | X1 |
| X1 | X2 |
| X2 | X3 |
| X4 | X5 |
| X5 | X6 |
| X6 | X7 |
| X8 | X9 |
| X9 | X10 |
| X10 | X11 |

Y0 | **Y1**

155

Autrement dit...

| X0 | X1 | X2 | X3 |
|----|----|----|-----|
| W0 | W1 | W2 | X7 |
| W3 | W4 | W5 | X11 |
| W6 | W7 | W8 | X15 |

| X0 | X1 | X4 |
|-----|-----|-----|
| X1 | X2 | X5 |
| X2 | X3 | X6 |
| X4 | X5 | X8 |
| X5 | X6 | X9 |
| X6 | X7 | X10 |
| X8 | X9 | X11 |
| X9 | X10 | X12 |
| X10 | X11 | X13 |

| | |
|----|----|
| Y0 | Y1 |
| Y2 | |

156

Autrement dit...

| X0 | X1 | X2 | X3 |
|-----|----|----|----|
| X4 | W0 | W1 | W2 |
| X8 | W3 | W4 | W5 |
| X12 | W6 | W7 | W8 |

| X0 | X1 | X4 | X5 |
|-----|-----|-----|-----|
| X1 | X2 | X5 | X6 |
| X2 | X3 | X6 | X7 |
| X4 | X5 | X8 | X9 |
| X5 | X6 | X9 | X10 |
| X6 | X7 | X10 | X11 |
| X8 | X9 | X11 | X13 |
| X9 | X10 | X12 | X14 |
| X10 | X11 | X13 | X15 |

| | |
|----|----|
| Y0 | Y1 |
| Y2 | Y3 |

157

Convolution « valid » en **linéarisant le filtre** et en
« matriçant » l'entrée

$$\begin{array}{ccccccccc} W_0 & W_1 & W_2 & W_3 & W_4 & W_5 & W_6 & W_7 & W_8 \end{array} \times \begin{array}{|c|c|c|c|} \hline X_0 & X_1 & X_4 & X_5 \\ \hline X_1 & X_2 & X_5 & X_6 \\ \hline X_2 & X_3 & X_6 & X_7 \\ \hline X_4 & X_5 & X_8 & X_9 \\ \hline X_5 & X_6 & X_9 & X_{10} \\ \hline X_6 & X_7 & X_{10} & X_{11} \\ \hline X_8 & X_9 & X_{11} & X_{13} \\ \hline X_9 & X_{10} & X_{12} & X_{14} \\ \hline X_{10} & X_{11} & X_{13} & X_{15} \\ \hline \end{array} = \begin{array}{|c|c|c|c|} \hline Y_0 & Y_1 & Y_2 & Y_3 \\ \hline \end{array}$$

158

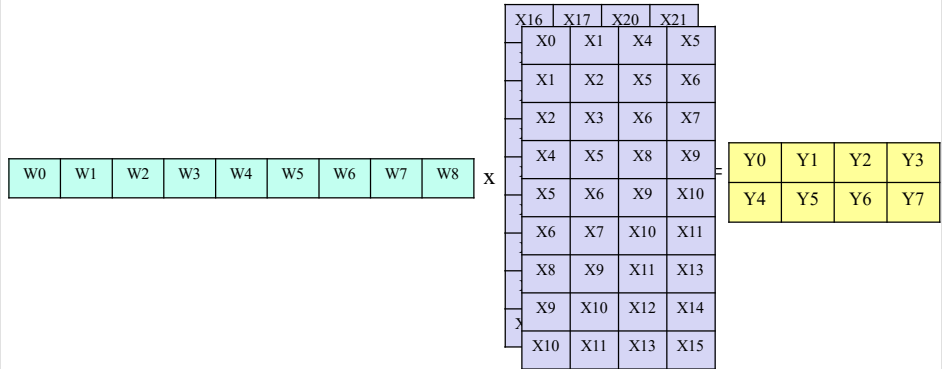
Autre exemple
conv « valid », mini-batch de 2 entrées

$$\begin{array}{cccc} \text{2 données en entrée} & & \text{Filtre} & \\ \begin{array}{|c|c|c|c|} \hline X_0 & X_1 & X_2 & X_3 \\ \hline X_4 & X_5 & X_6 & X_7 \\ \hline X_8 & X_9 & X_{10} & X_{11} \\ \hline X_{12} & X_{13} & X_{14} & X_{15} \\ \hline \end{array} & * & \begin{array}{|c|c|c|} \hline W_0 & W_1 & W_2 \\ \hline W_3 & W_4 & W_5 \\ \hline W_6 & W_7 & W_8 \\ \hline \end{array} & = \begin{array}{|c|c|} \hline Y_0 & Y_1 \\ \hline Y_2 & Y_3 \\ \hline Y_4 & Y_5 \\ \hline Y_6 & Y_7 \\ \hline \end{array} \end{array}$$

159

Autre exemple

conv « valid », mini-batch de 2 entrées



160

Autre exemple

conv « valid », une entrée, deux filtres

Entrée

| | | | |
|-----------------|-----------------|-----------------|-----------------|
| X ₀ | X ₁ | X ₂ | X ₃ |
| X ₄ | X ₅ | X ₆ | X ₇ |
| X ₈ | X ₉ | X ₁₀ | X ₁₁ |
| X ₁₂ | X ₁₃ | X ₁₄ | X ₁₅ |

Filtre

| | | |
|-----------------|-----------------|-----------------|
| W ₀ | W ₁ | W ₂ |
| W ₃ | W ₄ | W ₅ |
| W ₆ | W ₇ | W ₈ |
| W ₉ | W ₁₀ | W ₁₁ |
| W ₁₂ | W ₁₃ | W ₁₄ |
| W ₁₅ | W ₁₆ | W ₁₇ |

$$* \quad = \quad$$

| | |
|----------------|----------------|
| Y ₀ | Y ₁ |
| Y ₂ | Y ₃ |
| Y ₄ | Y ₅ |
| Y ₆ | Y ₇ |

161

Autre exemple

conv « valid », une entrée, deux filtres

$$\begin{array}{|c|c|c|c|c|c|c|c|c|c|} \hline
 W_0 & W_1 & W_2 & W_3 & W_4 & W_5 & W_6 & W_7 & W_8 \\ \hline
 W_9 & W_{10} & W_{11} & W_{12} & W_{13} & W_{14} & W_{15} & W_{16} & W_{17} \\ \hline
 \end{array} \times \begin{array}{|c|c|c|c|} \hline
 X_0 & X_1 & X_4 & X_5 \\ \hline
 X_1 & X_2 & X_5 & X_6 \\ \hline
 X_2 & X_3 & X_6 & X_7 \\ \hline
 X_4 & X_5 & X_8 & X_9 \\ \hline
 X_5 & X_6 & X_9 & X_{10} \\ \hline
 X_6 & X_7 & X_{10} & X_{11} \\ \hline
 X_8 & X_9 & X_{11} & X_{13} \\ \hline
 X_9 & X_{10} & X_{12} & X_{14} \\ \hline
 X_{10} & X_{11} & X_{13} & X_{15} \\ \hline
 \end{array} = \begin{array}{|c|c|c|c|} \hline
 Y_0 & Y_1 & Y_2 & Y_3 \\ \hline
 Y_4 & Y_5 & Y_6 & Y_7 \\ \hline
 \end{array}$$

162

Autre exemple

conv « valid », une entrée avec deux canaux, un filtre

Entrée

| | | | |
|-----|-----|-----|-----|
| X0 | X1 | X2 | X3 |
| X4 | X5 | X6 | X7 |
| X8 | X9 | X10 | X11 |
| X12 | X13 | X14 | X15 |
| X16 | X17 | X18 | X19 |
| X20 | X21 | X22 | X23 |
| X24 | X25 | X26 | X27 |
| X28 | X29 | X30 | X31 |

Filtre

$$\begin{array}{|c|c|c|} \hline
 W_0 & W_1 & W_2 \\ \hline
 W_3 & W_4 & W_5 \\ \hline
 W_6 & W_7 & W_8 \\ \hline
 W_9 & W_{10} & W_{11} \\ \hline
 W_{12} & W_{13} & W_{14} \\ \hline
 W_{15} & W_{16} & W_{17} \\ \hline
 \end{array} * = \begin{array}{|c|c|} \hline
 Y_0 & Y_1 \\ \hline
 Y_2 & Y_3 \\ \hline
 \end{array}$$

163

Autre exemple

conv « valid », une entrée avec deux canaux, un filtre

| | | | | | | | | | | | | | | | | | |
|----|----|----|----|-------|----|----|----|----|----|-----|-----|-----|-----|-----|-----|-----|-----|
| W0 | W1 | W2 | W3 | (...) | W5 | W6 | W7 | W8 | W9 | W10 | W11 | W12 | W13 | W14 | W15 | W16 | W17 |
|----|----|----|----|-------|----|----|----|----|----|-----|-----|-----|-----|-----|-----|-----|-----|

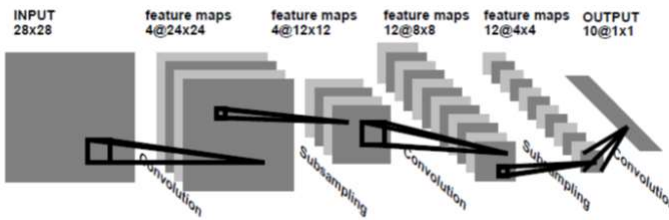
$$\mathbf{X} = \begin{array}{|c|c|c|c|} \hline X_0 & X_1 & X_4 & X_5 \\ \hline X_1 & X_2 & X_5 & X_6 \\ \hline X_2 & X_3 & X_6 & X_7 \\ \hline X_4 & X_5 & X_8 & X_9 \\ \hline (...) & (...) & (...) & (...) \\ \hline X_{22} & X_{23} & X_{26} & X_{27} \\ \hline X_{24} & X_{25} & X_{27} & X_{29} \\ \hline X_{25} & X_{26} & X_{28} & X_{30} \\ \hline X_{26} & X_{27} & X_{29} & X_{31} \\ \hline \end{array} \quad Y_0 \quad Y_1 \quad Y_2 \quad Y_3$$

164

Exemples d'architectures connues

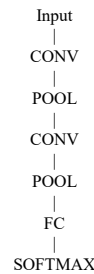
165

LeNet-1



Une des plus vieilles architectures faites pour la reconnaissance de caractères.

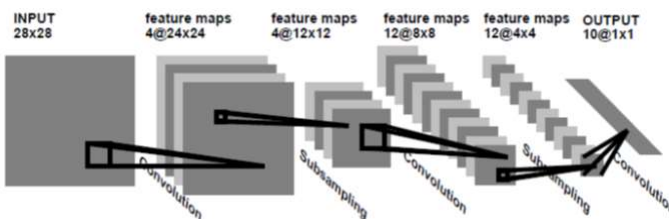
- Image d'entrée : $28 \times 28 \times 1$
- Filtres convolutionnels : 5×5
- Conv « valid » + tanh
- 2 couches convolutionnelles (avec 4 et 12 filtres)
- 2 *average pooling*
- 1 couche pleinement connectée
- 10 classes



LeCun, Y.; Boser, B.; Denker, J. S.; Henderson, D.; Howard, R. E.; Hubbard, W. & Jackel, L. D. (1989).
Backpropagation applied to handwritten zip code recognition. Neural Computation, 1(4):541-551

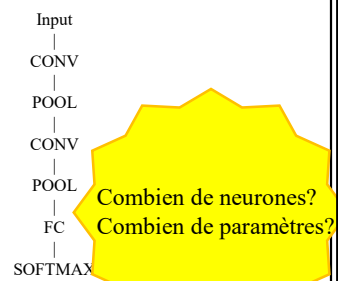
166

LeNet-1



Une des plus vieilles architectures faites pour la reconnaissance de caractères.

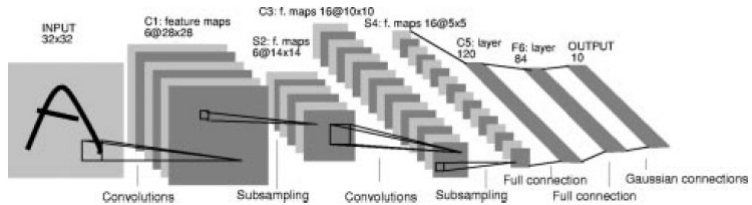
- Image d'entrée : $28 \times 28 \times 1$
- Filtres convolutionnels : 5×5
- Conv « valid » + tanh
- 2 couches convolutionnelles (avec 4 et 12 filtres)
- 2 *average pooling*
- 1 couche pleinement connectée
- 10 classes



LeCun, Y.; Boser, B.; Denker, J. S.; Henderson, D.; Howard, R. E.; Hubbard, W. & Jackel, L. D. (1989).
Backpropagation applied to handwritten zip code recognition. Neural Computation, 1(4):541-551

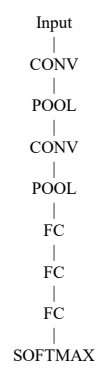
167

LeNet-5



Version améliorée:

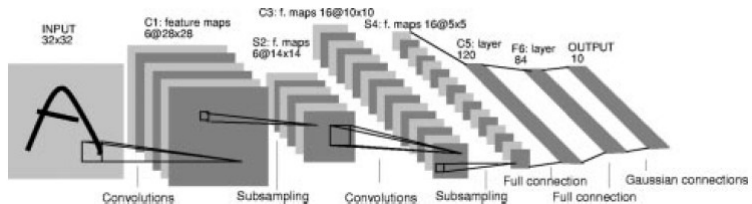
- Image d'entrée : $28 \times 28 \times 1$
- Filtres convolutionnels : 5×5
- Conv « valid » + tanh
- 2 couches convolutionnelles (avec 6 et 16 filtres)
- 2 *average pooling*
- 3 couches pleinement connectées (120, 84 et 10 neurones)
- 10 classes



LeCun, Y.; Bottou, L.; Bengio, Y. & Haffner, P. (1998).
Gradient-based learning applied to document recognition. *Proceedings of the IEEE*, 86(11): 2278 - 232.

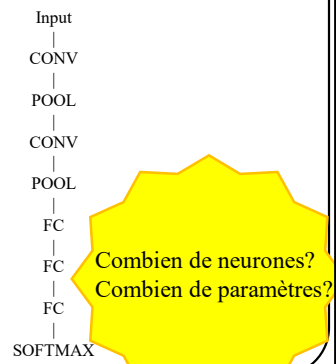
168

LeNet-5



Version améliorée:

- Image d'entrée : $28 \times 28 \times 1$
- Filtres convolutionnels : 5×5
- Conv « valid » + tanh
- 2 couches convolutionnelles (avec 6 et 16 filtres)
- 2 *average pooling*
- 3 couches pleinement connectées (120, 84 et 10 neurones)
- 10 classes



169

Classification d'images

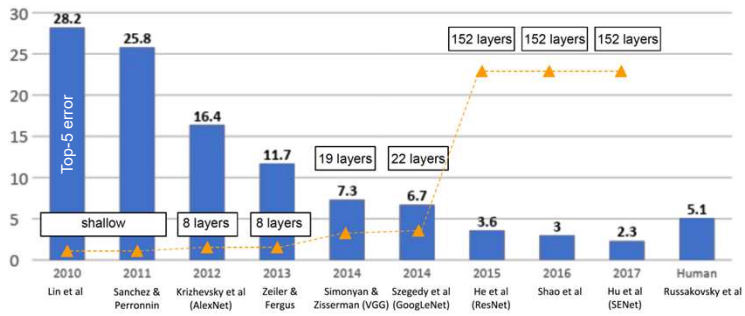
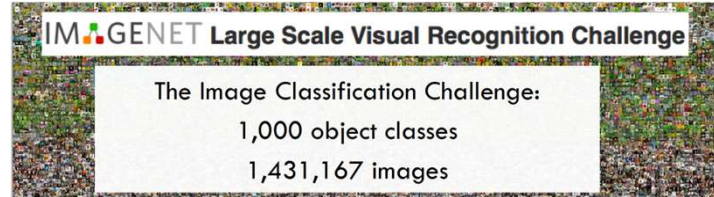


Image: <http://cs231n.stanford.edu/slides/2018>

170

Classification d'images

AlexNet [Krizhevsky et al, 2012]

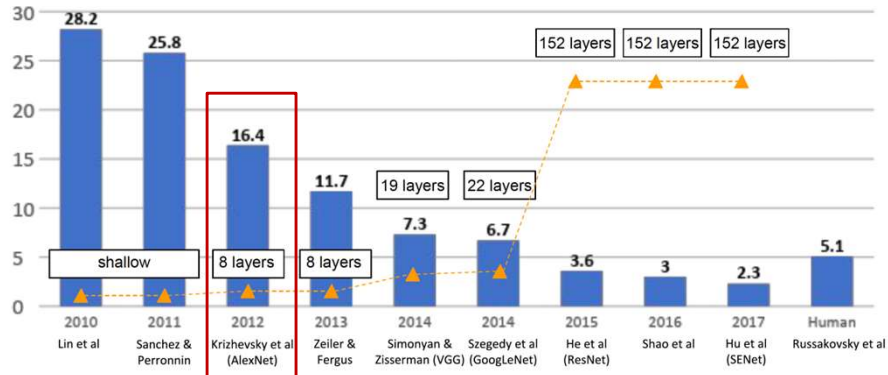
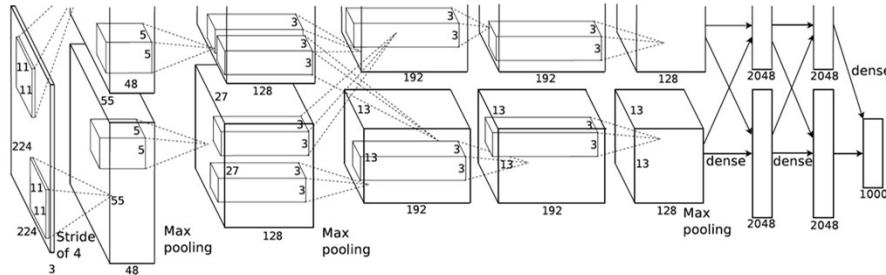


Image: <http://cs231n.stanford.edu/slides/2018>

171

171

AlexNet



- Premier CNN à bien performer sur ImageNet (amélioration de 10% par rapport aux autres)
- Utilisation de techniques aujourd’hui fréquemment utilisées: **ReLU**, **data augmentation** and **dropout**
- Utilisation de **GPUs** (2 dans leur cas)
- Point de départ de la **révolution du “deep learning”** en vision par ordinateur

Image: Krizhevsky et al. "Imagenet classification with deep convolutional neural networks," NIPS 2012.

172

AlexNet

Architecture:

CONV1

MAX POOL1

NORM1

CONV2

MAX POOL2

NORM2

CONV3

CONV4

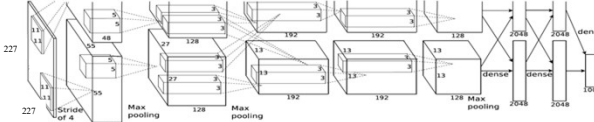
CONV5

Max POOL3

FC6

FC7

FC8



Entrée : image RGB: 227x227x3

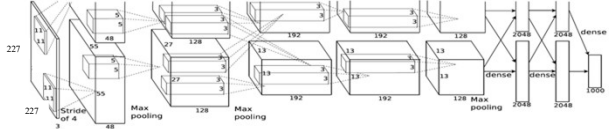
Couche 1 (CONV1): 96 filtres de taille 11x11 avec **stride de 4** et conv “**valid**”

Quelle est la taille des cartes d’activation?

Réponse: $(227-11)/4+1 = 55$

173

AlexNet



Architecture:

CONV1
MAX POOL1
NORM1
CONV2
MAX POOL2
NORM2
CONV3
CONV4
CONV5
Max POOL3
FC6
FC7
FC8

Entrée : image RGB: 227x227x3

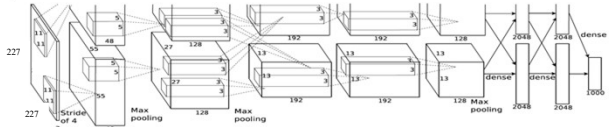
Couche 1 (CONV1): 96 filtres de taille 11x11 avec
“stride de 4 et conv “valid”

Cartes d’activation : 96 x 55 x 55

Q: Quel est le nombre de paramètres?

174

AlexNet



Architecture:

CONV1
MAX POOL1
NORM1
CONV2
MAX POOL2
NORM2
CONV3
CONV4
CONV5
Max POOL3
FC6
FC7
FC8

Entrée : image RGB: 227x227x3

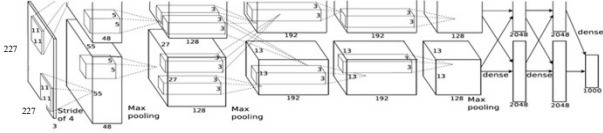
Couche 1 (CONV1): 96 filtres de taille 11x11 avec
“stride de 4 et conv “valid”

Cartes d’activation : 96 x 55 x 55

Paramètres : $11 \times 11 \times 96 \times 3 = 34,848$

175

AlexNet



ENTRÉE : 227x227x3

CONV1: 96 x 55 x 55

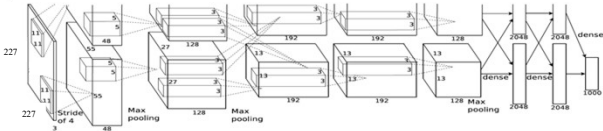
Couche 2 MaxPool : 3x3 stride stride 2

Quelle est la taille des cartes d'activation?

Réponse: $(55-3)/2+1 = 27$

176

AlexNet



ENTRÉE : 227x227x3

CONV1: 96 x 55 x 55

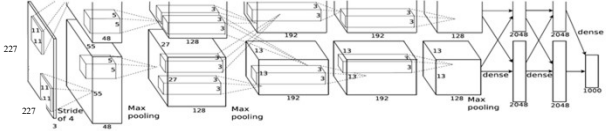
**Couche 2 MaxPool : 3x3 stride stride 2
27 x 27 x 96**

Combien y a-t-il de paramètres?

Réponse: 0!

177

AlexNet



ENTRÉE : 227x227x3

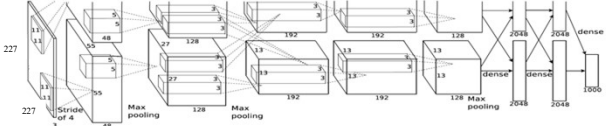
CONV1: 55 x 55 x 96

MAX POOL1: 27 x 27 x 96

...

178

AlexNet



ENTRÉE 227 x 227 x 3

96 filtres 11x11, stride 4, pad 0, **CONV1** 55 x 55 x 96

filtre 3x3, stride 2, **MAX POOL1** 27 x 27 x 96

normalisation par couche, **NORM1** 27 x 27 x 96

256 filtres 5x5, stride 1, pad 2, **CONV2** 27 x 27 x 256

filtre 3x3, stride 2, **MAX POOL2** 13 x 13 x 256

normalisation par couche, **NORM2** 13 x 13 x 256

384 filtres 3x3, stride 1, pad 1, **CONV3** 13 x 13 x 384

384 filtres 3x3, stride 1, pad 1, **CONV4** 13 x 13 x 384

256 filtres 3x3, stride 1, pad 1, **CONV5** 13 x 13 x 256

filtre 3x3, stride 2, **MAX POOL3** 6 x 6 x 256

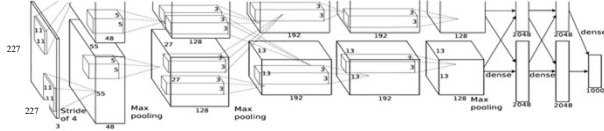
FC6 4096

FC7 4096

FC8 1000

179

AlexNet



ENTRÉE 227 x 227 x 3

CONV1 55 x 55 x 96

MAX POOL1 27 x 27 x 96

NORM1 27 x 27 x 96

CONV2 27 x 27 x 256

MAX POOL2 13 x 13 x 256

NORM2 13 x 13 x 256

CONV3 13 x 13 x 384

CONV4 13 x 13 x 384

CONV5 13 x 13 x 256

MAX POOL3 6 x 6 x 256

FC6 4096

FC7 4096

FC8 1000

Notes additionnelles:

Fonction d'activation **ReLU**

Augmentation de données

LayerNorm : peu utilisé aujourd'hui

Dropout 0.5

Batch_size 128

SGD + momentum

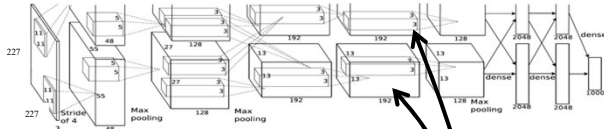
Taux d'apprentissage 0.01 avec

réduction par plateau d'un facteur 10

~68 millions de paramètres

180

AlexNet



ENTRÉE 227 x 227 x 3

CONV1 55 x 55 x 96

MAX POOL1 27 x 27 x 96

NORM1 27 x 27 x 96

CONV2 27 x 27 x 256

MAX POOL2 13 x 13 x 256

NORM2 13 x 13 x 256

CONV3 13 x 13 x 384

CONV4 13 x 13 x 384

CONV5 13 x 13 x 256

MAX POOL3 6 x 6 x 256

FC6 4096

FC7 4096

FC8 1000

Notes additionnelles:

Utilisation de **2 GPUs**

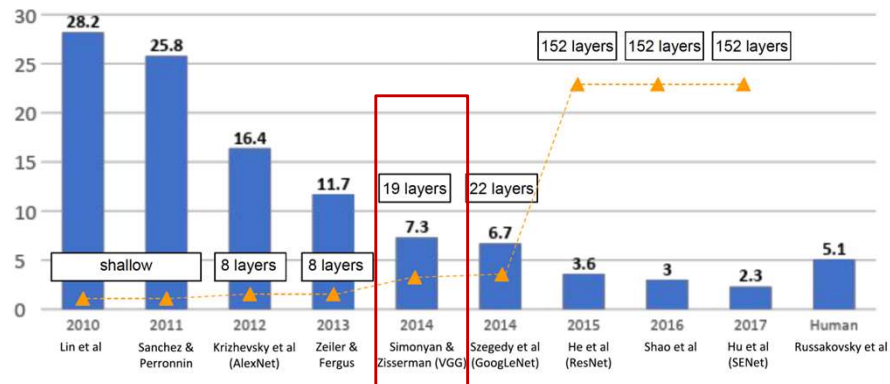
Fait voter un ensemble de 7 CNN:

18.2% -> 15.4

181

Classification d'images

VGGNet [Simonyan and Zisserman, 2014]



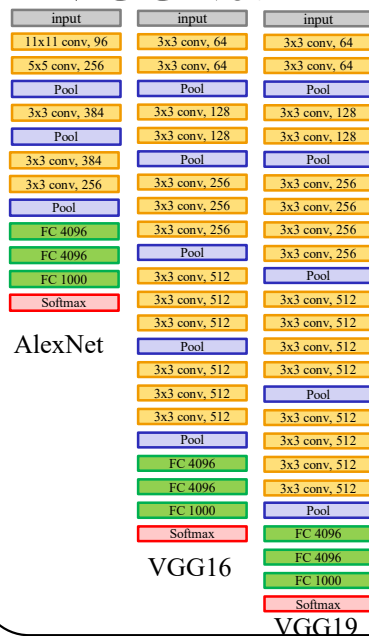
Karen Simonyan, Andrew Zisserman “Very Deep Convolutional Networks for Large-Scale Image Recognition”, ICLR 2015

Image: <http://cs231n.stanford.edu/slides/2018>

182

182

VGGNet



Ce qui caractérise VGGNet par rapport à ses prédecesseurs:

- Uniquement des **filtres 3x3, stride 1, pad 1**
 - **Plus profond**

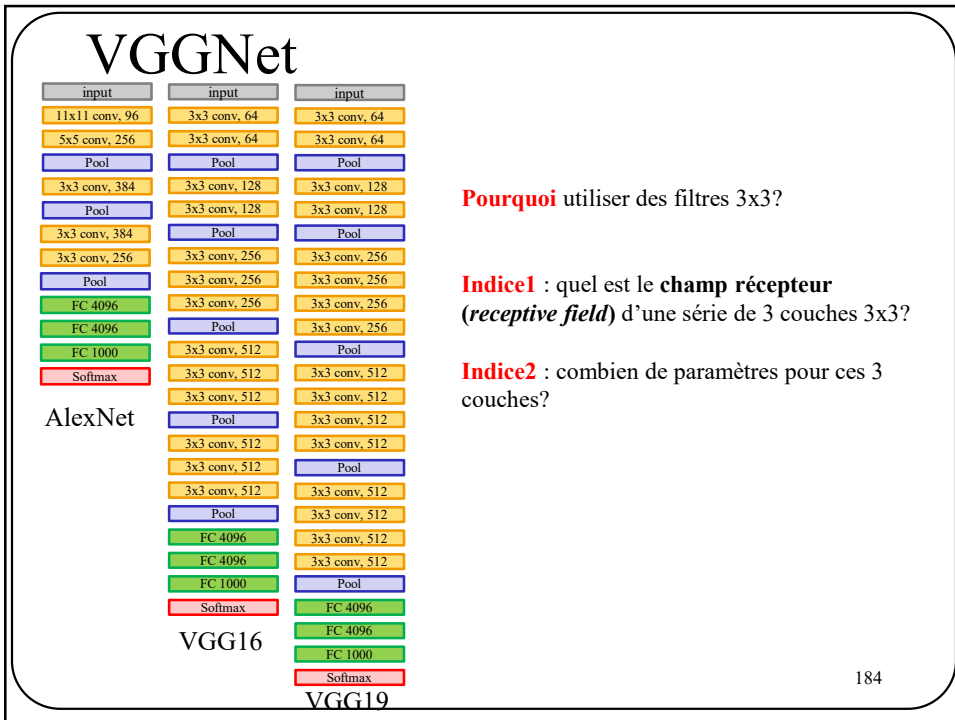
AlexNet : 8 couches

VGGNet : 16 ou 19 couches

7.3% d'erreur contre 11.7% pour ZFNet

183

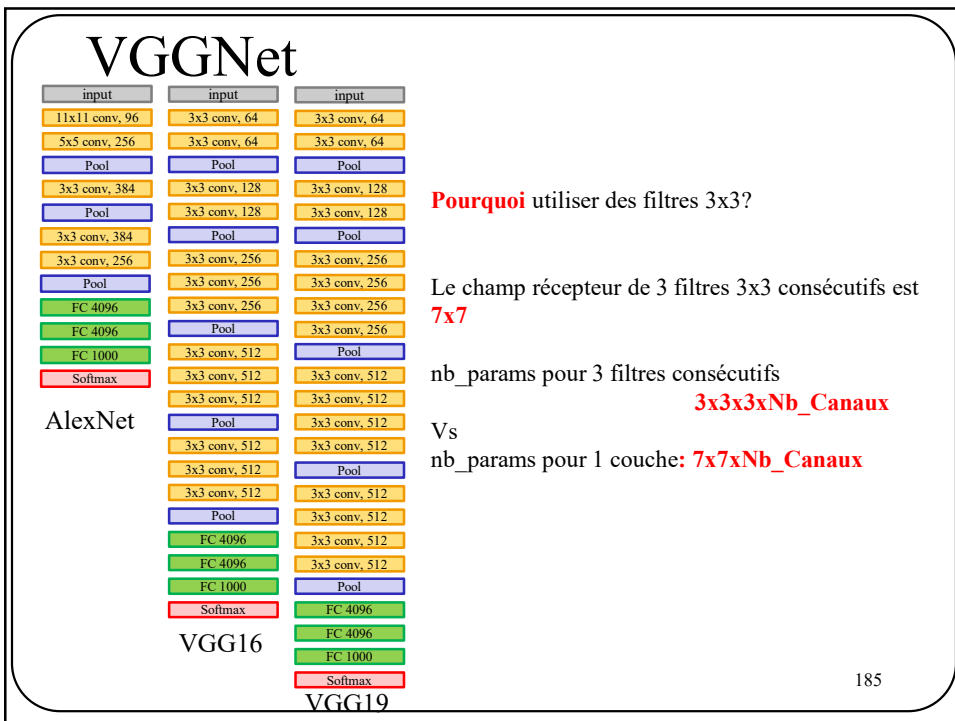
183



Pourquoi utiliser des filtres 3x3?

Indice1 : quel est le **champ récepteur** (*receptive field*) d'une série de 3 couches 3x3?

Indice2 : combien de paramètres pour ces 3 couches?



Pourquoi utiliser des filtres 3x3?

Le champ récepteur de 3 filtres 3x3 consécutifs est **7x7**

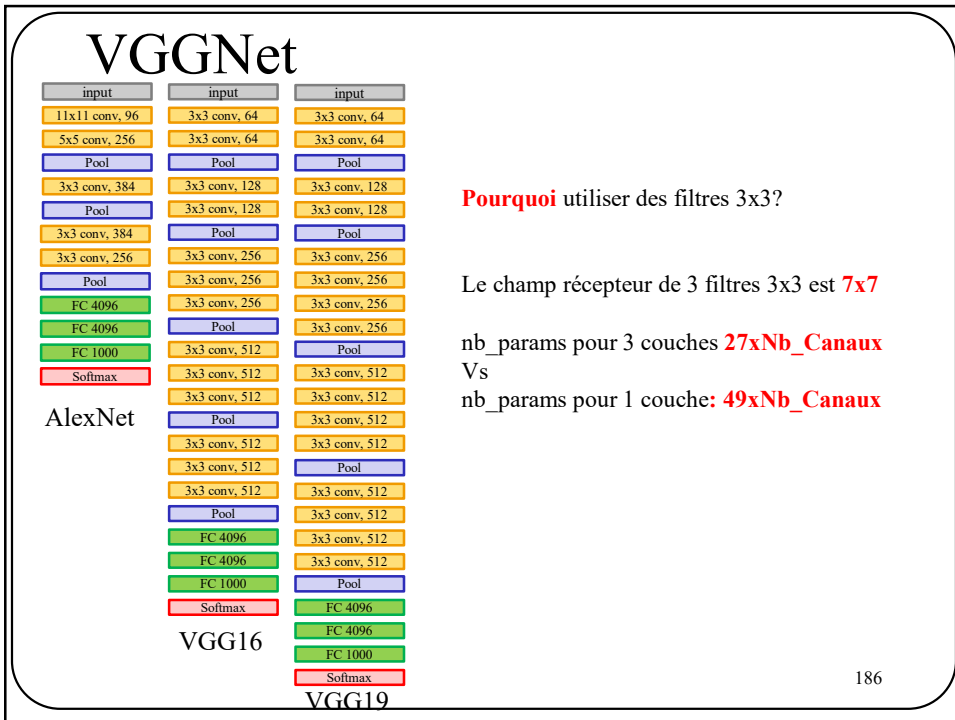
nb_params pour 3 filtres consécutifs

3x3x3xNb_Canaux

Vs

nb_params pour 1 couche: **7x7xNb_Canaux**

185



Pourquoi utiliser des filtres 3x3?

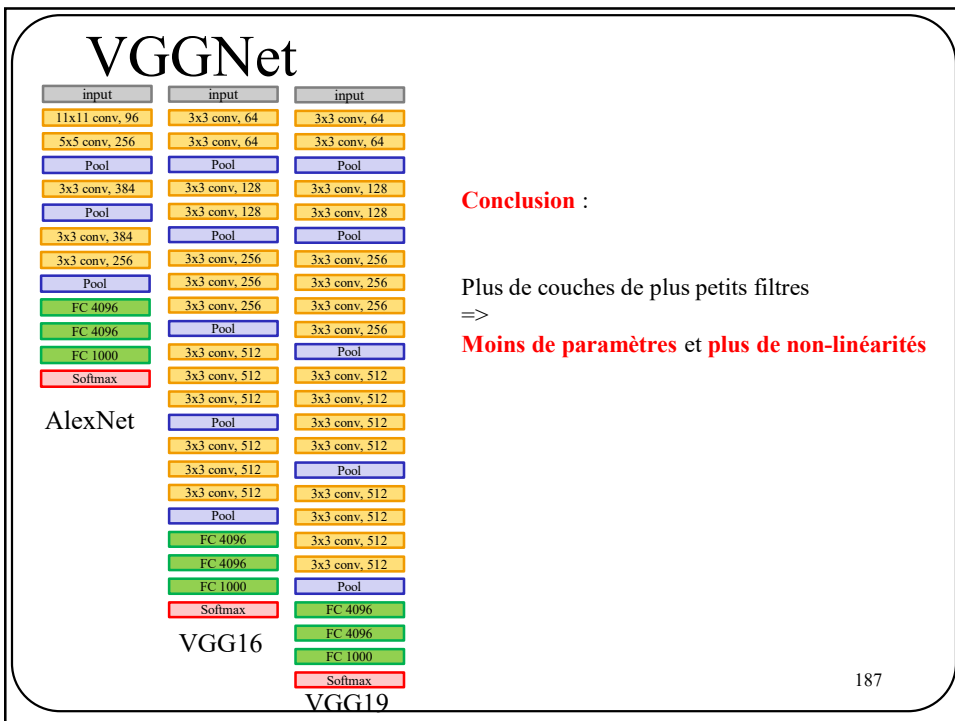
Le champ récepteur de 3 filtres 3x3 est **7x7**

nb_params pour 3 couches **27xNb_Canaux**

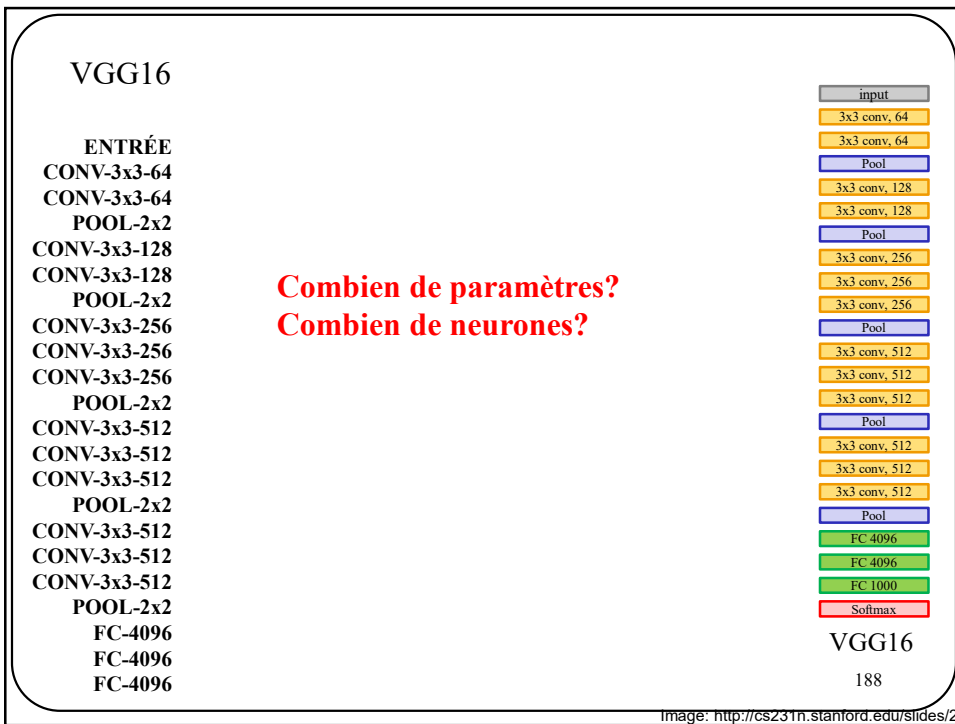
Vs

nb_params pour 1 couche: **49xNb_Canaux**

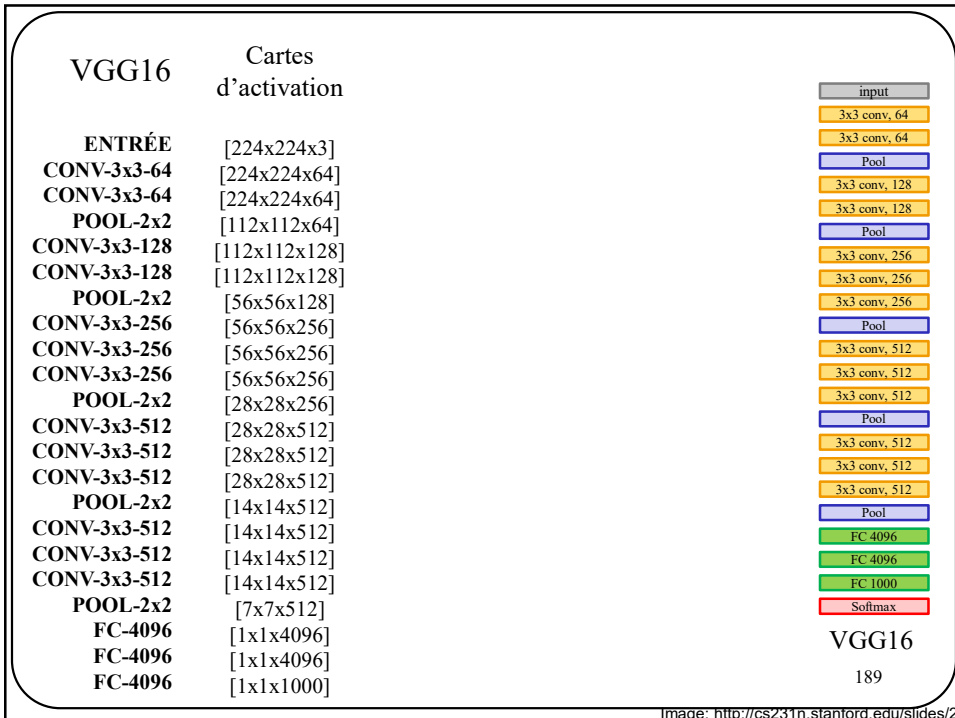
186



187



188



189

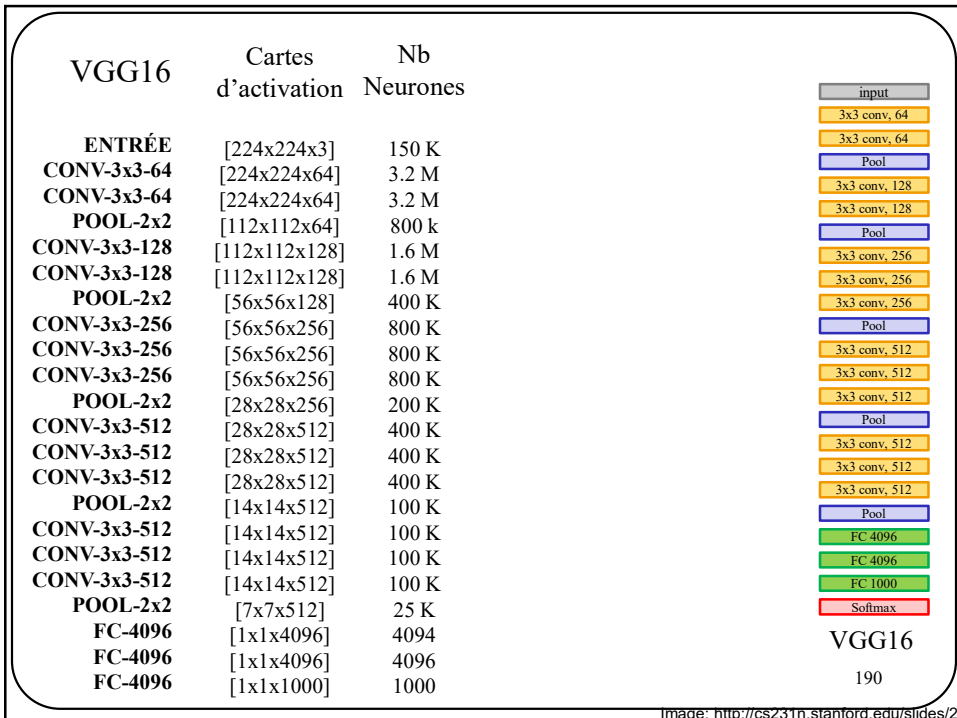


Image: <http://cs231n.stanford.edu/slides/2>

190

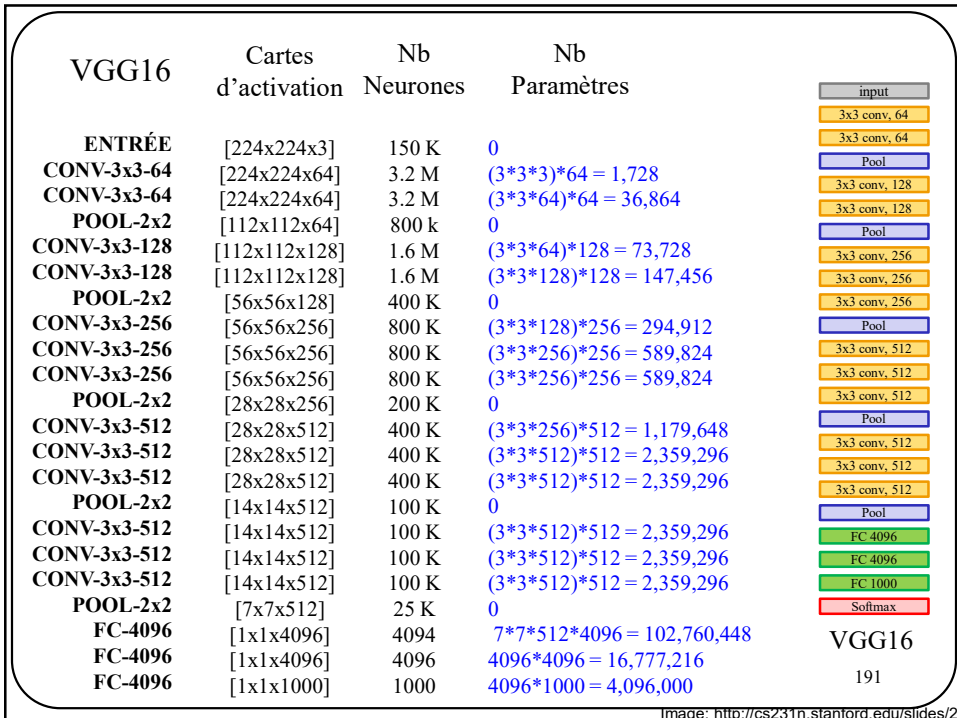


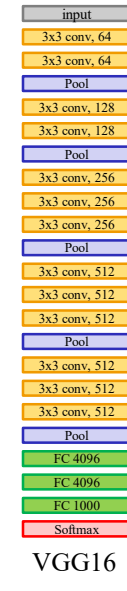
Image: <http://cs231n.stanford.edu/slides/2>

191

VGGNet

Nb neurones totaux : ~15 M
Mémoire totale neurones (4 octets par neurones) : ~60 Mo
Nb paramètres totaux : 138 M
Mémoire total paramètres (4 octets par paramètres) : 552 Mo

~ 612 Mo pour la propagation avant d'une image



VGG16

192

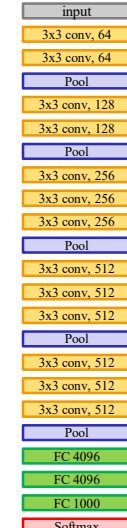
Image: <http://cs231n.stanford.edu/slides/2>

VGGNet

Nb neurones totaux : ~15 M
Mémoire totale neurones (4 octets par neurones) : ~60 Mo
Nb paramètres totaux : ~138 M
Mémoire total paramètres (4 octets par paramètres) : ~552 Mo

~612 Mo pour la propagation avant d'une image

>1.1 Go si on inclut la rétro-propagation



VGG16

193

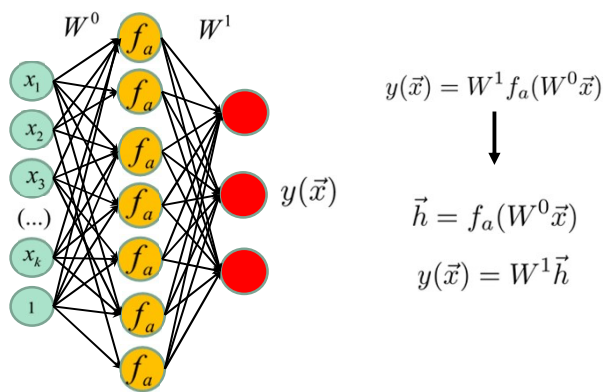
Image: <http://cs231n.stanford.edu/slides/2>

193

Réseaux récurrents (si le temps le permet)

194

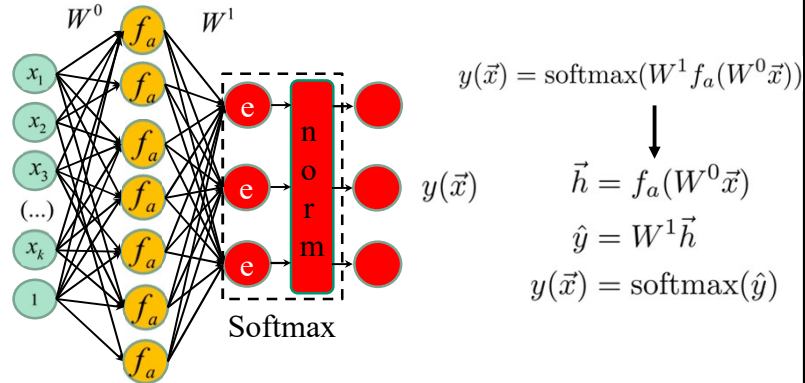
Réseau de neurones de base (régression)



f_a : fonction d'activation

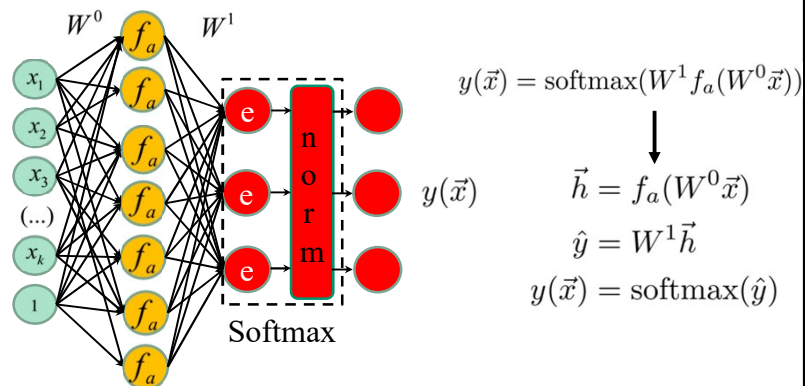
195

Réseau de neurones de base (classification)



196

Réseau de neurones de base (classification)

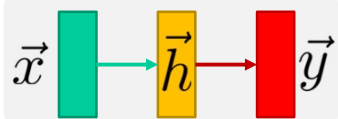


Ne permet que des tâches “1 pour 1”

- Classification (1 image = 1 étiquette)
- Régression (1 donnée = 1 vecteur)
- Localisation (1 boîte = 1 classification + 1 régression)

197

Illustration simplifiée

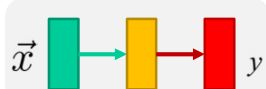


RN de base

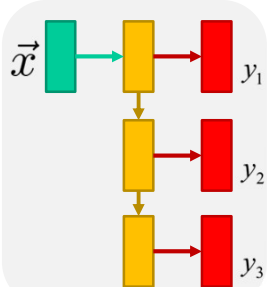
198

Différentes configurations pour différentes applications

1 entrée et 1 sortie

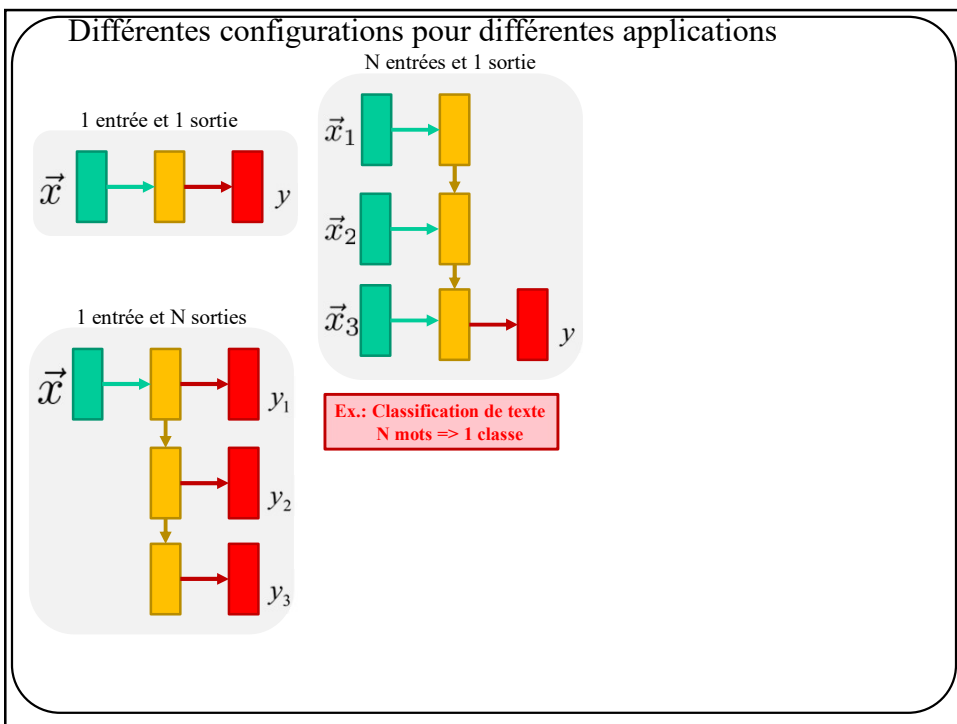


1 entrée et N sorties

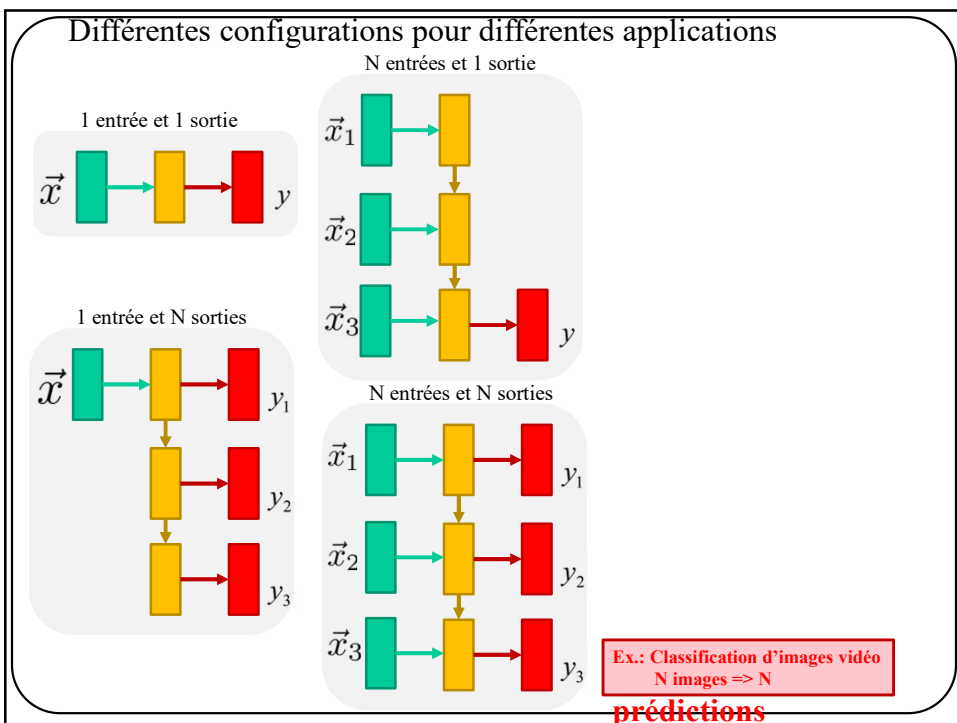


Ex.: description d'une image
1 image => N mots

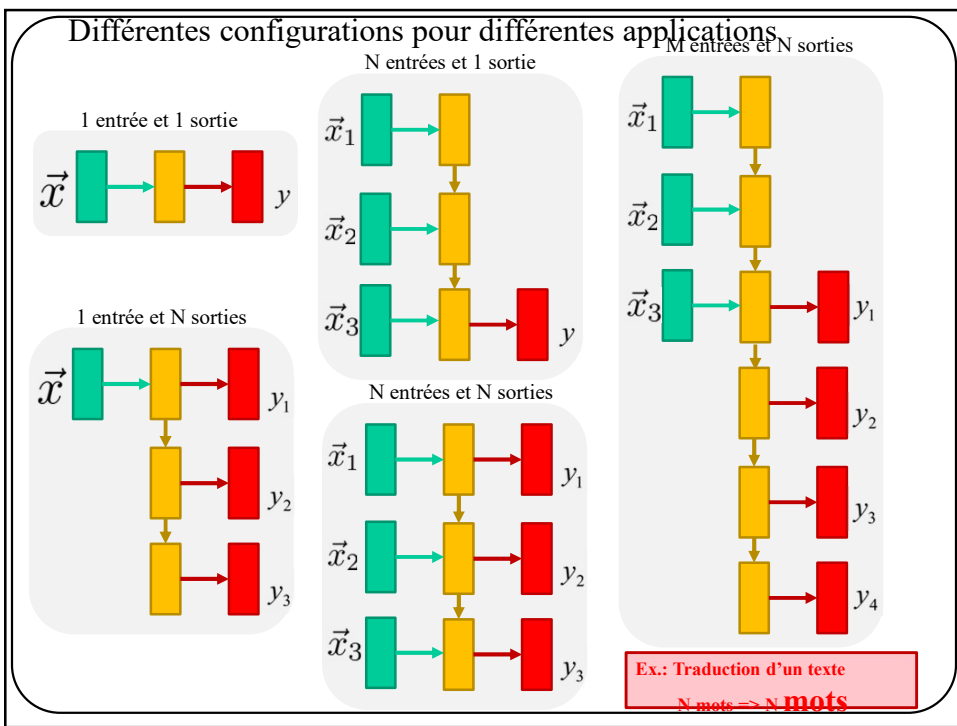
199



200

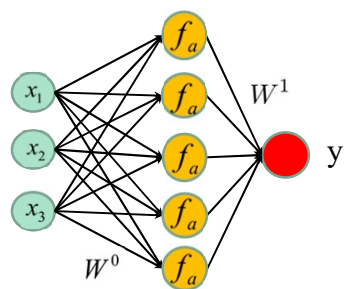


201



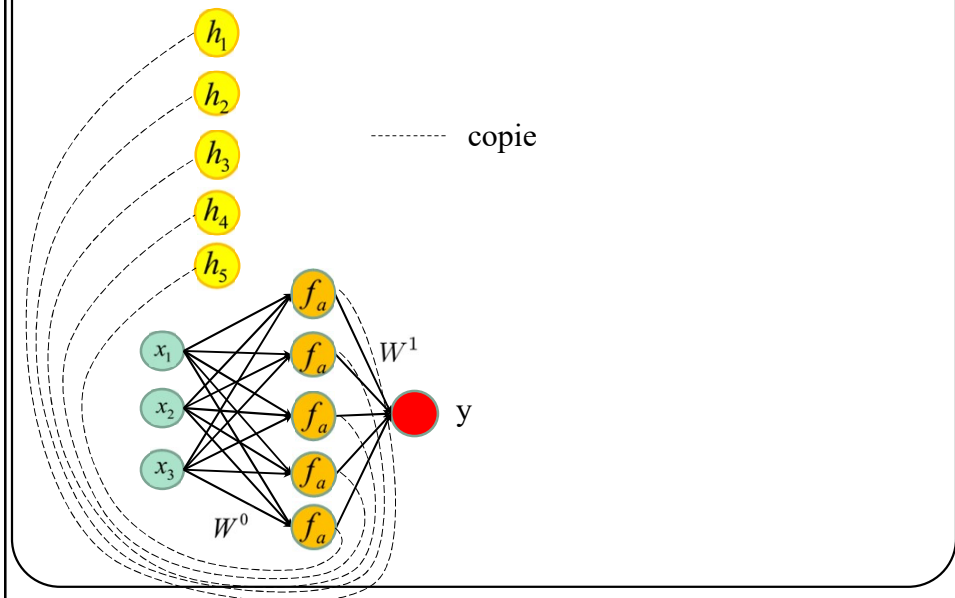
202

Réseau récurrent : la sortie des neurones est réinjectée dans leur entrée



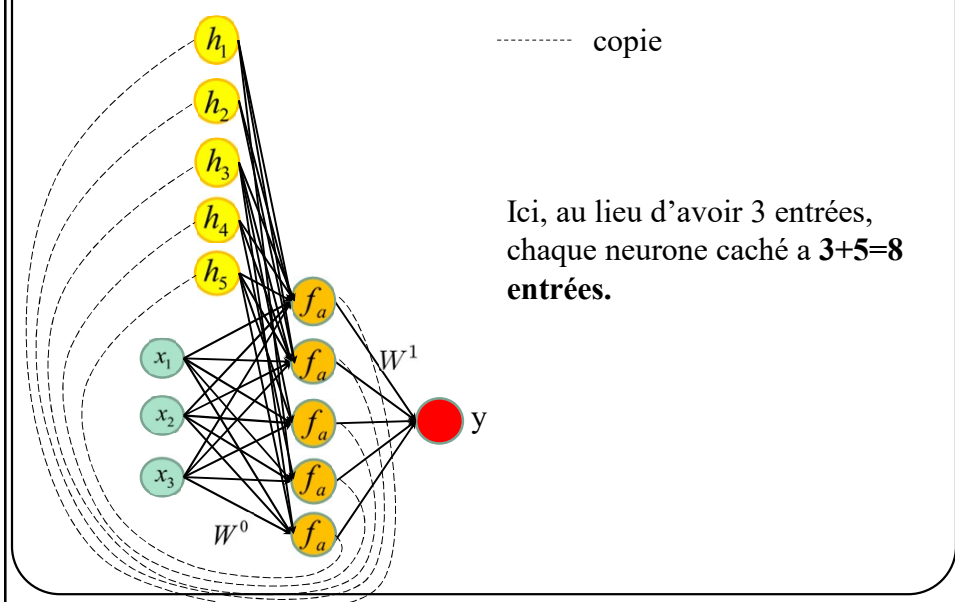
203

Réseau récurrent : la sortie des neurones est réinjectée dans leur entrée



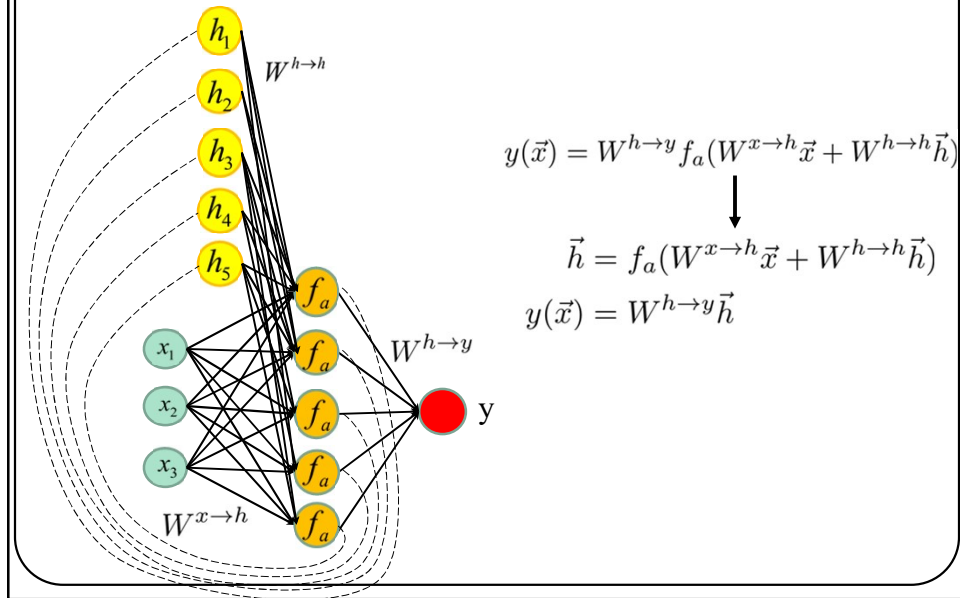
204

Réseau récurrent : la sortie des neurones est réinjectée dans leur entrée



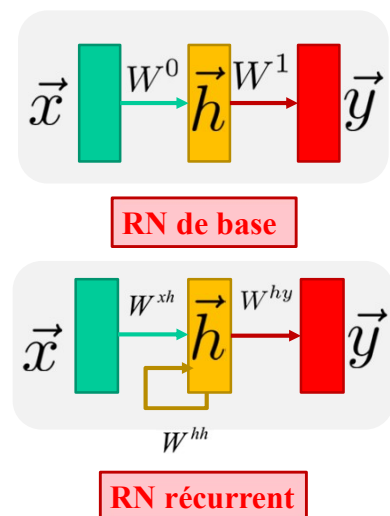
205

Réseau récurrent : la sortie des neurones est réinjectée dans leur entrée



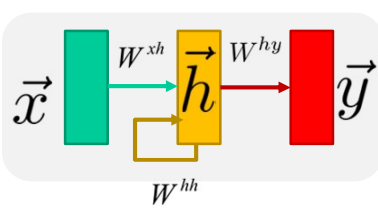
206

Illustration simplifiée



207

Dans le cas général avec K sorties (régression)



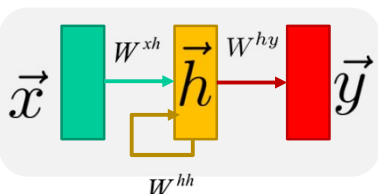
$$y(\vec{x}) = W^{hy} f_a(W^{xh} \vec{x} + W^{hh} \vec{h})$$

$$\vec{h} = f_a(W^{xh} \vec{x} + W^{hh} \vec{h})$$

$$\vec{y}(\vec{x}) = W^{hy} \vec{h}$$

208

Dans le cas général avec K sorties (classification)



$$y(\vec{x}) = W^{hy} f_a(W^{xh} \vec{x} + W^{hh} \vec{h})$$

$$\vec{h} = f_a(W^{xh} \vec{x} + W^{hh} \vec{h})$$

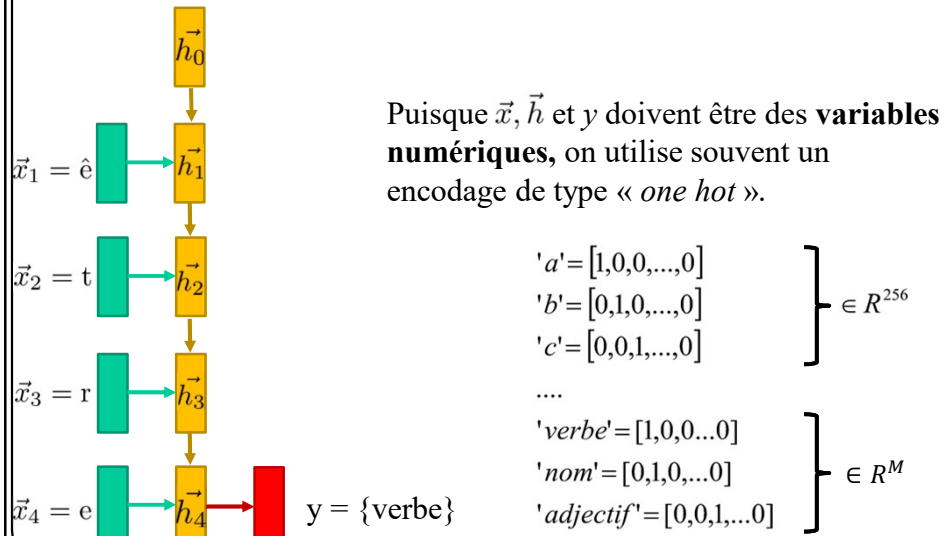
$$\hat{y} = W^{hy} \vec{h}$$

$$\vec{y}(\vec{x}) = \text{softmax}(\hat{y})$$

209

Exemple pour N entrées et 1 sortie:

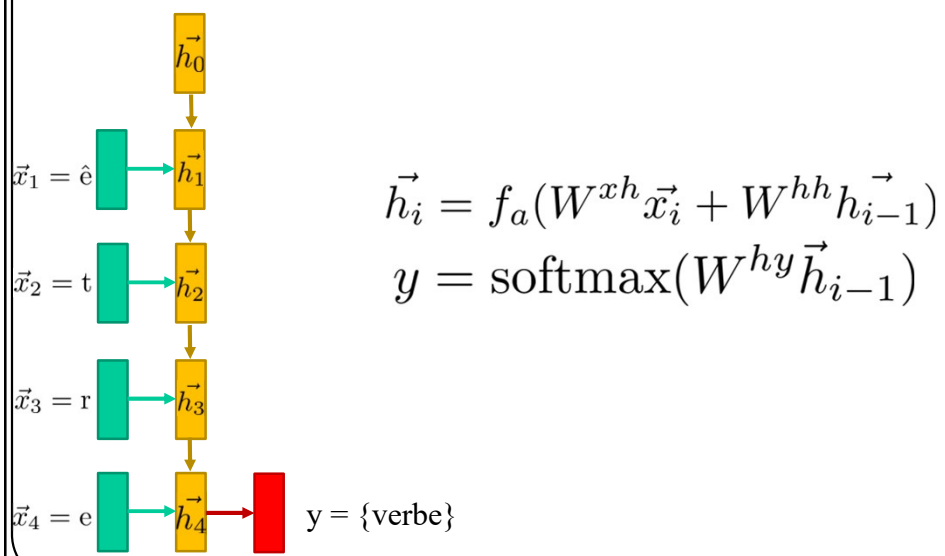
Analyse grammaticale (classification) : (\hat{e}, t, r, e) $\Rightarrow \{\text{verbe}\}$



210

Exemple pour N entrées et 1 sortie:

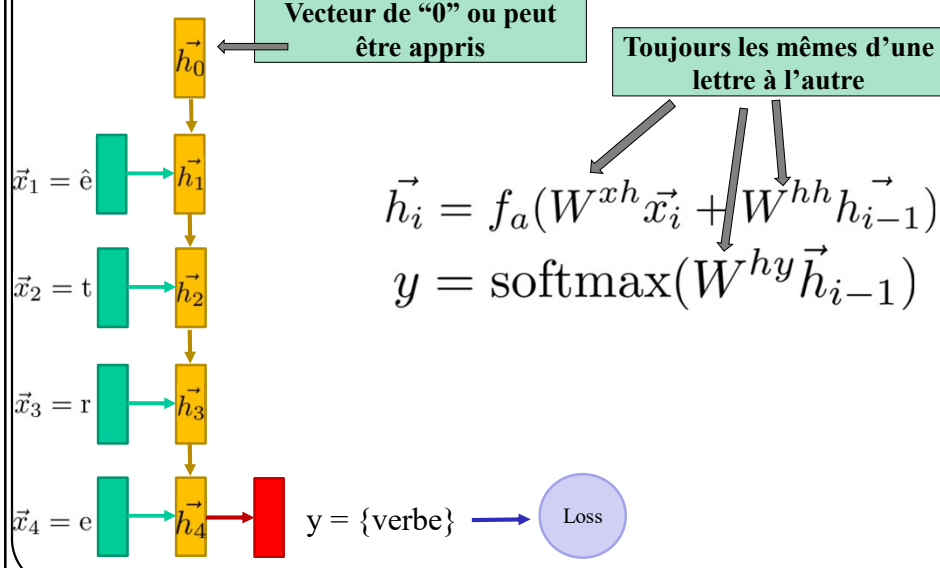
Analyse grammaticale (classification) : (\hat{e}, t, r, e) $\Rightarrow \{\text{verbe}\}$



211

Exemple pour N entrées et 1 sortie:

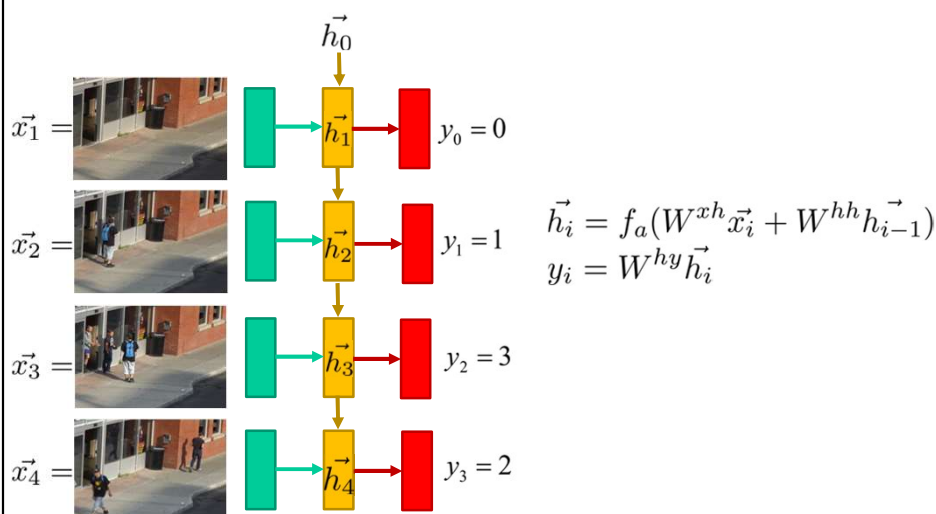
Analyse grammaticale (classification) : (é.t.r.e) $\Rightarrow \{\text{verbe}\}$



212

Même idée pour N entrées et N sorties:

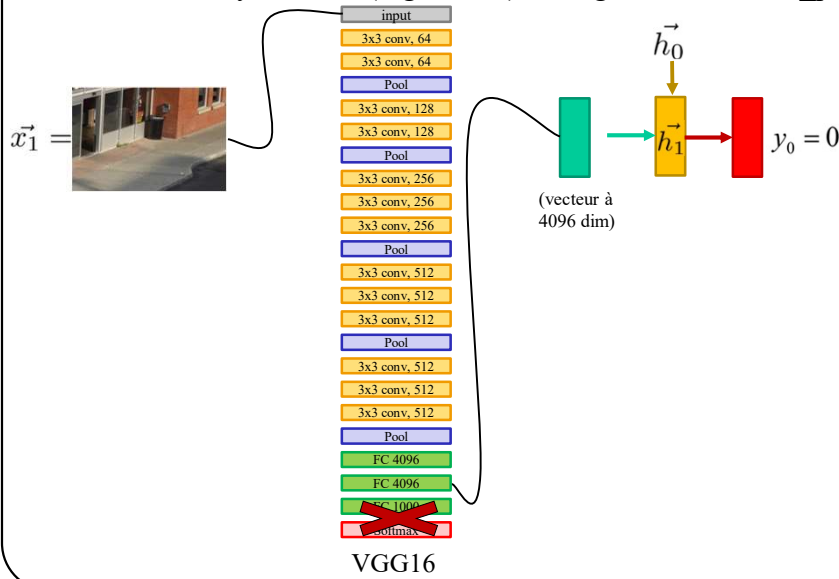
ex.: Analyse vidéo (régression) : Images vidéo \Rightarrow nb_piétons



213

Même idée pour N entrées et N sorties:

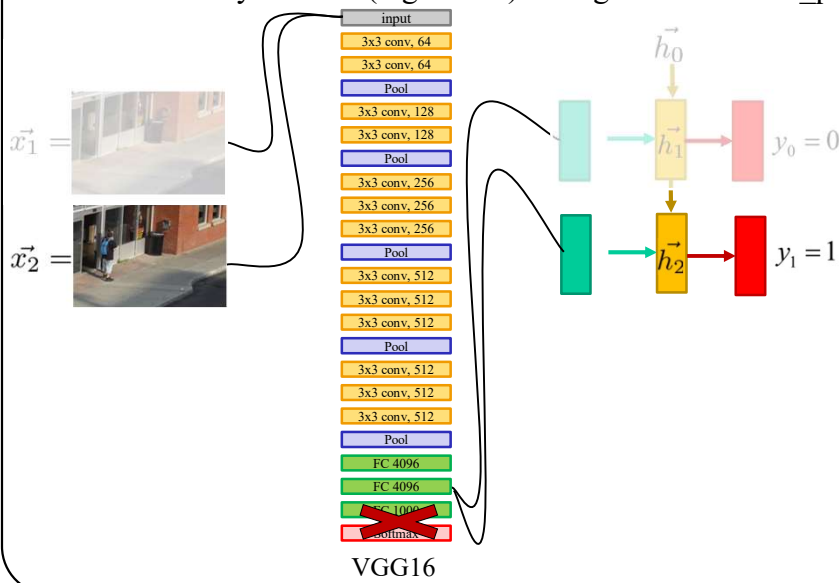
ex.: Analyse vidéo (régression) : Images vidéo => nb_piétons



214

Même idée pour N entrées et N sorties:

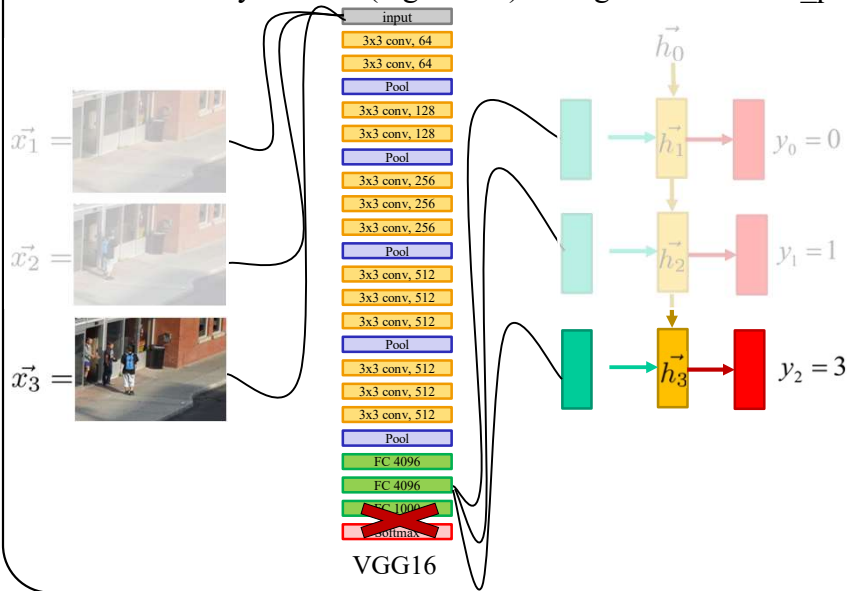
ex.: Analyse vidéo (régression) : Images vidéo => nb_piétons



215

Même idée pour N entrées et N sorties:

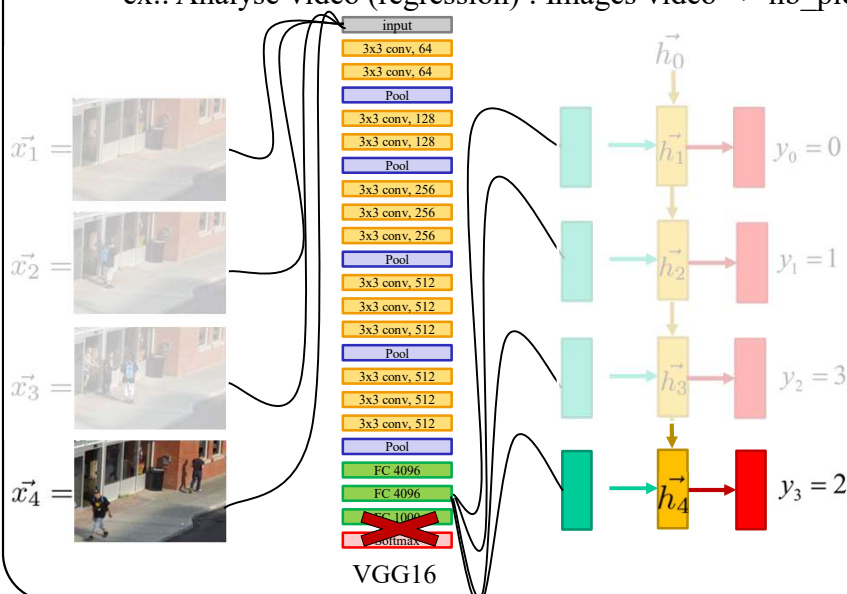
ex.: Analyse vidéo (régression) : Images vidéo => nb_piétons



216

Même idée pour N entrées et N sorties:

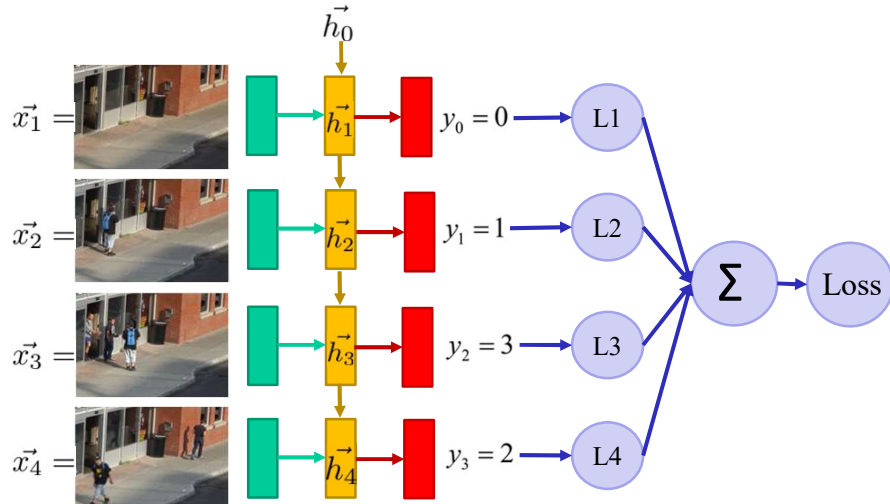
ex.: Analyse vidéo (régression) : Images vidéo => nb_piétons



217

Même idée pour N entrées et N sorties:

ex.: Analyse vidéo (régression) : Images vidéo => nb_piétons



218

Autre exemple: **prédition de caractères** (modèle de langue)

Alphabet jouet :[a,e,m,s]

Représentation « one hot » jouet:

$$'a' = [1, 0, 0, 0]$$

$$'e' = [0, 1, 0, 0]$$

$$'m' = [0, 0, 1, 0]$$

$$'s' = [0, 0, 0, 1]$$

But : Entrainer un modèle à prédire les lettres du mot « **masse** ».

219

Autre exemple: prédition de caractères (modèle de langue)

Alphabet : [a,e,m,s]

Entraîner un modèle à prédire les lettres du mot « **masse** ».

$$\vec{x}_1 = m \quad \begin{bmatrix} 0 \\ 0 \\ 1 \\ 0 \end{bmatrix} \quad \rightarrow$$

220

Autre exemple: prédition de caractères (modèle de langue)

Alphabet : [a,e,m,s]

Entraîner un modèle à prédire les lettres du mot « **masse** ».

$$\vec{x}_1 = m \quad \begin{bmatrix} 0 \\ 0 \\ 1 \\ 0 \end{bmatrix} \quad \begin{array}{c} W^{xh} \\ \downarrow \\ W^{hh} \end{array} \quad \begin{bmatrix} -0.3 \\ -0.1 \\ 0.9 \end{bmatrix}$$

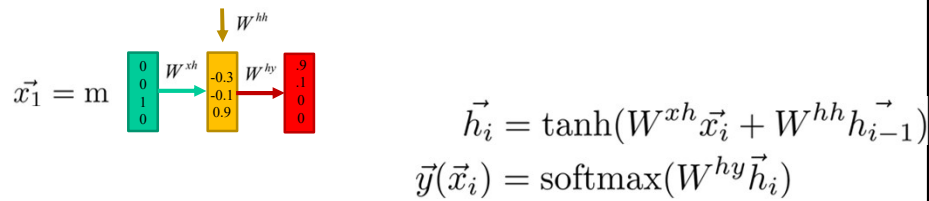
$$\vec{h}_i = \tanh(W^{xh}\vec{x}_i + W^{hh}\vec{h}_{i-1})$$

221

Autre exemple: prédition de caractères (modèle de langue)

Alphabet : [a,e,m,s]

Entraîner un modèle à prédire les lettres du mot « **masse** ».

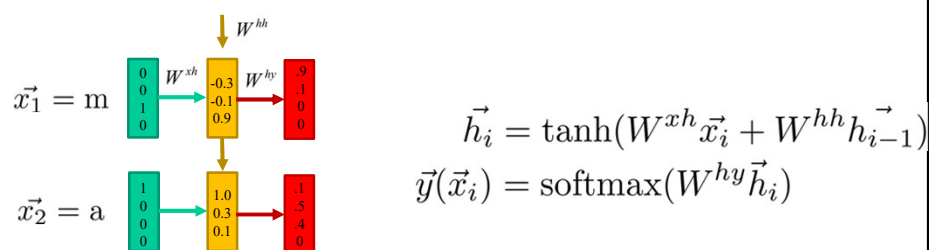


222

Autre exemple: prédition de caractères (modèle de langue)

Alphabet : [a,e,m,s]

Entraîner un modèle à prédire les lettres du mot « **masse** ».

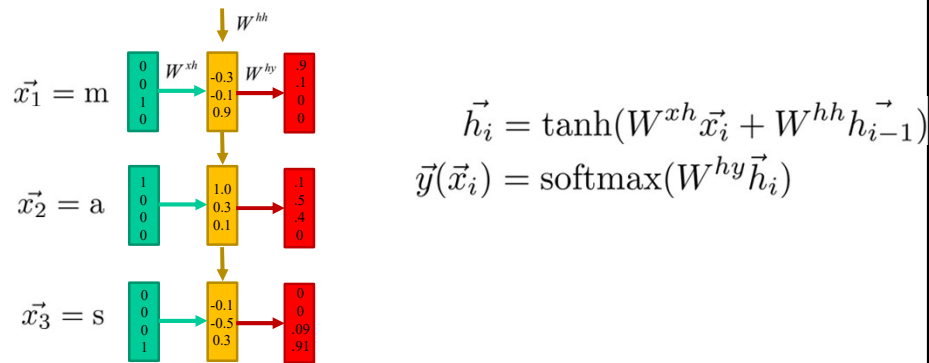


223

Autre exemple: prédition de caractères (modèle de langue)

Alphabet : [a,e,m,s]

Entraîner un modèle à prédire les lettres du mot « **masse** ».

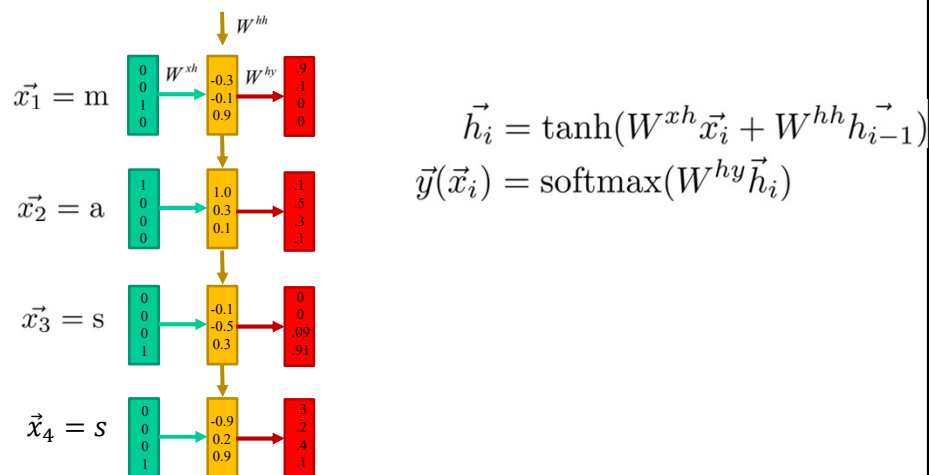


224

Autre exemple: prédition de caractères (modèle de langue)

Alphabet : [a,e,m,s]

Entraîner un modèle à prédire les lettres du mot « **masse** ».

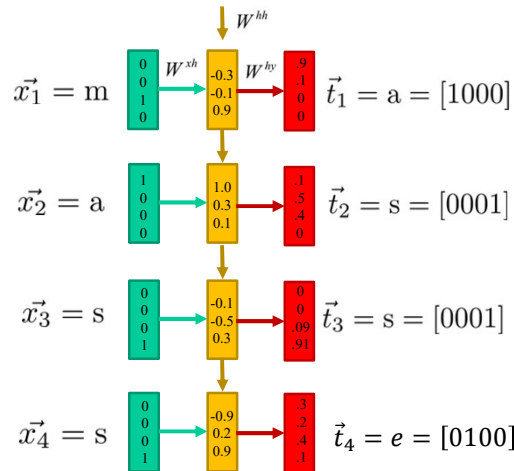


225

Autre exemple: prédition de caractères (modèle de langue)

Alphabet : [a,e,m,s]

Entraîner un modèle à prédire les lettres du mot « **masse** ».

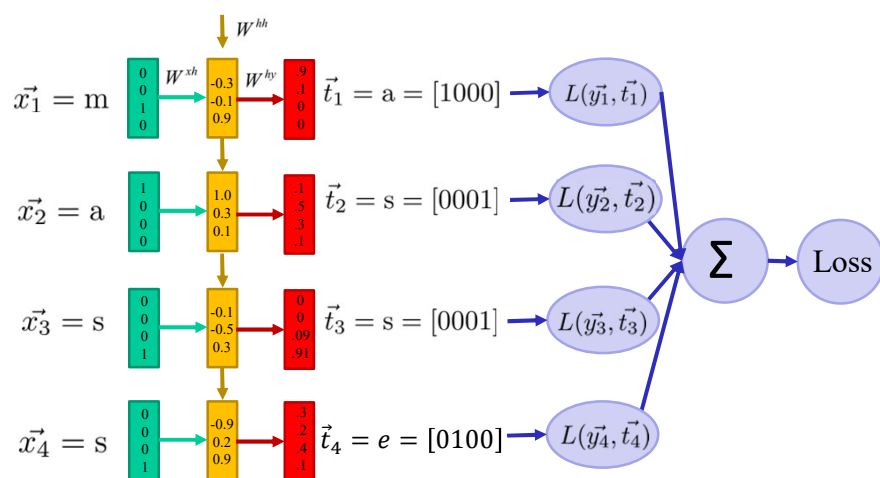


226

Autre exemple: prédition de caractères (modèle de langue)

Alphabet : [a,e,m,s]

Entraîner un modèle à prédire les lettres du mot « **masse** ».

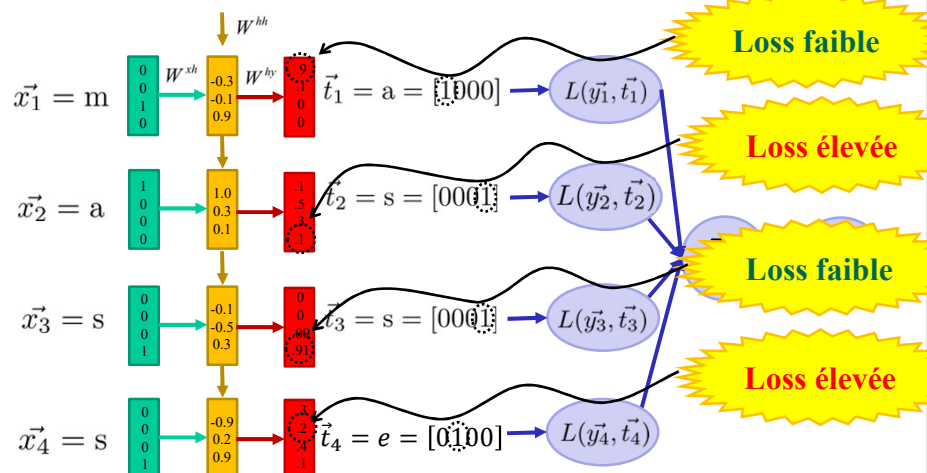


227

Autre exemple: prédition de caractères (modèle de langue)

Alphabet : [a,e,m,s]

Entraîner un modèle à prédire les lettres du mot « **masse** ».

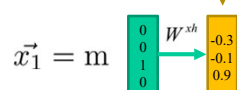


228

Autre exemple: prédition de caractères (modèle de langue)

Alphabet : [a,e,m,s]

En test : prédire les lettres les unes après les autres



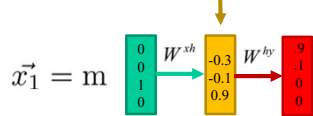
Étape 1 : Calcul de la couche cachée

229

Autre exemple: prédition de caractères (modèle de langue)

Alphabet : [a,e,m,s]

En test : prédire les lettres les unes après les autres



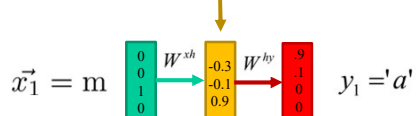
Étape 2 : Calcul de la sortie (softmax)

230

Autre exemple: prédition de caractères (modèle de langue)

Alphabet : [a,e,m,s]

En test : prédire les lettres les unes après les autres



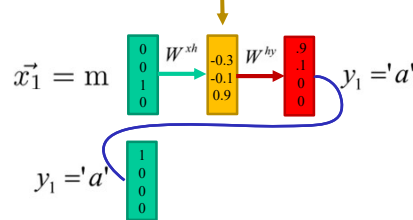
Étape 3 : Sélectionner le caractère le plus probable

231

Autre exemple: prédition de caractères (modèle de langue)

Alphabet : [a,e,m,s]

En test : prédire les lettres les unes après les autres



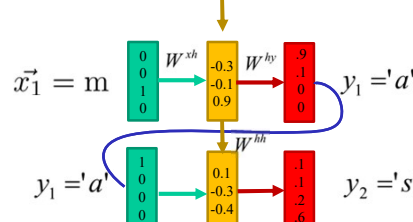
Étape 4 : Injecter le caractère prédit au début du réseau

232

Autre exemple: prédition de caractères (modèle de langue)

Alphabet : [a,e,m,s]

En test : prédire les lettres les unes après les autres



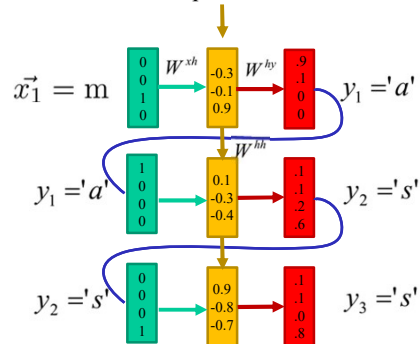
Et on recommence!

233

Autre exemple: prédition de caractères (modèle de langue)

Alphabet : [a,e,m,s]

En test : prédire les lettres les unes après les autres

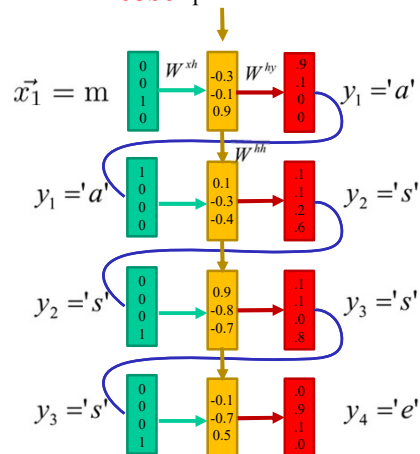


234

Autre exemple: prédition de caractères (modèle de langue)

Alphabet : [a,e,m,s]

En test : prédire les lettres les unes après les autres



235

Autre exemple: **prédition de caractères** (modèle de langue)

Code python: “mini-char-RNN” de A. Karpathy

Un RNN en 112 lignes !

```
Minimal character-level language model with a Vanilla Recurrent Neural Network in Python/tensorflow

# Min-char-RNN.py
#
# Minimal character-level Vanilla RNN model. Written by Andrej Karpathy (@karpathy)
# BSD License
#
# Import numpy as np

# data I/O
data = open('input.txt', 'r').read() # should be simple plain text file
chars = list(data)
data_size, vocab_size = len(data), len(chars)
print "data has %d characters, %d unique: %s" % (data_size, vocab_size)
char_to_ix = {c:i for i,c in enumerate(chars)}
ix_to_char = {i:c for c,i in enumerate(chars)}

# hyperparameters
hidden_size = 100 # size of hidden layer of neurons
seq_length = 25 # number of steps to unroll the RNN for
learning_rate = 1e-1

# model parameters
Wih = np.random.randn(hidden_size, vocab_size)*0.01 # input to hidden
Whh = np.random.randn(hidden_size, hidden_size)*0.01 # hidden to hidden
Why = np.random.randn(vocab_size, hidden_size)*0.01 # hidden to output
biases = np.zeros((hidden_size, 1)) # hidden bias
by = np.zeros((vocab_size, 1)) # output bias

# forward pass
def lossfun(inputs, targets, hprev):
    """ inputs,targets are both list of integers.
        hprev is the hidden state of previous time-step
        returns the loss, gradients on model parameters, and last hidden state """
    x, hs, ys, ps = [], [], [], []
    hprev = np.copy(hprev)
    for i in range(len(inputs)):
        x.append(np.zeros(vocab_size))
        x[i][inputs[i]] = 1
        hprev = np.tanh(np.dot(Wih, x[i]) + np.dot(Whh, hprev) + Why + biases)
        y = np.exp(hprev)
        ps.append(y)
        y = y.reshape(vocab_size, 1)
        ys.append(np.argmax(y))
        loss += -np.log(y[targets[i], 0])
    return loss, np.array(ps), np.array(ys), hprev

# backward pass
def backprop(ps, targets, inputs, hprev):
    """ ps, targets, inputs are all list of integers
        hprev is the hidden state of previous time-step
        returns the loss, gradients on model parameters, and last hidden state """
    x, hs, ys, ps = [], [], [], []
    x[0] = np.zeros(vocab_size)
    x[0][inputs[0]] = 1
    hprev = np.copy(hprev)
    for i in range(len(inputs)):
        x.append(np.zeros(vocab_size))
        x[i][inputs[i]] = 1
        hprev = np.tanh(np.dot(Wih, x[i]) + np.dot(Whh, hprev) + Why + biases)
        y = np.exp(hprev)
        ps.append(y)
        y = y.reshape(vocab_size, 1)
        ys.append(np.argmax(y))
        loss += -np.log(y[targets[i], 0])
    return loss, np.array(ps), np.array(ys), hprev
```

$$\begin{matrix} 'a' = [1, 0, 0, \dots, 0] \\ 'b' = [0, 1, 0, \dots, 0] \\ 'c' = [0, 0, 1, \dots, 0] \end{matrix} \quad \left. \right\} \in R^{256}$$

• • •

236

Autre exemple: **prédition de caractères** (modèle de langue)

Code python: “mini-char-RNN” de A. Karpathy

<https://gist.github.com/karpathy/d4dee566867f8291f086>

THE SONNETS

by William Shakespeare

From fairest creatures we desire increase,
That thereby beauty's rose might never die,
But as the riper should by time decrease,
His tender heir might bear his memory:
But thou, contracted to thine own bright eyes,
Feed'st thy light flame with self-substantial fuel
Making a famine where abundance lies,
Thyself thy foe, to thy sweet self too cruel:
That thou art envious of the fresh ornament,
And only herald to the gaudy spring,
Within this zone bold burlesk thy content,
And tamer churl mak'st waste in ingardinage;
Pity the world, or else this gluton be,
To eat the world's fills, but thyself and these

When forty winters shall besliege thy brow,
And dig deep trenches in thy beauty's field,
Thy youth's proud livery so gazed on now
Will be a mere wraith of all thy beauty held:
Then being asked what all thy beauty lies,
Were all the treasure of thy beauty days:
To say, within thine claim deep sunken eyes,
Worn by all-earthing shame, and thimbles' grace,
How much a mere prouer deserve thy beauty's use;
If thou couldst answer? This fair child of mine
Shall sum my count, and make my old excuse.
Proving his beauty by succession time!

This were to be new made when thou art old,
And see the blood warm when thou fadest cold.

237

Autre exemple: prédition de caractères (modèle de langue)

tyntd-iafhatawiaoahrdemot lytdws e ,tfti, astai f ogoh eoase rrranbyne 'nhthnee e
plia tkldg t o idoe ns,smtt h ne etie h,hregtrs nigtike,aoaenns lng

↓ train more

"Tmont thithey" fomesscerliund
Keushey. Thom here
sheulke, anmerenith ol sivh I lalterthend Bleipile shuwyl fil on aseterlome
coaniogennc Phe lism thond hon at. MeiDimorotion in ther thize."

↓ train more

Aftair fall unsuch that the hall for Prince Velzonski's that me of
her hearly, and behs to so arwage fiving were to it beloge, pavu say falling misfort
how, and Gogition is so overelical and ofter.

↓ train more

"Why do what that day," replied Natasha, and wishing to himself the fact the
princess, Princess Mary was easier, fed in had oftened him.
Pierre aking his soul came to the packs and drove up his father-in-law women.

Crédit: A. Karpathy, CS231

238

Texte généré une fois le modèle entraîné

PANDARUS:
Alas, I think he shall be come approached and the day
When little strain would be attain'd into being never fed,
And who is but a chain and subjects of his death,
I should not sleep.

Second Senator:
They are away this miseries, produced upon my soul,
Breaking and strongly should be buried, when I perish
The earth and thoughts of many states.

DUKE VINCENTIO:
Well, your wit is in the care of side and that.

Second Lord:
They would be ruled after this chamber, and
my fair nues begun out of the fact, to be conveyed,
Whose noble souls I'll have the heart of the wars.

Clown:
Come, sir, I will make did behold your worship.

VIOLA:
I'll drink it.

VIOLA:
Why, Salisbury must find his flesh and thought
That which I am not ape, not a man and in fire,
To show the reining of the raven and the wars
To grace my hand reproach within, and not a fair are hand,
That Caesar and my goodly father's world;
When I was heaven of presence and our fleets,
We spare with hours, but cut thy council I am great,
Murdered and by thy master's ready there
My power to give thee but so much as hell;
Some service in the noble bondman here,
Would show him to her wine.

KING LEAR:
O, if you were a feeble sight, the courtesy of your law,
Your sight and several breath, will wear the gods
With his heads, and my hands are wonder'd at the deeds,
So drop upon your lordship's head, and your opinion
Shall be against your honour.

Crédit: A. Karpathy, CS231

239

Entraînement sur le code source de Linux en C++

```

static void do_command(struct seq_file *m, void *v)
{
    int column = 32 << (cmd[2] & 0x80);
    if (state)
        cmd = (int)(int_state ^ (in_8(&ch->ch_flags) & Cmd) ? 2 : 1);
    else
        seq = 1;
    for (i = 0; i < 16; i++) {
        if (k & (1 << i))
            pipe = (in_use & UNXTHREAD_UNCCA) +
                ((count & 0x0000000fffff8) & 0x000000f) << 8;
        if (count == 0)
            subpid, ppc_md.kexec_handle, 0x20000000;
        pipe_set_bytes(i, 0);
    }
    /* Free our user pages pointer to place camera if all dash */
    subsystem_info = kof_changes[PAGE_SIZE];
    rek_controls(offset, idx, &offset);
    /* Now we want to deliberately put it to device */
    control_check_polarity(&context, val, 0);
    for (i = 0; i < COUNTER; i++)
        seq_puts(s, "policy ");
}

```

```

#include <asm/io.h>
#include <asm/prom.h>
#include <asm/e20.h>
#include <asm/system_info.h>
#include <asm/seew.h>
#include <asm/pgproto.h>

#define REQ_PQ     vesa_slot_addr_pack
#define PPN_NOCOMP AFBR(0, load)
#define STACK_DBR(type)          (func)

#define SWAP_ALLOCATE(nr)      (0)
#define emulite_size() arch_get_unaligned_child()
#define access_rw(rw)  __asm volatile("movd %esp, %0" : "+r" (0)) \
    if (__type & DQ_READ)

static void stat_pc_sec __read_mostly offset(struct seq_argqueue,
p>[1]));

```

```

static void os_prefix(unsigned long sys)
{
    #ifndef CONFIG_PREEMPT
    PUT_PARAM_RAID(2, sel) = get_state_state();
    set_pld_sum((unsigned long)state, current_state_str(),
    (unsigned long)->lr_full; low;
}

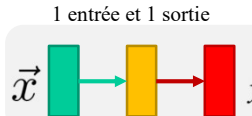
```

Crédit: A. Karpathy, CS231

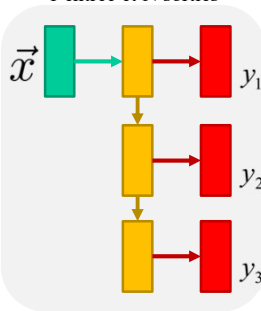
240

Différentes configurations pour différentes applications

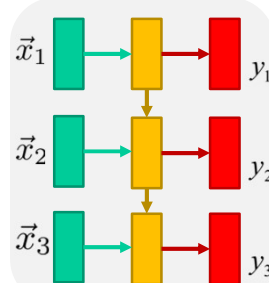
1 entrée et N sorties



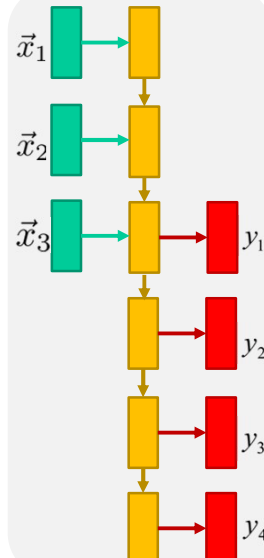
1 entrée et N sorties



N entrées et N sorties

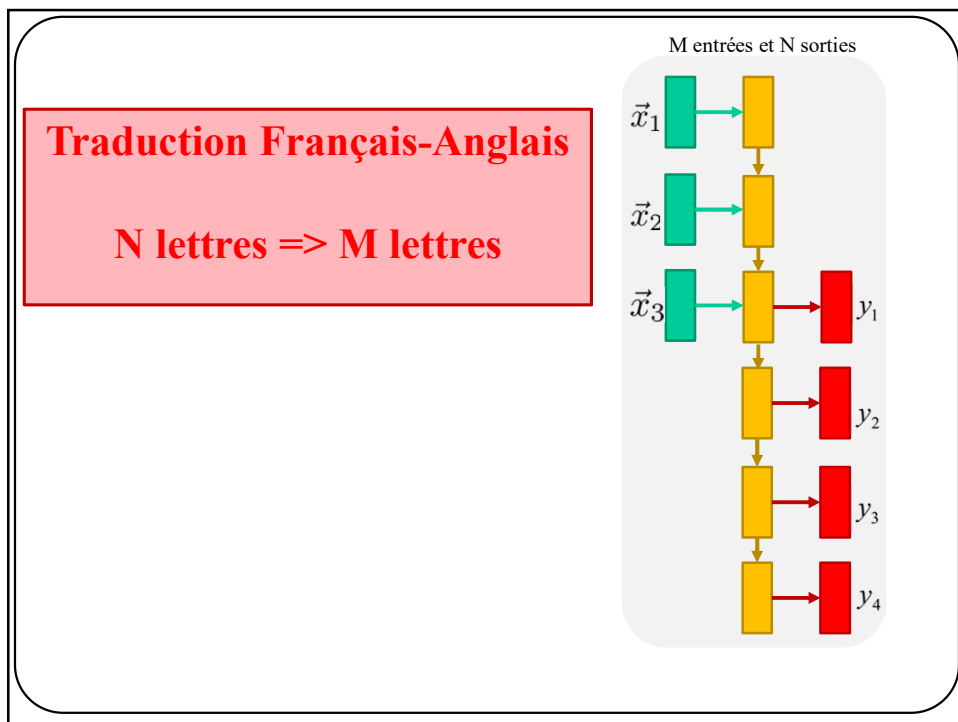


M entrées et N sorties



241

120



242

Autre exemple: traduction

Sutskever, I., Vinyals, O., & Le, Q. V. (2014). Sequence to sequence learning with neural networks. *Advances in neural information processing systems*, 27.

Traduire 'assez' -> 'enough'

Alphabet fr :[<BoS>,a,e,s,z,<EoS>]

Alphabet en: [<BoS>,e,g,h,n,o,u,<EoS>]

Pas le même nombre d'entrées que de sorties !

(BoS : Beginning of Sentence,
EoS:End of Sentence).

243

Autre exemple: traduction

Sutskever, I., Vinyals, O., & Le, Q. V. (2014). Sequence to sequence learning with neural networks. *Advances in neural information processing systems*, 27.

Traduire ‘assez’ -> ‘enough’

Alphabet fr :[<BoS>,a,e,s,z,<EoS>]

Alphabet en: [<BoS>,e,g,h,n,o,u,<EoS>]



244

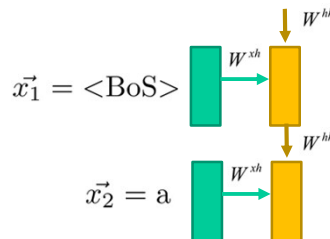
Autre exemple: traduction

Sutskever, I., Vinyals, O., & Le, Q. V. (2014). Sequence to sequence learning with neural networks. *Advances in neural information processing systems*, 27.

Traduire ‘assez’ -> ‘enough’

Alphabet fr :[<BoS>,a,e,s,z,<EoS>]

Alphabet en: [<BoS>,e,g,h,n,o,u,<EoS>]



245

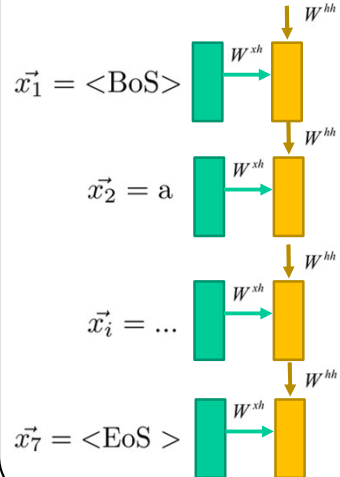
Autre exemple: traduction

Sutskever, I., Vinyals, O., & Le, Q. V. (2014). Sequence to sequence learning with neural networks. *Advances in neural information processing systems*, 27.

Traduire ‘assez’ -> ‘enough’

Alphabet fr :[<BoS>,a,e,s,z,<EoS>]

Alphabet en: [<BoS>,e,g,h,n,o,u,<EoS>]



246

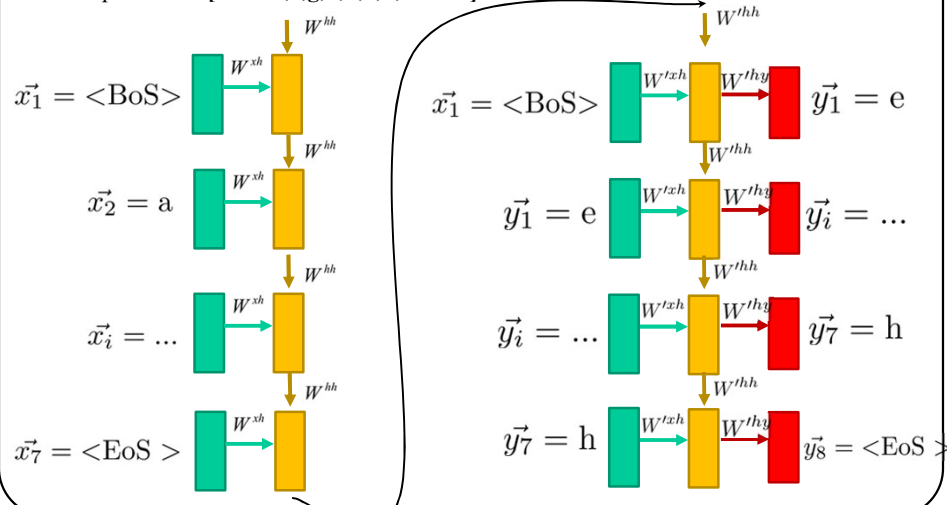
Autre exemple: traduction

Sutskever, I., Vinyals, O., & Le, Q. V. (2014). Sequence to sequence learning with neural networks. *Advances in neural information processing systems*, 27.

Traduire ‘assez’ -> ‘enough’

Alphabet fr :[<BoS>,a,e,s,z,<EoS>]

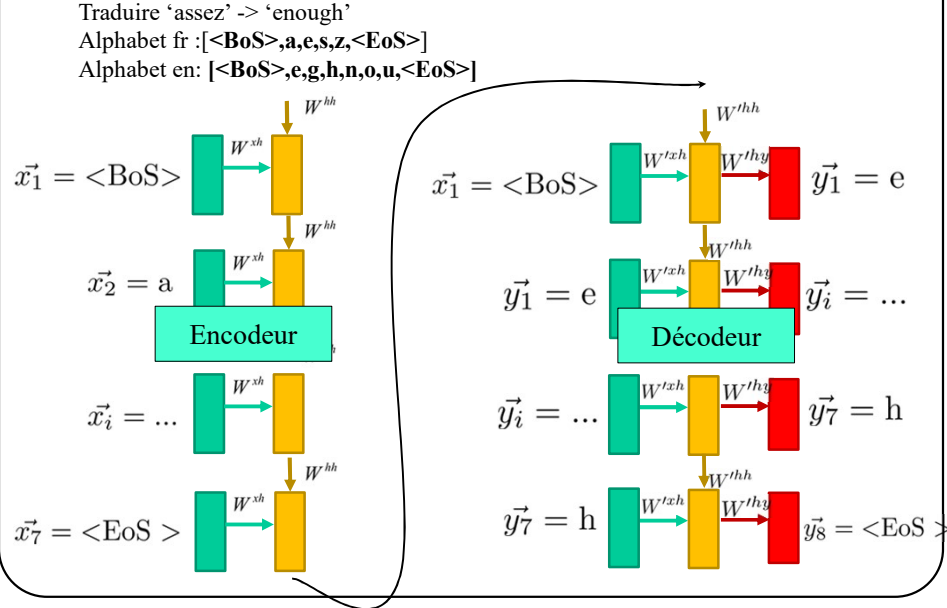
Alphabet en: [<BoS>,e,g,h,n,o,u,<EoS>]



247

Autre exemple: traduction

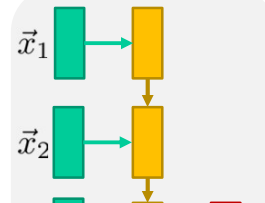
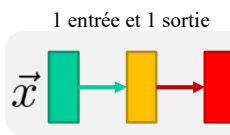
Sutskever, I., Vinyals, O., & Le, Q. V. (2014). Sequence to sequence learning with neural networks. *Advances in neural information processing systems*, 27.



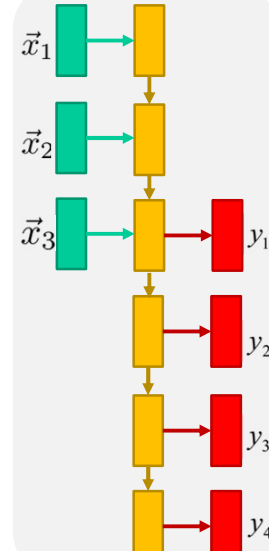
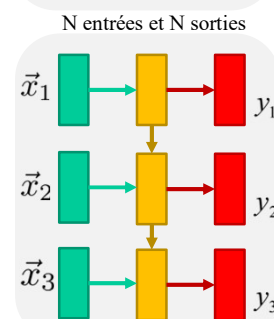
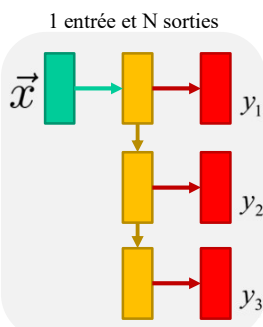
248

Différentes configurations pour différentes applications

N entrées et 1 sortie



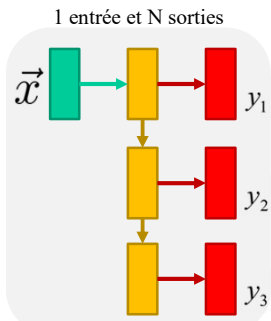
M entrées et N sorties



249

Différentes configurations pour différentes applications

Description du contenu d'une image (``captioning``)

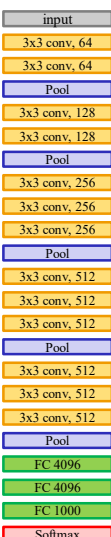


250

Captioning



Réseau VGG
pré-entraîné sur *ImageNet*

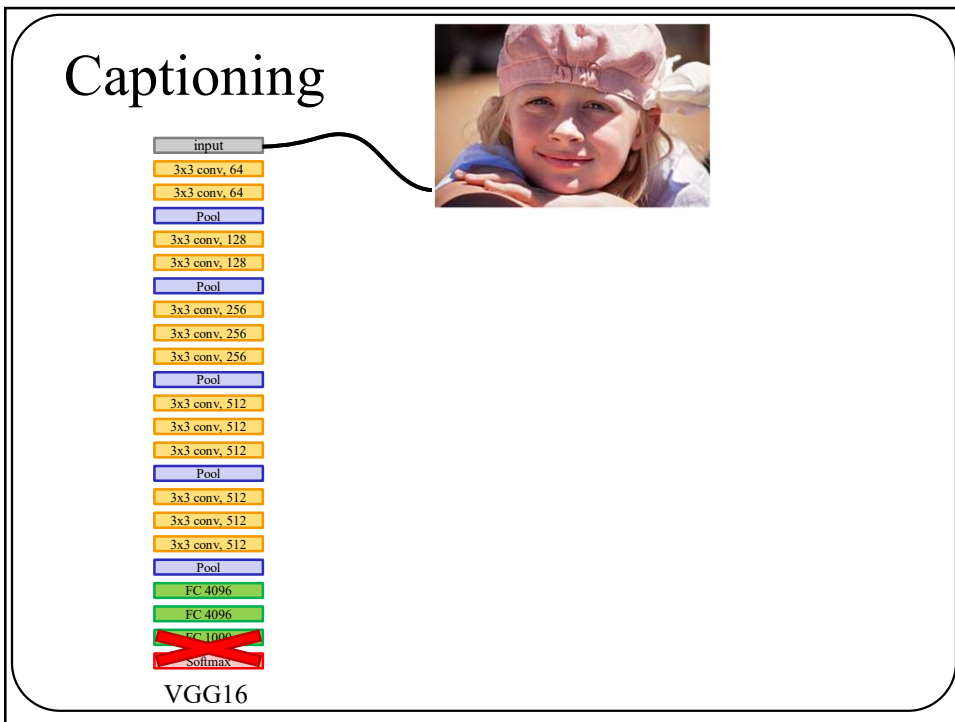


VGG16

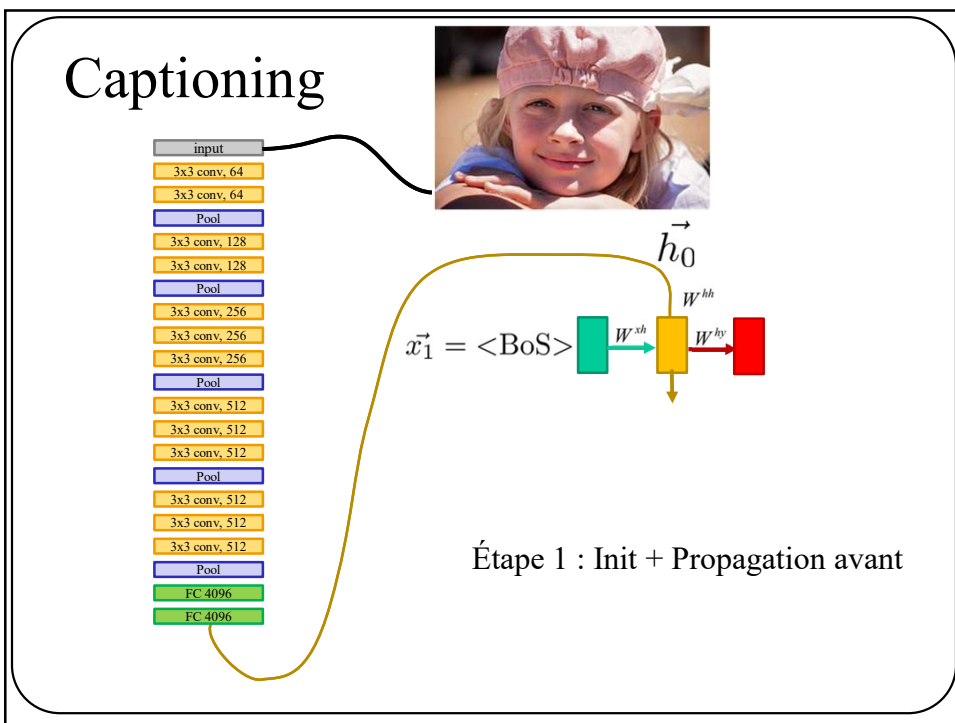
251

251

125

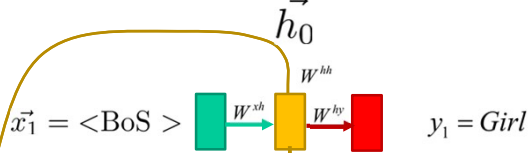
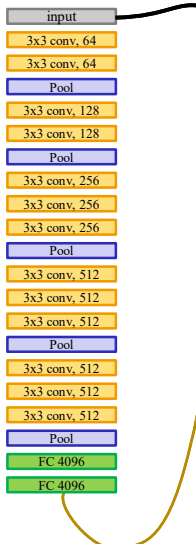


252



253

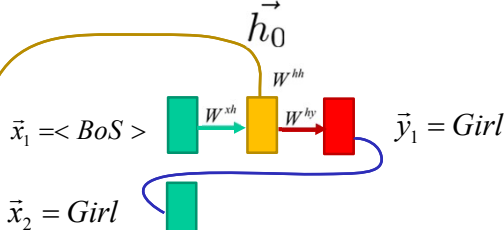
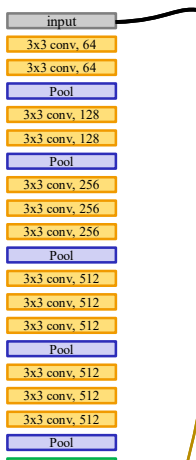
Captioning



Étape 2 : Échantillonage

254

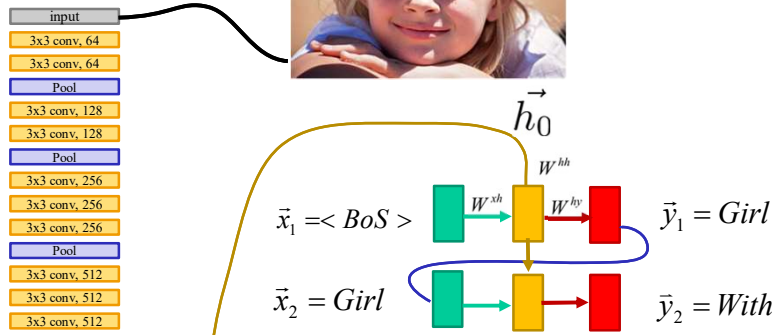
Captioning



Étape 3 : Copie la sortie vers l'entrée

255

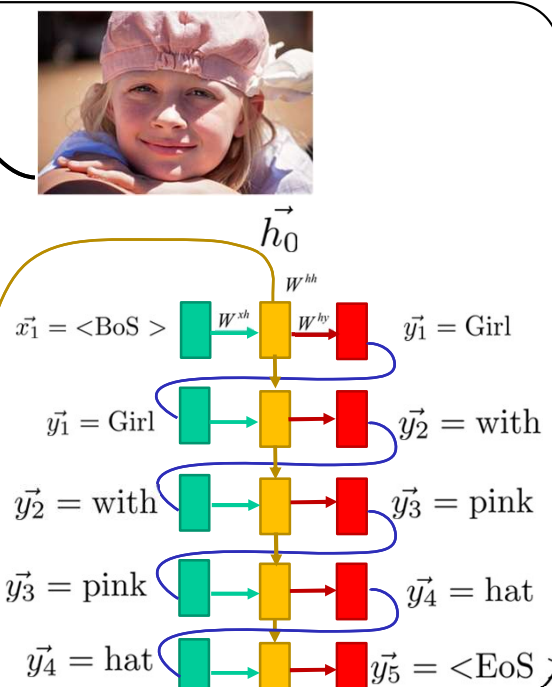
Captioning



Étape 4 : On recommence!

256

Captioning



257

128

Exemples de résultats

<https://github.com/karpathy/neuraltalk2>



a elephant standing in a grassy field with trees in the background



a man riding a wave on top of a surfboard



a street sign on a pole in front of a building



a group of people playing a game with nintendo wii controllers



a couple of zebra standing on top of a dirt field

258

258

Exemples d'erreurs <https://github.com/karpathy/neuraltalk2>



a man is throwing a frisbee in a park



a man riding a skateboard down a street



a laptop computer sitting on top of a wooden desk



A woman is holding a cat in her hand



A woman standing on a beach holding a surfboard

259

259

129